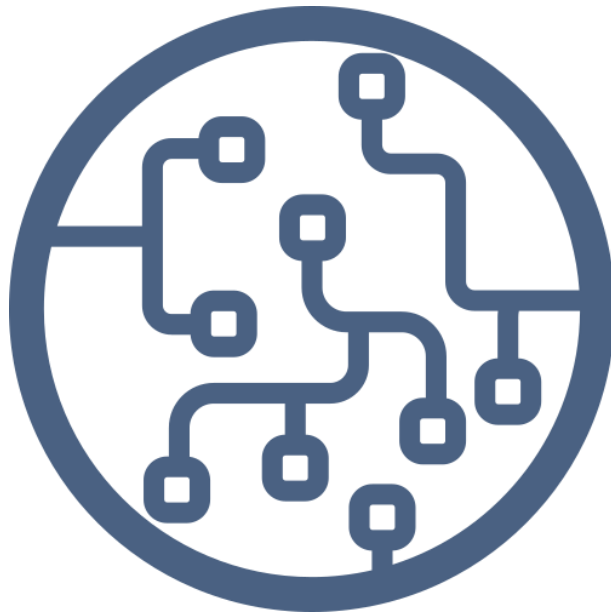


MÁSTER UNIVERSITARIO EN INGENIERÍA DE CONTROL,
AUTOMATIZACIÓN Y ROBÓTICA

TRABAJO FIN DE MASTER

DISEÑO Y SIMULACIÓN INTELIGENTES DE SISTEMAS FLUIDODINÁMICOS EN ESTADO NO ESTACIONARIO MEDIANTE DEEP LEARNING



Estudiante: Abucide Armas, Álvaro

Director/Directora: Zulueta Guerrero, Ekaitz

Curso: 2022/2023

Fecha: Bilbao, 10 de julio de 2023

Resumen

La dinámica de fluidos computacional (CFD, del inglés *Computational Fluid Dynamics*) aplicada a flujos turbulentos ha sido objeto de estudio durante los últimos años. Sin embargo, mediante las simulaciones CFD los costes computacionales se elevan considerablemente, siendo inviable el uso de estas técnicas para la resolución de ciertos problemas. Actualmente, se están desarrollando múltiples técnicas de *Deep Learning* (DL) aplicadas a los problemas de CFD. Una de las principales aplicaciones del DL al CFD es el empleo de redes neuronales convolucionales (CNN, del inglés *Convolutional Neural Networks*) para predecir los valores de las magnitudes fluido dinámicas deseadas alrededor de una geometría determinada. En este caso, se ha desarrollado una CNN que predice los campos de velocidades paralela al flujo y vertical y de presión. Se toman dos enfoques: la predicción de los instantes futuros partiendo de uno inicial y la predicción del instante inicial. La CNN adquiere como entradas las características geométricas de la forma analizada y el instante anterior, en el caso del enfoque temporal, siendo las salidas de la red los campos de ambas velocidades y de la presión, obtenidos mediante simulaciones CFD.

Abstract

The application of computational fluid dynamics (CFD) to turbulent flow has lately been a considerable topic of research. Nonetheless, the use of CFD tools results in large computational costs, which implies that, for some applications, CFD may be inviable. Several authors have conducted research applying deep learning (DL) techniques to CFD-based simulations to date. One of the main applications of DL with CFD is the use of convolutional neural networks (CNN) to predict the values of the desired fluid-dynamic magnitudes around a concrete geometry. In this case, a CNN which predicts the streamwise and vertical velocities and pressure fields has been developed. Two approaches are considered: the prediction of the future instants on the basis of an initial sample and the prediction of the initial sample. The CNN takes as inputs the geometric features of the analyzed form and the previous instant, in the case of the temporal approach, being the outputs of the net the coupled velocities and the pressure, obtained by CFD simulations.

Laburpena

Fluxu zurrumbilotsuei aplikatutako fluido konputazionalen dinamika (CFD, ingelese-
tik *Computational Fluid Dynamics*) aztertu da azken urteetan. CFD simulazioen bidez,
ordea, kostu konputazionalak nabarmen igotzen dira, eta bidera ezina da teknika
horiek erabiltzea zenbait problema ebazteko. Gaur egun, *Deep Learning* (DL) teknika
ugari garatzen ari dira, CFDren arazoei aplikatuta. DLk CFDn duen aplikazio nagu-
sietako bat sare neuronal konboluzionalak (CNN, ingelese-*Convolutional Neural
Networks*) erabiltzea da, geometria jakin baten inguruan nahi diren magnitude fluido
dinamikoaren balioak iragartzeko. Kasu honetan, CNN bat garatu da fluxuarekiko
paraleloa eta bertikala diren abiadura-eremuak eta presio-eremua iragartzeko. Bi
ikuspegi hartzen dira: hasierako une batetik abiatuz etorkizuneko unean iragarpena
eta hasierako unearen iragarpena. CNNk sarrera gisa hartzen ditu aztertutako forma-
ren ezaugarri geometrikoak, eta aurreko unea denbora-ikuspegiaren kasuan. Sareko
irteerak bi abiaduren eta presioaren eremuak dira, CFD simulazioen bidez lortuak.

Palabras clave:

Deep Learning, dinámica de fluidos computacional, redes neuronales convolucionales, U-Net, flujo turbulento

Índice

Lista de tablas	V
Lista de ilustraciones	VII
Acrónimos	IX
1. Introducción y contexto	1
2. Alcance y objetivos	3
3. Antecedentes bibliográficos o estado del arte	5
3.1. Introducción a la Inteligencia Artificial y el <i>Machine Learning</i>	5
3.1.1. Parámetros e hiper-parámetros	9
3.1.2. Tipos y características de ANN	11
3.2. Dinámica de fluidos Computacional	14
4. Desarrollo de la solución	17
4.1. Geometría circular con velocidad de entrada variable	17
4.1.1. Simulaciones numéricas	17
4.1.2. Red neuronal convolucional	19
4.1.3. Entradas de la red neuronal	22
4.1.4. Parámetros del entrenamiento	24
4.2. Geometrías variables	26
4.2.1. Simulaciones numéricas para geometrías variables	26
4.2.2. Red neuronal convolucional	27
4.2.3. Parámetros del entrenamiento	28
4.2.4. <i>Data augmentation</i>	29
5. Análisis de resultados	33
5.1. Resultados de la red aplicada a una geometría circular con velocidad de entrada variable	33
5.2. Resultados de la red que predice los instantes futuros aplicada a geometrías variables	35
5.3. Resultados de la red que predice la muestra inicial para geometrías variables	45
5.4. Análisis del coste computacional	54

6. Conclusiones y trabajos futuros	57
6.1. Discusión general	57
6.2. Conclusiones específicas	57
6.3. Líneas de trabajo futuras	58
7. Presupuesto y planificación	59
7.1. Presupuesto	59
7.2. Planificación	60
Referencias bibliográficas	61
A. Esquemas y programas fuente	67
A.1. Carga de archivos CSV e interpolación	67
A.2. Generar las matrices de SDF y FRC	69
A.3. <i>Data augmentation</i>	72
A.4. Generar los datos de entrenamiento	77
A.5. CNN	81
A.6. Test de los modelos neuronales y análisis de los resultados	114

Lista de tablas

4.1.	Conjunto de valores seleccionados para la búsqueda de los hiper- parámetros adecuados para la red que predice los instantes futuros para velocidades de entrada al dominio variables.	25
4.2.	Conjunto de valores seleccionados para la búsqueda de los hiper- parámetros adecuados para la red que predice los instantes futuros de los campos con geometrías variables.	29
4.3.	Conjunto de valores seleccionados para la búsqueda de los hiper- parámetros adecuados para la red que predice la muestra inicial.	29
5.1.	Identificador de cada modelo, combinación de los hiper-parámetros utilizados en cada uno de los modelos entrenados y duración de los entrenamientos de cada variable.	34
5.2.	Media aritmética y desviación estándar de las simulaciones CFD y las predicciones de la CNN por cada velocidad de entrada al dominio.	35
5.3.	10 mejores entrenamientos para predicción de los instantes futuros del campo de velocidad paralela al flujo.	36
5.4.	10 mejores entrenamientos para la predicción de los instantes futuros del campo de velocidad vertical.	36
5.5.	10 mejores entrenamientos para predicción de los instantes futuros del campo de presión.	36
5.6.	Media aritmética y desviación estándar de las 50 muestras predichas por la CNN y simuladas mediante CFD.	45
5.7.	10 mejores entrenamientos para la velocidad paralela al flujo.	52
5.8.	10 mejores entrenamientos para la velocidad vertical.	53
5.9.	10 mejores entrenamientos para la presión.	54
5.10.	Media aritmética y desviación estándar de las predicciones de la CNN de la primera muestra y de las simulaciones CFD de la muestra inicial.	54
5.11.	Comparación del tiempo de cálculo de los campos de velocidades para- lela al flujo y vertical y de presión.	56
7.1.	Amortizaciones.	59
7.2.	Presupuesto.	59

Lista de ilustraciones

3.1.	Diagrama que representa una ANN simple, que contiene las capas de entrada, oculta y de salida. Si tuviese varias capas ocultas sería una red de DL.	6
3.2.	Diagrama que muestra que el DL se engloba dentro del ML y, que a su vez, este último, es un subconjunto de IA.	7
3.3.	Organigrama que muestra cómo las diferentes partes de un sistema de IA se relacionan entre ellas en las diferentes disciplinas de la IA. Las cajas en gris muestran los componentes que son capaces de aprender de los datos.	8
3.4.	Diagrama de una neurona con sus respectivas entradas, pesos sinápticos, función de activación y salida.	9
3.5.	Diagramas de las arquitecturas de los principales tipos de redes neuronales: a) MLP, b) CNN, c) RNN y d) GAN.	12
3.6.	Diagrama de una convolución [16].	13
3.7.	Ejemplos de operaciones de pooling.	14
4.1.	Dominio computacional de las simulaciones con velocidad de entrada variable (sin escalar).	18
4.2.	Distribución del mallado alrededor de la geometría circular.	19
4.3.	Arquitectura U-Net.	20
4.4.	Arquitectura detallada de la CNN.	22
4.5.	Diagrama representativo del FRC.	23
4.6.	SDF de un círculo.	24
4.7.	Dominio computacional de las simulaciones con geometrías variables (sin escalar).	26
4.8.	Ejemplo de la distribución del mallado alrededor de una geometría.	27
4.9.	Arquitectura U-Net con 3 decodificadores.	28
4.10.	Arquitectura detallada de la CNN con 3 decodificadores.	28
5.1.	Errores medios de cada modelo neuronal entrenado para cada una de las velocidades de entrada al dominio. a) Velocidad paralela al flujo, b) velocidad vertical y c) presión.	37
5.2.	Errores máximos de cada modelo neuronal entrenado para cada una de las velocidades de entrada al dominio. a) Velocidad paralela al flujo, b) velocidad vertical y c) presión.	38

5.3. Predicciones de la geometría circular con una velocidad de entrada de 5 m/s de las muestras número: a) 1, b) 5, c) 10, d) 15, e) 20, f) 30, g) 40, h) 50.	39
5.4. Predicciones de la geometría circular con una velocidad de entrada de 15 m/s de las muestras número: a) 1, b) 5, c) 10, d) 15, e) 20, f) 30, g) 40, h) 50.	40
5.5. Predicciones de la geometría circular con una velocidad de entrada de 25 m/s de las muestras número: a) 1, b) 5, c) 10, d) 15, e) 20, f) 30, g) 40, h) 50.	41
5.6. Histogramas de la distribución de los datos de CFD y de la CNN del campo de velocidad paralela al flujo alrededor de la geometría circular para las muestras número: a) 1, b) 5, c) 10, d) 15, e) 20, f) 30, g) 40 y h) 50.	42
5.7. Histogramas de la distribución de los datos de CFD y de la CNN del campo de velocidad vertical alrededor de la geometría circular para las muestras número: a) 1, b) 5, c) 10, d) 15, e) 20, f) 30, g) 40 y h) 50.	43
5.8. Histogramas de la distribución de los datos de CFD y de la CNN del campo de presión alrededor de la geometría circular para las muestras número: a) 1, b) 5, c) 10, d) 15, e) 20, f) 30, g) 40 y h) 50.	44
5.9. Predicciones de la geometría circular de las muestras número: a) 1, b) 5, c) 10, d) 15, e) 20, f) 30, g) 40, h) 50.	46
5.10. Predicciones de la elipse de las muestras número: a) 1, b) 5, c) 10, d) 15, e) 20, f) 30, g) 40, h) 50.	47
5.11. Predicciones del cuadrado de las muestras número: a) 1, b) 5, c) 10, d) 15, e) 20, f) 30, g) 40, h) 50.	48
5.12. Histogramas de la distribución de los datos de CFD y de la CNN del campo de velocidad paralela al flujo para las muestras número: a) 1, b) 5, c) 10, d) 15, e) 20, f) 30, g) 40 y h) 50.	49
5.13. Histogramas de la distribución de los datos de CFD y de la CNN del campo de velocidad vertical para las muestras número: a) 1, b) 5, c) 10, d) 15, e) 20, f) 30, g) 40 y h) 50.	50
5.14. Histogramas de la distribución de los datos de CFD y de la CNN del campo de presión para las muestras número: a) 1, b) 5, c) 10, d) 15, e) 20, f) 30, g) 40 y h) 50.	51
5.15. Predicciones de la CNN para a) círculo, b) cilindro, c) cuadrado, d) rectángulo, e) triángulo y f) triángulo equilátero.	55
5.16. Distribución de los datos para: a) v_x , b) v_y y c) p	56

Acrónimos

ADAM Estimación del momento adaptativo, del inglés *Adaptative Moment Estimation*

ANN Red neuronal artificial, del inglés *Artificial Neural Network*

ASO Optimización de formas aerodinámicas, del inglés *Aerodynamic Shape Optimization*

CFD Dinámica de fluidos computacional, del inglés *Computational Fluid Dynamics*

CNN Red neuronal convolucional, del inglés *Convolutional Neural Network*

DL *Deep Learning*

DNN Red neuronal profunda, del inglés *Deep Neural Network*

FRC Canal de la región de flujo, del inglés *Flow Region Channel*

GAN Red neuronal generativa adversaria, del inglés *Generative Adversarial Networks*

HPC Recursos computacionales de alta eficiencia, del inglés *high-performance computing*

IA Inteligencia Artificial

LGR Representación geométrica latente, del inglés *Latent Geometry Representation*

MAE Error medio absoluto, del inglés *Mean Absolute Error*

MSE Error medio cuadrático, del inglés *Mean Squared Error*

RANS Navier-Stokes promediadas por Reynolds, del inglés *Reynolds-Averaged Navier-Stokes*

ReLU Unidad lineal rectificadora, del inglés *rectified linear unit*

RMSE Raíz del error cuadrático medio, del inglés *Root Mean Square Error*

RMSprop Propagación de la raíz cuadrática media, del inglés *root mean square propagation*

RNN Red neuronal recurrente, del inglés *Recurrent Neural Network*

SDF Función de distancia con signo, del inglés *Signed Distance Function*

SGD Gradiente de descenso estocástico, del inglés *stochastic gradient descent*

URANS Inestables de Navier-Stokes promediadas por Reynolds, del inglés *Unsteady Reynolds-Averaged Navier-Stokes*

Introducción y contexto

La Inteligencia Artificial (IA) se ha convertido en los últimos años en una tecnología de gran utilidad para la resolución de diversos problemas prácticos. Esto se debe, fundamentalmente, a las capacidades de aprendizaje, razonamiento y adaptación de los sistemas inteligentes, que permiten que los métodos de IA estén alcanzando niveles de rendimiento sin precedentes a la hora de resolver problemas computacionales complejos [6]. La IA se ha postulado como una herramienta de valiosa utilidad en aplicaciones como el procesamiento del lenguaje natural, el procesamiento de imágenes, los sistemas de visión artificial, el análisis de imágenes médicas, la mecánica computacional o la ingeniería aeroespacial.

La optimización de formas aerodinámicas (ASO, del inglés *Aerodynamic Shape Optimization*) es una forma efectiva de automatizar los procesos de diseño. Apoyándose en la dinámica de fluidos computacional (CFD, del inglés *Computational Fluid Dynamics*) y en recursos computacionales de alta eficiencia (HPC, del inglés *high-performance computing*), las técnicas de ASO permiten diseñar colas, alas o góndolas del motor [28]. Las técnicas de DL aplicadas a la dinámica de fluidos se emplean para el cálculo de parámetros como, por ejemplo, el coeficiente de resistencia (C_D) o la relación entre sustentación y avance o para el cálculo directo de los campos de flujo. Las aplicaciones de DL necesitan de una gran cantidad de datos, que, en el ámbito de la dinámica de fluidos, se extraen de los experimentos y simulaciones numéricas.

En este TFM, se aplica una arquitectura concreta de red neuronal convolucional (CNN, del inglés *Convolutional Neural Networks*) a una serie de situaciones fluido dinámicas de flujo turbulento. Se analiza la capacidad de las redes neuronales de predecir los campos de velocidades paralela al flujo y vertical y de presión, cuando se enfrentan a diferentes velocidades de entrada del fluido o a geometrías variables en tipo, tamaño y orientación.

El SW empleado consiste en una CPU Intel Xeon Gold 5120 para la obtención de todas las simulaciones CFD, una GPU NVIDIA Quadro RTX 6000 para el entrenamiento de la red neuronal, una CPU Intel Core i7-10750H para la generación de los diferentes códigos auxiliares. Los programas empleados son el Star-CCM+ para la generación de las simulaciones CFD y Python 3.9.6 y Matlab 2020b para el desarrollo de SW. Python 3.9.6 se ha ejecutado en el entorno Anaconda.

El CFD requiere de una capacidad computacional muy elevada. Para ciertas aplicaciones, se precisan resultados rápidos para la extracción de las primeras conclusiones

respecto a un problema determinado. Este TFM se focaliza en la aplicación de diferentes técnicas de DL que ahondan en la obtención de resultados rápidos lo más precisos posibles para evaluar los posibles caminos a seguir a la hora de resolver un problema concreto.

Alcance y objetivos

Cada simulación fluido dinámica puede presentar unas características muy diferentes respecto al resto. En un análisis lo más básico posible, se puede seleccionar el tipo de fluido y sus valores de velocidad, temperatura, si es un flujo laminar o turbulento... También la geometría a la que se enfrenta el fluido, modificando, por ejemplo, su forma, tamaño, posición u orientación. Todo ello unido a los elevados recursos computacionales que consumen las simulaciones CFD, implica la necesidad de búsqueda de nuevas técnicas que efectúen las simulaciones fluido dinámicas.

Debido a esta problemática, diferentes técnicas de DL se han postulado como alternativas eficientes a las simulaciones fluido dinámicas clásicas. Son muchas y variadas las aplicaciones en las que el DL y en concreto, las redes neuronales, han conseguido resultados con un coste computacional muy reducido y errores, con respecto a las simulaciones clásicas, lo suficientemente pequeños como para considerar al DL como una alternativa eficiente, para ciertas aplicaciones, a las simulaciones CFD.

Este TFM busca aplicar una arquitectura concreta de una CNN para resolver problemas fluido dinámicos con diferentes condiciones del fluido y las geometrías analizadas. En concreto, se buscan soluciones a los siguientes planteamientos:

En primer lugar, se busca predecir un número concreto de instantes futuros partiendo de un estado inicial. Este problema se enfoca en dos situaciones diferentes. En la primera, se consideran velocidades variables de entrada al dominio evaluado. La interacción del fluido se considera siempre sobre una geometría circular, invariable en tamaño y posición. Por tanto, el primer objetivo reside en analizar la capacidad de una CNN para predecir instantes futuros a partir de uno inicial, para velocidades del fluido de entrada al dominio variables. En la segunda situación, el objetivo reside en evaluar si esa misma CNN es capaz de predecir los instantes futuros para un conjunto de geometrías (círculo, elipse, rectángulo, cuadrado, triángulo y triángulo equilátero). Asimismo, se analiza el comportamiento para tamaños, orientaciones y posiciones variables de las geometrías mencionadas.

Las aplicaciones mencionadas en el párrafo anterior dependen en todo momento de un estado inicial a partir del cual se predicen los instantes futuros. Para solucionar este inconveniente, se emplea nuevamente la CNN diseñada para predecir el instante inicial necesario para las otras aplicaciones.

Estas tres aplicaciones persiguen el objetivo global de obtener resultados relativamente precisos que involucren un consumo reducido de recursos computacionales. Para

lograr este objetivo global, se tienen que alcanzar objetivos intermedios, expuestos a continuación.

- El primer objetivo reside en la generación de las simulaciones CFD, necesarias para el entrenamiento de las redes neuronales.
- Posteriormente, se ha de manejar correctamente los datos de las simulaciones CFD para que sirvan de salidas de la CNN. Asimismo, se han de seleccionar el resto de entradas y salidas necesarias.
- El siguiente objetivo consiste en la selección de la arquitectura de la CNN y los valores de los parámetros e hiper-parámetros de la red más convenientes.
- Por último, se han de manejar los resultados obtenidos para extraer las conclusiones pertinentes.

Antecedentes bibliográficos o estado del arte

3.1 Introducción a la Inteligencia Artificial y el *Machine Learning*

La Inteligencia Artificial (IA) tiene múltiples enfoques respecto a su definición y a lo que realmente representa. Existen definiciones que hacen referencia a los procesos mentales y al razonamiento y otras, se centran en la conducta. Asimismo, algunas de estas definiciones miden la capacidad de una máquina de igualar el comportamiento humano, mientras que otras se basan en la racionalidad, es decir, la facultad de obrar de forma correcta, según el conocimiento de la máquina [42]. Tomando sistemas que piensan como humanos, aparecen las siguientes definiciones:

- “El nuevo y excitante esfuerzo de hacer que los computadores piensen... máquinas con mentes, en el más sentido literal” [18].
- “[La automatización de] actividades que vinculamos con procesos de pensamiento humano, actividades como la toma de decisiones, resolución de problemas, aprendizaje...” [7].

Respecto al enfoque de sistemas que piensan racionalmente, dos definiciones de referencia son las siguientes:

- “El estudio de las facultades mentales mediante el uso de modelos computacionales” [8].
- “El estudio de los cálculos que hacen posible percibir, razonar y actuar” [51].

El tercer grupo se compone de definiciones que referencian a sistemas que actúan como humanos:

- “El arte de desarrollar máquinas con capacidad para realizar funciones que cuando son realizadas por personas requieren de inteligencia” [25].
- “El estudio de como lograr que los computadores realicen tareas que, por el momento, los humanos hacen mejor” [40].

Por último, el grupo de definiciones que se centran en la actuación racional de los sistemas:

- “La Inteligencia Computacional es el estudio del diseño de agentes inteligentes” [37].
- “IA... está relacionada con conductas inteligentes en artefactos” [35].

Para Flach [11], el Aprendizaje Automático (ML, del inglés *Machine Learning*) es el estudio sistemático de los algoritmos y sistemas que mejoran su conocimiento o su desempeño con la experiencia. El ML se engloba dentro del campo de la IA. Torres [48] expresa de forma generalizada que el ML consiste en desarrollar para cada problema un algoritmo de predicción para un caso de uso particular.

Una red neuronal artificial (ANN, del inglés *Artificial Neural Network*) consiste en una capa de entrada de neuronas, una o más capas ocultas de neuronas, y una capa final de salida [49]. Cuando la red presenta una única capa oculta, se les denomina ANN superficiales, como la del diagrama de la figura 3.1, mientras que las ANN profundas tienen un gran número de capas ocultas. Es en este segundo caso donde entra en juego el concepto de DL, que es un subgrupo del ML, como muestra el diagrama de la figura 3.2.

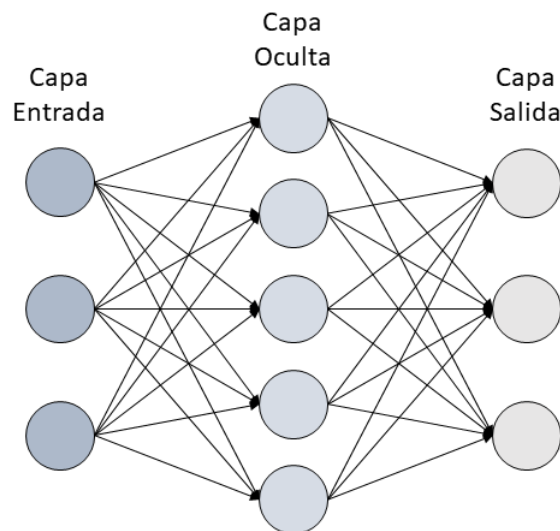


Figura 3.1: Diagrama que representa una ANN simple, que contiene las capas de entrada, oculta y de salida. Si tuviese varias capas ocultas sería una red de DL.

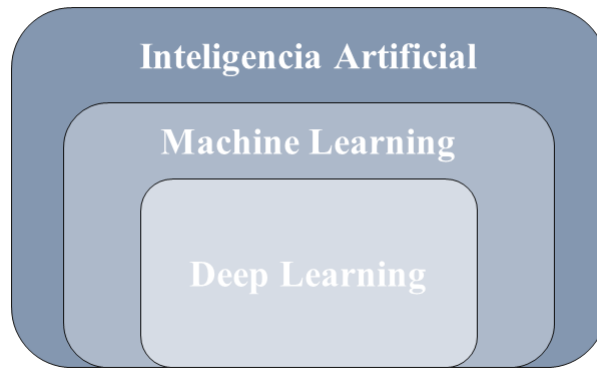


Figura 3.2: Diagrama que muestra que el DL se engloba dentro del ML y, que a su vez, este último, es un subconjunto de IA.

LeCun et al. [26] definen el DL como la herramienta que permite a los modelos computacionales compuestos de múltiples capas de procesamiento aprender representaciones de los datos con múltiples niveles de abstracción. El DL consigue descubrir estructuras complejas en grandes conjuntos de datos utilizando el algoritmo de retropropagación (del inglés *backpropagation*) para indicar cómo una máquina debería cambiar sus parámetros internos usados para el cálculo de la representación en cada capa desde la representación de la capa anterior. El concepto de DL junto con los modelos computacionales y los algoritmos que incorpora trata de imitar la arquitectura de las redes neuronales biológicas del cerebro. Cuando el cerebro recibe nueva información, la compara con los conocimientos previamente existentes e intenta darle sentido a este nuevo estímulo. El cerebro descifra la información asignando los elementos a varias categorías [20]. El organigrama de la figura 3.3 muestra de forma concisa cómo se organizan los diferentes pasos que se toman en las diversas disciplinas de IA. En el caso de DL, se aprecia la búsqueda de características simples en un primer lugar, para luego, ceñirse a las particularidades de mayor nivel de abstracción. Por último, se lleva a cabo el mapeo de esas características para obtener la salida deseada. A diferencia del DL, cuando se trata de una ANN simple, únicamente se buscan las características en una sola parte y, en el ML, la computadora simplemente se dedica al mapeo de las características.

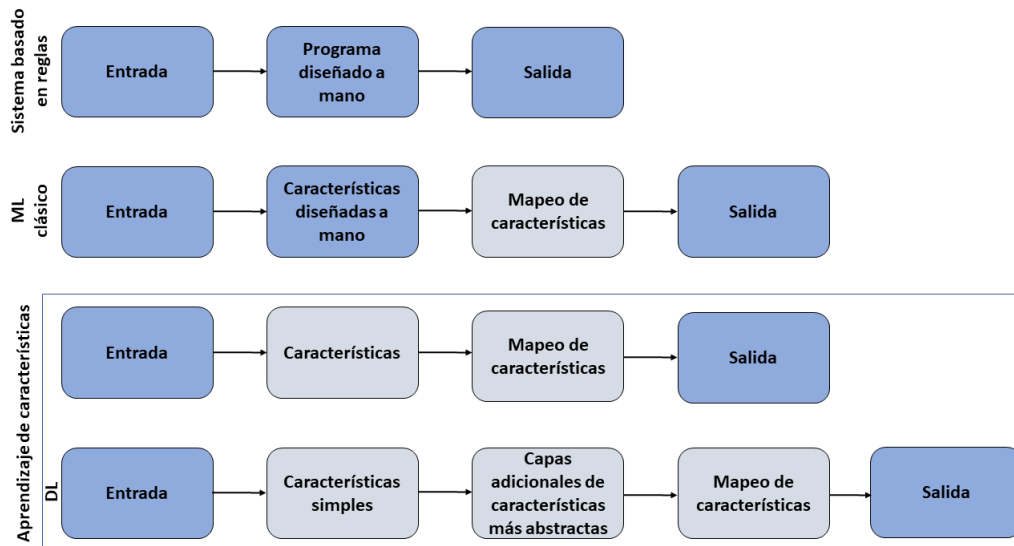


Figura 3.3: Organigrama que muestra cómo las diferentes partes de un sistema de IA se relacionan entre ellas en las diferentes disciplinas de la IA. Las cajas en gris muestran los componentes que son capaces de aprender de los datos.

Las neuronas en DL se pueden definir como los nodos por los que fluyen los datos. El funcionamiento de las neuronas es el siguiente:

- Reciben las señales de una o más entradas, provenientes de los datos de entrada de las salidas de las neuronas anteriores.
- En segundo lugar, realizan una serie de cálculos según la ecuación [3.1](#).
- Por último, expulsan el resultado a la salida.

$$y = \phi \left(\sum_{j=1}^n x_j \omega_j \right), \quad (3.1)$$

donde y es la salida de la neurona, ϕ representa el resultado de la función de activación, n es el número de entradas totales, x_j representa cada una de las entradas de la neurona y ω_j , cada uno de los pesos sinápticos. Para $j=0$, x_0 es igual a 1 y ω_0 es el sesgo (también se simboliza como b). La [3.4](#) muestra un diagrama de una neurona artificial.

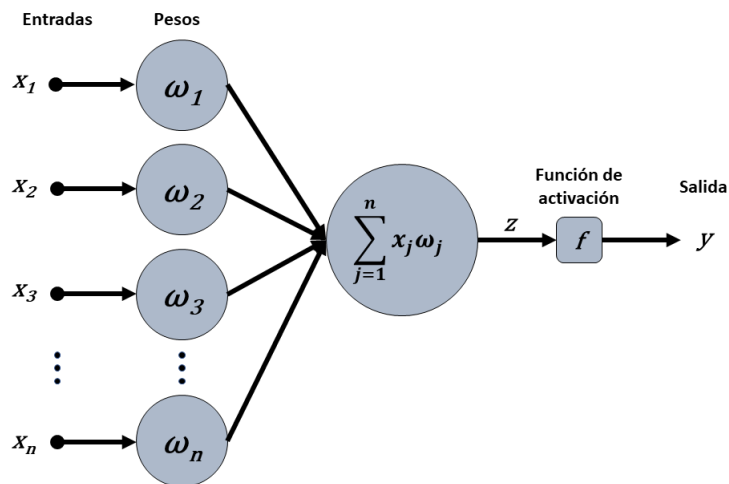


Figura 3.4: Diagrama de una neurona con sus respectivas entradas, pesos sinápticos, función de activación y salida.

3.1.1 Parámetros e hiper-parámetros

En los modelos de ML existen dos tipos de parámetros: los propiamente denominados parámetros, que se inicializan y actualizan durante el proceso de aprendizaje de la red neuronal; y los hiper-parámetros, que han de ser inicializados previamente al inicio del entrenamiento del modelo [24].

Dentro del primer grupo, el llamado parámetros, se encuentran los pesos sinápticos y el sesgo. Los pesos son números reales que indican la pendiente de la recta. El sesgo representa cómo de lejos están las predicciones con respecto del valor de salida deseado.

Los hiper-parámetros, según Yang y Shami [53], se pueden clasificar en dos categorías: aquellos que están relacionados con la construcción de un modelo de DL, llamada hiper-parámetros de diseño de modelo; y los hiper-parámetros de optimización, que se encargan de la optimización y el proceso de entrenamiento del modelo de DL.

Dentro del grupo de hiper-parámetros de diseño de modelo, aparecen algunos como el número de capas ocultas, el número de neuronas por capa, la función de coste, la función de activación y el tipo de optimizador. Como se ha mencionado previamente, las redes neuronales presentan como mínimo tres capas, donde dos de ellas son las de entrada y salida. El concepto de profundidad de una red neuronal depende de dos hiperparámetros, que son el número de capas ocultas y el número de neuronas por capa. Estos dos hiperparámetros dependen de la complejidad y tamaño de los conjuntos de datos del modelo. El tipo de función de coste empleada es un hiperparámetro que adquiere gran relevancia. Algunos ejemplos de función de coste son la entropía cruzada binaria (del inglés *binary cross-entropy*) para los

problemas de clasificación; la entropía cruzada multicategoría (del inglés *multi-class cross-entropy*) para los problemas de clasificación multivariable, y el error medio absoluto (MAE, del inglés *Mean Absolute Error*), también llamado *L1 loss*, el error medio cuadrático (MSE, del inglés *Mean Squared Error*), también *L2 loss*, y la raíz del error cuadrático medio (RMSE, del inglés *Root Mean Square Error*) para los problemas de regresión. Las expresiones de las funciones de coste vienen dadas por las expresiones [3.2](#), [3.3](#) y [3.4](#) respectivamente.

$$MAE = \frac{1}{m} \sum_{i=1}^m |h(x^{(i)}) - y^{(i)}|, \quad (3.2)$$

donde m es el número de muestras, $x^{(i)}$ es la muestra i del conjunto de datos, $h(x^{(i)})$ es la predicción para la muestra i e $y^{(i)}$ es la etiqueta de la muestra i .

$$MSE = \frac{1}{m} \sum_{i=1}^m |y^{(i)} - \hat{y}^{(i)}|, \quad (3.3)$$

donde m es el número de muestras, $y^{(i)}$ es la etiqueta de la muestra i e $\hat{y}^{(i)}$ es la etiqueta predicha para la muestra i .

$$RMSE = \sqrt{\frac{1}{m} \sum_{i=1}^m (h(x^{(i)}) - y^{(i)})^2}, \quad (3.4)$$

donde m es el número de muestras, $x^{(i)}$ es la muestra i del conjunto de datos, $h(x^{(i)})$ es la predicción para la muestra i e $y^{(i)}$ es la etiqueta de la muestra i .

El hiperparámetro función de activación se emplea para la propagación de la salida de una neurona hacia delante. Algunos ejemplos de funciones de activación son la función lineal, la sigmoide, la tangente hiperbólica (\tanh), la softmax, la unidad lineal rectificadora (ReLU, del inglés *rectified linear unit*) o la *softsign*. Las expresiones de estas funciones vienen dadas por las ecuaciones [3.5](#), [3.6](#), [3.7](#), [3.8](#), [3.9](#) y [3.10](#) respectivamente.

$$f(x) = x, \quad (3.5)$$

$$f(x) = \frac{1}{1 + e^{-x}}, \quad (3.6)$$

$$f(x) = \tanh(x), \quad (3.7)$$

$$f(x)_i = \frac{e^{x_i}}{\sum_{j=1}^n e^{x_j}} \text{ para } i = 1, \dots, n, \quad (3.8)$$

$$f(x) = \begin{cases} x, & x > 0 \\ 0, & x \leq 0, \end{cases} \quad (3.9)$$

$$f(x) = \frac{x}{1 + |x|}. \quad (3.10)$$

Por último, el tipo de optimizador a emplear. La optimización hace referencia a la tarea de minimizar o maximizar una función $f(x)$ alterando el valor de x . La función $f(x)$ a minimizar o maximizar es la previamente explicada función de coste [14]. Algunos ejemplos típicos de optimizadores son el gradiente de descenso estocástico (SGD, del inglés *stochastic gradient descent*), la estimación de momento adaptativo (ADAM, del inglés *adaptive moment estimation*), la propagación de la raíz cuadrática media (RMSprop, del inglés *root mean square propagation*).

Dentro del segundo grupo, el más importante es la tasa de aprendizaje (del inglés *learning rate*), que determina el tamaño de paso en cada iteración para permitir que la función de coste converja. Si la tasa de aprendizaje es muy grande, el proceso de aprendizaje se acelera, pero puede provocar que el gradiente oscile sobre un mínimo local o que no llegue a converger; mientras que una tasa de aprendizaje muy pequeña provoca un incremento del tiempo de aprendizaje. El *dropout* es una técnica que previene el sobreajuste (del inglés *overfitting*). Se encarga de eliminar algunas neuronas y conexiones entre neuronas de forma temporal de una red neuronal [45]. El *mini-batch size* es un hiperparámetro que representa el número de muestras procesadas previas a la actualización del modelo y el número de épocas indica el número de veces que se itera sobre el conjunto de datos completos. Un último hiperparámetro sería el *early stopping*, que sirve para finalizar el entrenamiento del modelo cuando el error de validación no cambia durante una serie de épocas consecutivas.

3.1.2 Tipos y características de ANN

En este apartado, se describen algunas de las estructuras de DL más básicas, en concreto las relacionadas con la aplicación del DL a la dinámica de fluidos. La principal diferencia entre ellas radica en la arquitectura de la red, es decir, la forma en la que las neuronas se organizan dentro de la red. Según la arquitectura, la siguiente lista muestra los tres tipos principales:

- Perceptrón multicapa (MLP, del inglés *Multi-Layer Perceptron*): es un sistema de neuronas simples interconectadas. Se trata de una representación del modelo de mapeo no lineal de un vector de entradas en uno de salidas [12]. Las capas están densamente conectadas entre sí, es decir, cada nodo está conectado con

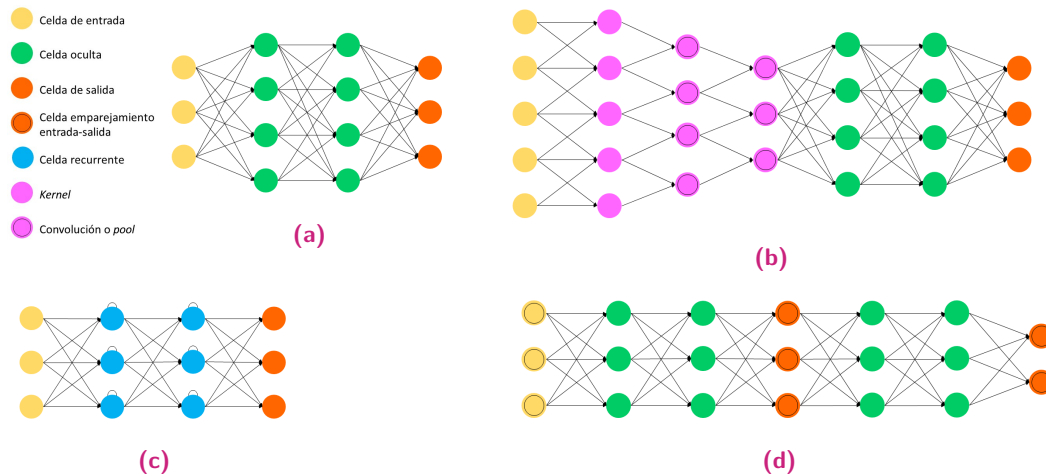


Figura 3.5: Diagramas de las arquitecturas de los principales tipos de redes neuronales: a) MLP, b) CNN, c) RNN y d) GAN.

todas las neuronas de la capa anterior y posterior. La figura 3.5a muestra un diagrama de un MLP con dos capas ocultas.

- Las CNN son un tipo de ANN que están compuestas como mínimo por una capa convolucional. Suelen llevar a cabo operaciones de convolución, *pooling*, tener capas densamente conectadas (del inglés *fully-connected*). Su ventaja principal con respecto a las ANN tradicionales reside en la disminución del número de parámetros necesarios [3]. La figura 3.5b muestra un ejemplo de una arquitectura de red de tipo CNN.
- Las redes neuronales recurrentes (RNN, del inglés *Recurrent Neural Networks*) presentan un estado interno creado con los datos de entrada ya empleados por la red. Posteriormente, como salida, proporciona una combinación entre el estado interno y la nueva entrada. A su vez, el estado interno se modifica en cada iteración para los nuevos datos entrantes. Se emplean en tareas que requieren datos secuenciales [43]. En la figura 3.5c se muestra un esquema de una RNN.
- Las red neuronales generativas adversarias (GAN, del inglés *Generative Adversarial Networks*) están formadas por dos modelos: un modelo generativo, G, que captura la distribución de los datos, y un modelo discriminativo D que estima la probabilidad de que una muestra provenga del entrenamiento de los datos antes que de G. El procedimiento de entrenamiento de G es maximizar la probabilidad de D de fallar [15]. En la figura 3.5d se visualiza un ejemplo de una estructura de tipo GAN.

Las capas principales de una CNN son las capas de entrada y salida y las capas de convolución y *pooling*.

La operación de convolución consiste en detectar y aprender determinados patrones locales en ventanas de dos dimensiones dentro de una imagen. Una vez reconocido un patrón específico en una imagen, se puede identificar esa característica en cualquier parte de la misma. Asimismo, una capa convolucional inicial es capaz de aprender patrones sencillos como aristas, colores o líneas. Posteriormente, otra capa convolucional se vale de esos patrones para aprender jerarquías de patrones. De esta forma, haciendo uso de varias capas de convolución, la red neuronal llega a comprender patrones muy complejos. La figura 3.6 muestra un diagrama que representa la capa de convolución.

Las capas de *pooling* se emplean comúnmente tras la serie de capas convolucionales. A rasgos generales, la operación de *pooling* realiza una simplificación de la información recogida por la capa convolucional y crea una versión condensada de la misma. Para ello, esta capa divide en pequeñas regiones de igual tamaño la capa convolucional logrando reducir el número de conexiones para las siguientes capas. No realiza ningún aprendizaje por sí misma, sino que reduce el número de parámetros a aprender durante las siguientes capas. Como se muestra en la figura 3.7 existen diferentes tipos de *pooling*. Los más típicos son el *max-pooling*, en el que se toma el mayor valor de la región, y el *average-pooling*, donde se toma el valor medio de la región.

Tanto la capa de convolución como la de *pooling* tienen su respectiva operación inversa. Para las capas de convolución, existen las de convolución traspuesta, también denominadas deconvoluciones. Para las capas de *pooling* se encuentran las capas de *unpooling*.

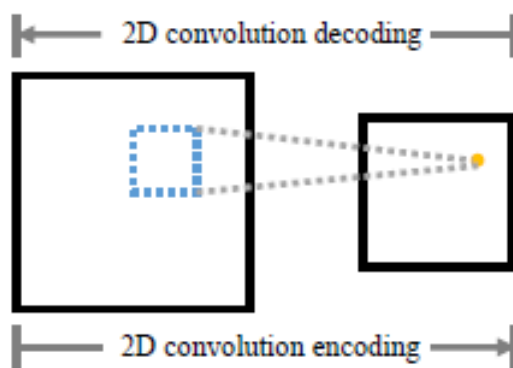


Figura 3.6: Diagrama de una convolución [16].

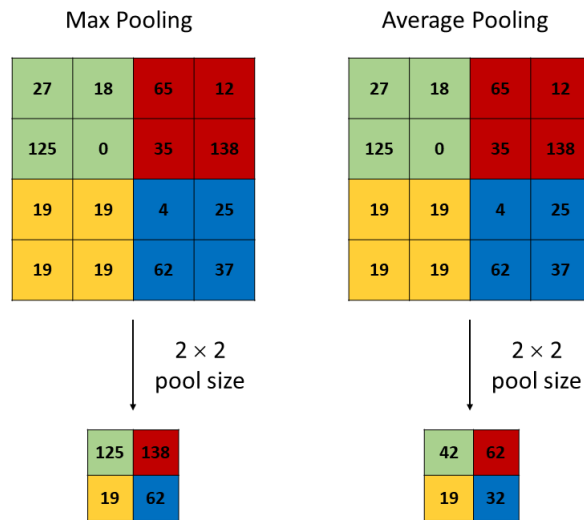


Figura 3.7: Ejemplos de operaciones de pooling.

3.2 Dinámica de fluidos Computacional

Las características físicas de cualquier fluido siguen tres leyes fundamentales: la conservación de la masa, $F=m \cdot a$ (segunda ley de Newton) y la conservación de la energía. Estos principios fundamentales se pueden expresar en forma de ecuaciones matemáticas, generalmente a través de ecuaciones diferenciales. El CFD se basa en sustituir soluciones analíticas de ecuaciones en forma cerrada por números. El producto final del CFD es una gran cantidad de números que proporcionan una descripción cuantitativa del problema.

Las soluciones de las simulaciones en CFD requieren generalmente la manipulación reiterada de miles, o incluso millones, de números. Debido a ello, la capacidad computacional necesaria y la demanda de memoria es muy elevada. A pesar de los avances exponenciales que se llevan produciendo durante las últimas décadas en la informática, que habilitan la resolución de problemas con CFD cada vez más detallados y sofisticados, sigue suponiendo una limitación para el desarrollo de productos en un rango variado de aplicaciones, como pueden ser la optimización del diseño aerodinámico y la interacción fluido-estructura [50]. Este hecho, unido al crecimiento de la inteligencia artificial en los últimos años, ha resultado en que muchos autores empleen técnicas de DL para obtener aproximaciones de los resultados de las simulaciones CFD, en los casos en los que se necesitan geometrías muy complejas o mallados muy finos. Otro inconveniente de las aplicaciones CFD es su clara dependencia de la capacidad del usuario para la generación del mallado y el modelo de turbulencia.

Para resolver estos problemas, el DL ha sido un área de estudio enfocada a las simulaciones CFD. Por ejemplo, Tao y Sun [46], Zhang et al. [54] y Yan et al.

[52] alcanzaron la optimización aerodinámica, mejorando la eficiencia de varias geometrías con DL. Dentro de las técnicas de DL aplicadas en el ámbito de la computación de fluidos, destacan dos enfoques diferentes. El primero tiene como objetivo la reducción tiempo de computación de las simulaciones en las que se emplea mallas gruesas. Por ejemplo, Bao et al. [5] aplicaron un enfoque en las características físicas del sistema para mejorar el modelado y la capacidad de simulación de una malla gruesa, y Hanna et al. [17] diseñaron un algoritmo de DL para predecir y mejorar el error de los resultados obtenidos en una malla gruesa.

El segundo enfoque implica el cálculo directo de las características deseadas del fluido. Guo et al [16] crearon una CNN que predice los campos de flujo estacionarios alrededor de objetos sólidos, logrando resultados no tan precisos, pero con predicciones muy rápidas. Ribeiro et al [39], tomando la CNN de Guo et al [16] como referencia, diseñaron una CNN muy precisa para predecir los campos de velocidad y presión de fluidos estacionarios alrededor obstáculos con formas simples, reduciendo el coste computacional en torno a 3 y 5 órdenes de magnitud con respecto a las simulaciones CFD. Kashefi et al [21] diseñaron una ANN para obtener los mismos campos que los estudios mencionados previamente. Los campos se obtuvieron con ligeras modificaciones de las geometrías, ya que este es un parámetro esencial a la hora de optimizar los diseños.

Asimismo, existen otros estudios donde se llevan a cabo predicciones de características del flujo más específicas. Por ejemplo, Ling et al [29] utilizó un enfoque de DL para el modelado de las turbulencias a través de las ecuaciones de Navier-Stokes promediadas por Reynolds (RANS, del inglés Reynolds-Averaged Navier-Stokes). De esta forma, modeló el tensor de anisotropía de Reynolds a través de una red neuronal profunda (DNN, del inglés Deep Neural Network), consiguiendo una mejora importante comparada con los resultados obtenidos en las simulaciones CFD. Lee and You [27] predijeron el desprendimiento de vórtices laminares no estacionarios en un cilindro circular mediante una GAN. Liu et al. [30] y Deng et al. [9], diseñaron métodos para la detección de impactos y vórtices respectivamente mediante técnicas de DL.

Los estudios anteriores están centrados en la predicción de flujos laminares. Este tipo de flujo es más fácil de predecir para una DNN debido a que las partículas del fluido se desplazan de forma paralela en láminas ordenadas mientras que, en los flujos turbulentos, las partículas presentan un movimiento aleatorio y caótico. La arquitectura más habitual en los estudios que contemplan los flujos turbulentos son las CNN. Especialmente con una estructura tipo *autoencoder*, en la que las entradas a la red se reducen a una representación geométrica latente (LGR, del inglés *Latent Geometry Representation*). El LGR se trata de una representación de las características básicas de las entradas iniciales a la red. De esta forma, el *encoder* de la CNN puede mapear de forma más sencilla las características del fluido deseadas. Asimismo, la

estructura U-net creada por Ronneberger et al. [41], en la que se aplica la estructura *autoencoder* conectando cada bloque codificador a su respectivo decodificador. Estos autores emplean dicha estructura para la segmentación de imágenes biomédicas. No obstante, los estudios comentados a continuación demuestran la flexibilidad de aplicación de esta arquitectura a la dinámica de fluidos para flujos turbulentos. Por ejemplo, Fang et al. [10] predijeron el tensor de esfuerzos de Reynolds para flujo turbulento con una DNN, mejorando los resultados obtenidos con el modelo lineal y con el modelo de viscosidad de Eddy cuadrática. Thuerey et al. [47] utiliza una CNN con arquitectura U-net para aproximar los campos de velocidad y presión del modelo de turbulencia Spalart-Allmaras basado en las ecuaciones RANS para un perfil aerodinámico. Abucide-Armas et al. [1] logra tasas de error reducidas en la predicción de los campos de velocidad y presión, a través de una CNN, para fluidos turbulentos y velocidades de entrada al dominio variables. Además, añade una técnica de data-augmentation novedosa aplicando la semejanza dinámica y Portal-Porras et al. [38] desarrolla varias estructuras basadas en CNN para predecir los campos de velocidad para flujos turbulentos.

A pesar de la existencia de algunos estudios que analizan dominios tridimensionales, como los estudios Guo et al. [16] y el de Nowruzi et al. [36], la gran mayoría de estudios de este tipo se centran en geometrías bidimensionales. Esto se debe principalmente a los limitados recursos computacionales existentes para las geometrías 3D [34]. Para evitar este problema, Mohan et al. [34] desarrollaron una infraestructura basada en DL que reduce la geometría para analizar posteriormente las características del fluido.

En la mayoría de los estudios mencionados previamente no se tiene en cuenta la evolución temporal de las características del fluido. En DL, se emplean RNN para los casos en los que las entradas y salidas de la red dependen de instantes anteriores. Agostini [2] predice la evolución temporal de la velocidad paralela al flujo con un modelo *autoencoder*. Por otro lado, Maulik et al. [33], Gonzalez y Balajewicz [13] y King et al. [22] predijeron algunas propiedades del fluido con un enfoque basado en la evolución temporal de las mismas.

En este trabajo, se utiliza una CNN basada en la arquitectura U-net con una estructura de tipo *autoencoder*. La CNN propuesta es entrenada con los datos de los campos de velocidad horizontal y vertical y de presión obtenidos con técnicas de CFD. El objetivo es aprovechar estos datos para entrenar la CNN para conseguir predicciones de los instantes futuros con tasas de error pequeñas, teniendo en cuenta la dependencia del estado actual de las características de un fluido con respecto al estado anterior. En cuanto al testeo de la red, se toma un instante inicial aleatorio de los datos de CFD a partir del cual se calculan las predicciones de los siguientes 10 instantes. Cada resultado obtenido es comparado con su correspondiente instante calculado con CFD para obtener la precisión de la red.

Desarrollo de la solución

El trabajo se focaliza en la utilización de técnicas de DL para simulaciones fluido dinámicas, principalmente para flujos turbulentos. En primer lugar, se estudia la capacidad de una CNN de predecir instantes futuros de los campos de velocidades paralela al flujo y vertical y de presión para velocidades de entrada al dominio computacional variables. El segundo caso se enfoca en la predicción de dichos campos variando las geometrías analizadas y sus características. Asimismo, se genera un modelo neuronal para la predicción del primer instante a partir del cual se generan los instantes futuros.

4.1 Geometría circular con velocidad de entrada variable

4.1.1 Simulaciones numéricas

En este trabajo, se estudian las oscilaciones periódicas a largo plazo en un flujo turbulento. Por ello, las simulaciones se llevan a cabo en base a las ecuaciones inestables de Navier-Stokes promediadas por Reynolds (URANS, del inglés *Unsteady Reynolds-Averaged Navier-Stokes*). Las ecuaciones URANS se obtienen mediante el siguiente proceso:

Las ecuaciones de Navier-Stokes para un flujo incompresible se filtran a lo largo del tiempo de acuerdo a la ecuación [4.1](#).

$$\frac{\partial \langle u_i \rangle}{\partial t} + \frac{\partial}{\partial x_j} (\langle u_j u_i \rangle) = -\frac{1}{\rho} \frac{\partial \langle p \rangle}{\partial x_i} + \nu \frac{\partial^2 \langle u_i \rangle}{\partial x_k^2}. \quad (4.1)$$

Después, se introduce en la ecuación [4.1](#) el tensor de esfuerzos turbulentos, dado por la ecuación [4.2](#).

$$\tau_{ij} = \langle u_i \rangle \langle u_j \rangle - \langle u_j u_i \rangle. \quad (4.2)$$

La ecuación URANS final queda:

$$\frac{\partial \langle u_i \rangle}{\partial t} + \frac{\partial}{\partial x_j} (\langle u_i \rangle \langle u_j \rangle) = -\frac{1}{\rho} \frac{\partial \langle \tau_{ij} \rangle}{\partial x_i} + \frac{\partial \langle p \rangle}{\partial x_j} + \nu \frac{\partial^2 \langle u_i \rangle}{\partial x_k^2}. \quad (4.3)$$

Explicaciones más detalladas sobre las ecuaciones URANS se proporcionan, por ejemplo, en el estudio de Iaccarino et al. [19].

Star-CCM+ [44] ha sido empleado para la generación de las simulaciones CFD. Cada una de las simulaciones es de un 1 segundo con una frecuencia de muestreo de $2 \cdot 10^{-4}$. Esto proporciona un total de 5000 muestras por cada simulación. Para cada muestra, se han calculado los campos de las velocidades paralela al flujo y vertical y el campo de presión. Estos datos se guardan en archivos de tipo CSV, donde cada uno de ellos contiene los valores de presión y velocidades horizontal y vertical para cada punto del dominio dado por las coordenadas X e Y. Los resultados de las simulaciones CFD son los empleados para el entrenamiento, validación y testeo de la CNN. El dominio considerado es un rectángulo bidimensional con un cilindro circular en el medio del dominio, ver Aramendia et al. [4]. El flujo avanza desde la entrada al dominio, situada en la parte izquierda del mismo, hasta la salida, situada en el extremo derecho del dominio. Los extremos superior e inferior y el cilindro circular no tienen asignadas condiciones de deslizamiento. El diámetro del círculo (D) es de 10 mm, y su centro se encuentra a una distancia 5D de la entrada al dominio y de las paredes deslizantes. El tamaño del dominio es un rectángulo de dimensiones iguales a 100×256 mm. La vista detallada del dominio computacional y sus dimensiones se proporciona en la figura 4.1.

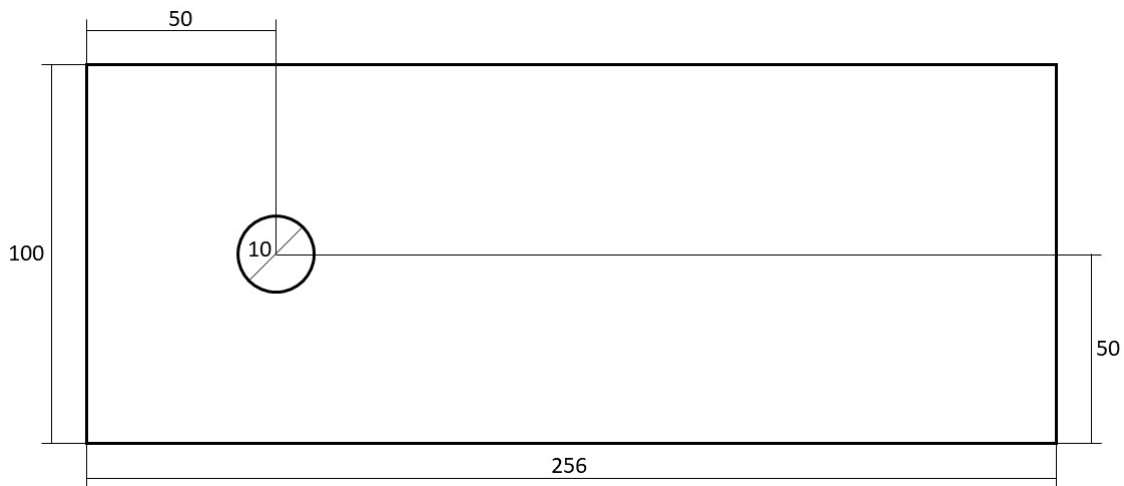


Figura 4.1: Dominio computacional de las simulaciones con velocidad de entrada variable (sin escalar).

Dentro del dominio descrito en el párrafo anterior, se ha construido un mallado compuesto de celdas poliédricas. La mayoría de celdas se ubican en la zona posterior al obstáculo en el sentido de movimiento del flujo, buscando una mejor captura de los vórtices situados detrás del círculo. Asimismo, un control volumétrico ha sido diseñado para refinar la malla alrededor del obstáculo para poder mantener el valor y^+ por debajo de 1. La figura 4.2 muestra el mallado descrito.

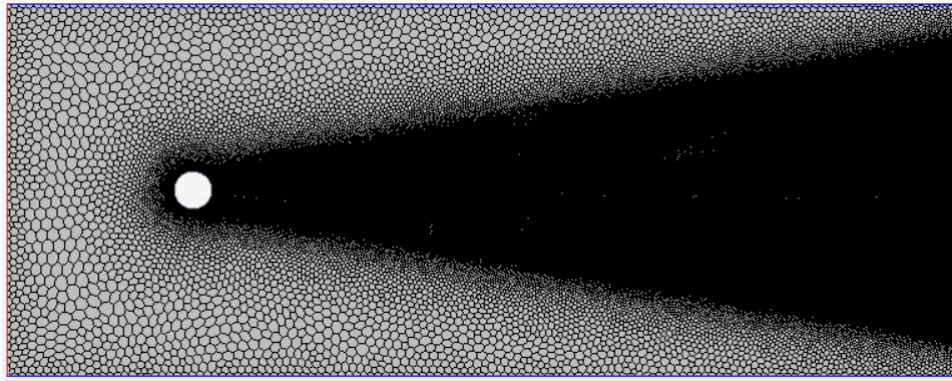


Figura 4.2: Distribución del mado alrededor de la geometría circular.

Con respecto al fluido, se considera un flujo de aire incompresible turbulento inestable. La densidad (ρ) del fluido elegido es $1,18415 \text{ kg/m}^3$ y su viscosidad dinámica (μ) es igual a $1,85508 \cdot 10^{-5} \text{ Pa}\cdot\text{s}$. Ambas magnitudes se asumen como constantes. La velocidad en la entrada (u_∞) varía entre 5 m/s y 25 m/s , con un intervalo de 5 m/s entre cada simulación. Dando un total de 5 simulaciones. El número de Reynolds de las simulaciones varía entre 3200 y 16000, dependiendo del caso y de acuerdo a la ecuación [4.4](#).

$$Re = u_\infty D / \nu, \quad (4.4)$$

donde u_∞ indica la velocidad del fluido, D el diámetro del círculo y ν , la viscosidad cinemática del fluido. Para que el tamaño de los datos de CFD encajen con el tamaño de las entradas de la CNN, se interpolan en una red de 79×172 .

4.1.2 Red neuronal convolucional

La red neuronal escogida para este estudio es una CNN. Estas redes, como se ha descrito previamente son muy eficaces en la obtención de patrones de imágenes a nivel de píxel a partir de unos determinados datos de entrada. Las imágenes digitales son, en esencia, matrices. Los campos de velocidad y presión también son matrices; por tanto, la ventaja de encontrar patrones es la que permite la predicción de los campos analizados.

En este caso, el problema ha sido analizado con un enfoque basado en el tiempo. Este enfoque se justifica en que, en la dinámica de fluidos, el estado de un fluido en un instante de tiempo, t , es fuertemente dependiente de su estado anterior, $t-1$. Es decir, el transitorio de los estados de un fluido adquiere una gran importancia a la hora de analizar las características del mismo. Este concepto se implementa en la CNN mediante la adición de una nueva entrada a la red neuronal que contenga el estado del fluido analizado en el instante $t-1$.

La arquitectura considerada es una U-Net propuesta por Ronneberger et al. [\[41\]](#) para la segmentación de imágenes médicas. Ribeiro et al. [\[39\]](#) demostraron que este tipo

de arquitectura es perfectamente aplicable a la predicción de los campos de velocidad y presión de un fluido. La ventaja de la U-Net reside en que reproduce resultados de mayor precisión gracias a las conexiones directas entre las características de la geometría codificada y las capas decodificadoras. Esta arquitectura consiste en una serie de capas de convolución que llevan a cabo una compresión de la información de las geometrías para obtener una versión condensada de los datos, provocando que la CNN sea capaz de detectar los patrones destacables existentes en el conjunto de datos con una mayor sencillez. Esta versión reducida de las geometrías recibe el nombre de LGR. Posteriormente, por medio de capas de deconvolución se realiza el mapeo entre la LGR y las variables de interés, en este caso, u_x , u_y y p . Estas operaciones de deconvolución transcurren hasta que el LGR adquiere el tamaño del CFD original. Además, el número de canales de salida es igual al número de variables de interés. En el caso en estudio, a pesar de existir tres variables de interés, únicamente existe un canal de salida debido a que cada una de las tres variables se estudia por separado. La adición de un enfoque temporal provoca que un análisis de las tres variables de forma simultánea sea erróneo, ya que se mezclarían informaciones de las variables de interés entre ellas.

La arquitectura de la red presenta una estructura de tipo *autoencoder*, puesto que las entradas de la red se codifican hasta proporcionar el LGR que, posteriormente, se decodifica hasta obtener las salidas deseadas. La figura 4.3 representa de manera gráfica la arquitectura U-Net con una estructura de tipo *autoencoder*.

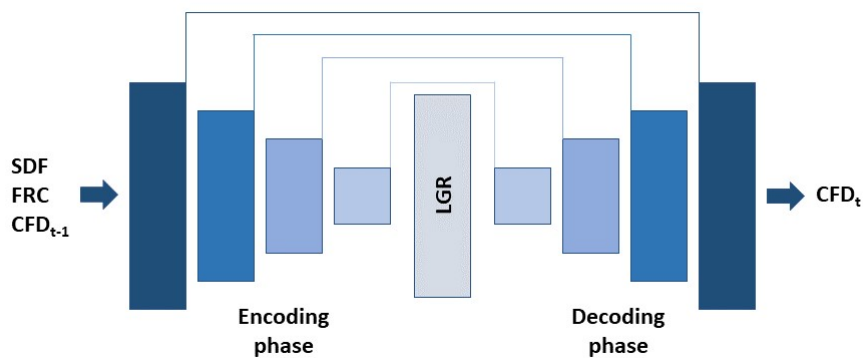


Figura 4.3: Arquitectura U-Net.

A continuación, se describe en profundidad la arquitectura del *autoencoder*. La parte de codificación está constituida por 4 bloques codificadores, donde cada uno de ellos está compuesto por 3 capas de convolución. Los parámetros de las capas de convolución son los siguientes:

- Filtros: 8, 16, 32 y 32 para cada bloque codificador respectivamente.

- Tamaños de las ventanas: 3×3 , 5×5 o 7×7 , dependiendo de cada uno de los modelos entrenados.

Cada bloque codificador tiene el siguiente orden en sus capas:

- En primer lugar, una capa de convolución con la entrada igual al número de filtros del anterior bloque y la salida igual al número de filtros actual más una capa ReLU. En el primer bloque codificador, la primera subcapa contiene 3 filtros en su entrada, que corresponde con el número de entradas a la red neuronal (la función de distancia con signo (SDF, del inglés *Signed Distance Function*), el canal de la región de flujo (FRC, del inglés *Flow Region Channel*) y CFD_{t-1}).
- Posteriormente, una operación de convolución con igual número de filtros en la entrada y la salida más una capa ReLU.
- Por último, se lleva a cabo el mismo proceso que el anterior punto añadiendo, tras la capa ReLU, una capa de *maxpooling*.

La parte decodificadora está formada por 4 bloques decodificadores formados por sucesivas capas de deconvolución, *maxunpooling* y ReLU para mapear la LGR en la salida deseada en cada caso. Las características de las capas de deconvolución son las mismas que las de convolución de la parte codificadora a excepción de los filtros que van en orden inverso para obtener el mapeo de la LGR de forma correcta. El orden de las capas en cada uno de los decodificadores es el siguiente:

- Operación de deconvolución con la entrada igual al doble de filtros correspondiente y la salida igual al número de filtros correspondiente más una capa ReLU.
- Una capa de deconvolución con entrada y salida igual al número de filtros más una capa ReLU.
- Una capa de *maxunpooling* más una capa de deconvolución con entrada igual al número de filtros correspondiente y salida igual al número de filtros del bloque siguiente más una capa ReLU. En el último bloque decodificador, la capa de *maxunpooling* no existe y la deconvolución tiene una única salida, la variables u_x , u_y o p dependiendo del caso a evaluar.

La figura 4.4 representa la arquitectura de la U-Net de forma detallada.

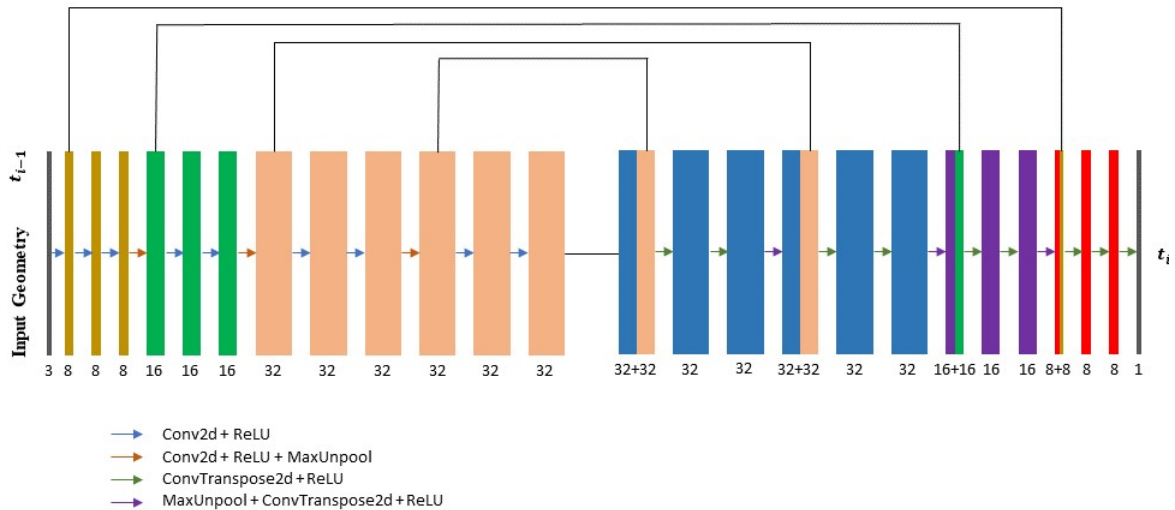


Figura 4.4: Arquitectura detallada de la CNN.

4.1.3 Entradas de la red neuronal

Para esta red neuronal se consideran 3 entradas. El primer par corresponde con la SDF y el FRC. La entrada SDF hace referencia a la forma geométrica tanto del obstáculo como de la malla mientras que en el FRC se indican las características del fluido a lo largo de las diferentes posiciones de la malla. La entrada restante representa la muestra de la variable analizada en el instante anterior (CFD_{t-1}).

La capa de entrada FRC es un canal de múltiples categorías que presenta información sobre las condiciones de contorno del dominio. Se trata de una matriz donde, a través de 5 categorías diferentes, se indican las zonas por las que puede transcurrir un fluido. Las categorías son las siguientes:

- 0 para el obstáculo.
- 1 para la región de flujo libre.
- 2 para las paredes superior e inferior que cumplen la hipótesis de no deslizamiento.
- 3 para la condición de velocidad constante de entrada.
- 4 para la condición límite de flujo cero.



Figura 4.5: Diagrama representativo del FRC.

La entrada SDF consiste en una función matemática que mide la distancia relativa entre cualquier punto de la rejilla y cualquier punto del contorno de una figura geométrica cerrada. Según Guo et al. [16], la SDF proporciona una representación universal para diferentes figuras geométricas y funciona eficientemente con las redes neuronales. Otro tipo de representaciones de las geometrías como los límites o los parámetros geométricos no son efectivas para las redes neuronales. La expresión matemática de esta función viene dada por:

$$SDF(x) = \begin{cases} d(x, \partial\Omega) & \text{if } x \in \Omega \\ -d(x, \partial\Omega) & \text{if } x \in \Omega^c, \end{cases} \quad (4.5)$$

donde Ω es un subconjunto de un espacio métrico, X , con métrica, d , y $\partial\Omega$ es el límite de Ω . Para cada $x \in X$:

$$d(x, \partial\Omega) := \inf_{y \in \partial\Omega} d(x, y), \quad (4.6)$$

donde \inf es el ínfimo. A las posiciones interiores del obstáculo (Ω^c) se le asignan valores de distancia negativos. La figura 4.6 muestra la SFD generada para este estudio con un código de MATLAB [32]. Este permite elegir la posición y tamaño del círculo y el tamaño de la rejilla.

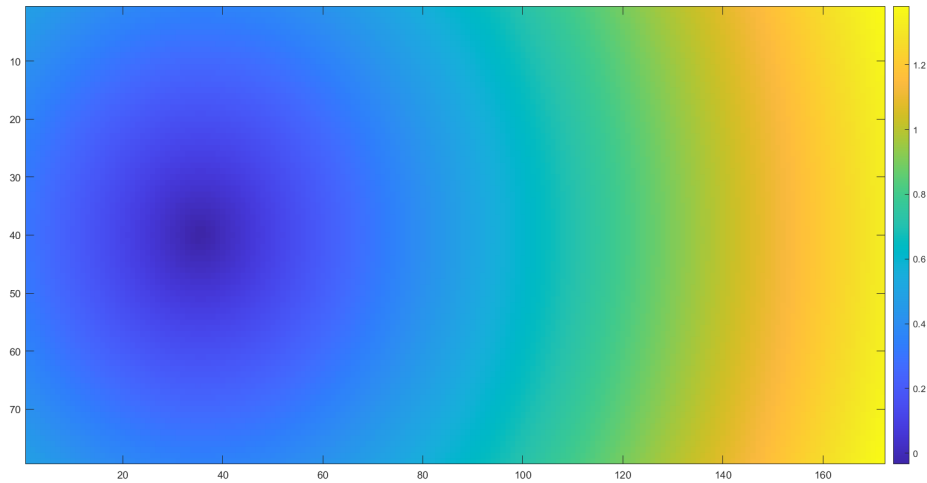


Figura 4.6: SDF de un círculo.

Durante el entrenamiento de la CNN, los resultados obtenidos de las simulaciones CFD se utilizan como la tercera entrada. La muestra del instante $t-1$ con respecto a la muestra de CFD analizada en ese momento es el introducido como entrada. Esto permite a la CNN aprender los patrones existentes durante los transitorios de un estado a otro. A la hora del testeo de la CNN, el resultado predicho en el instante anterior ($t-1$) se emplea como referencia para la nueva predicción; es decir, en el testeo las entradas son la SDF, el FRC y la predicción en $t-1$.

4.1.4 Parámetros del entrenamiento

El optimizador escogido para el entrenamiento de la red es el AdamW, dado por el algoritmo [1]. Es un algoritmo basado en el algoritmo Adam, que actualiza el vector de gradiente y el gradiente cuadrático utilizando la media móvil exponencial [23]. Los coeficientes β_1 y β_2 son los factores de olvido (*forgetting factors*) para los gradientes y los segundos momentos de los gradientes, respectivamente. El valor proporcionado a ambos factores de olvido es de 0,5. El optimizador AdamW es una versión actualizada del optimizador Adam, que mejora la regularización desacoplando el decaimiento de los pesos de la actualización basada en gradiente [31].

Algorithm 1 Algoritmo AdamW

Entradas: γ (lr), β_1 , β_2 (betas), θ_0 (params), $f(\theta)$ (objetivo), ϵ (weight decay), *amsgrad*, *maximize*

Inicializar: $m_0 \leftarrow 0$ (first moment), $v_0 \leftarrow 0$ (second moment)

for $t=1$ **to** ... **do**

if *maximize*:

$$g_t \leftarrow -\nabla_{\theta} f_t(\theta_{t-1})$$

else

$$g_t \leftarrow \nabla_{\theta} f_t(\theta_{t-1}) \quad \theta_t \leftarrow \theta_{t-1} - \gamma \lambda \theta_{t-1}$$

$$m_t \leftarrow \beta_1 m_{t-1} + (1 - \beta_1) g_t$$

$$v_t \leftarrow \beta_2 v_{t-1} + (1 - \beta_2) g_t^2$$

$$\widehat{m}_t \leftarrow m_t / (1 - \beta_1^t)$$

$$\widehat{v}_t \leftarrow v_t / (1 - \beta_2^t)$$

if *amsgrad*

$$\widehat{v}_t^{max} \leftarrow \max(\widehat{v}_t^{max}, \widehat{v}_t)$$

$$\theta_t \leftarrow \theta_t - \gamma \widehat{m}_t / (\sqrt{\widehat{v}_t^{max}} + \epsilon)$$

else

$$\theta_t \leftarrow \theta_t - \gamma \widehat{m}_t / (\sqrt{\widehat{v}_t} + \epsilon)$$

end

return θ_t

Los valores de los hiper-parámetros empleados en el entrenamiento de los diferentes modelos se muestran en la tabla [4.1](#).

Parámetro	Valores
Arquitectura	[8, 16, 32, 32]
Tamaño de las ventanas	3 5 7
Función de coste	L1-norm
Tasa de aprendizaje (lr)	0,001 0,0001
Decaimiento de pesos	0,005
<i>Batch size</i>	32 64
Ratio entrenamiento-test	0,7-0,3
Nº de épocas	1000

Tabla 4.1: Conjunto de valores seleccionados para la búsqueda de los hiper-parámetros adecuados para la red que predice los instantes futuros para velocidades de entrada al dominio variables.

4.2 Geometrías variables

4.2.1 Simulaciones numéricas para geometrías variables

Nuevamente se emplea Star-CCM+ [44] para simular los campos de velocidades paralela al flujo y vertical y de presión. Se consideran las siguientes geometrías: círculo, elipse, cuadrado, rectángulo, triángulo y triángulo equilátero. La duración de cada una de las simulaciones es de 0,1 segundos con una frecuencia de muestreo de $2 \cdot 10^{-4}$. Se generan 500 muestras para cada geometría, proporcionando un total de 3000 muestras. En cada muestra se calculan los valores de velocidad y presión para cada punto del dominio (X, Y). Estos valores se almacenan en un archivo con formato CSV. El dominio considerado es un rectángulo bidimensional, donde la geometría y las paredes se consideran como superficies no deslizantes. El tamaño del dominio es de 128×256 mm. La figura 4.7 representa el dominio computacional y sus dimensiones.

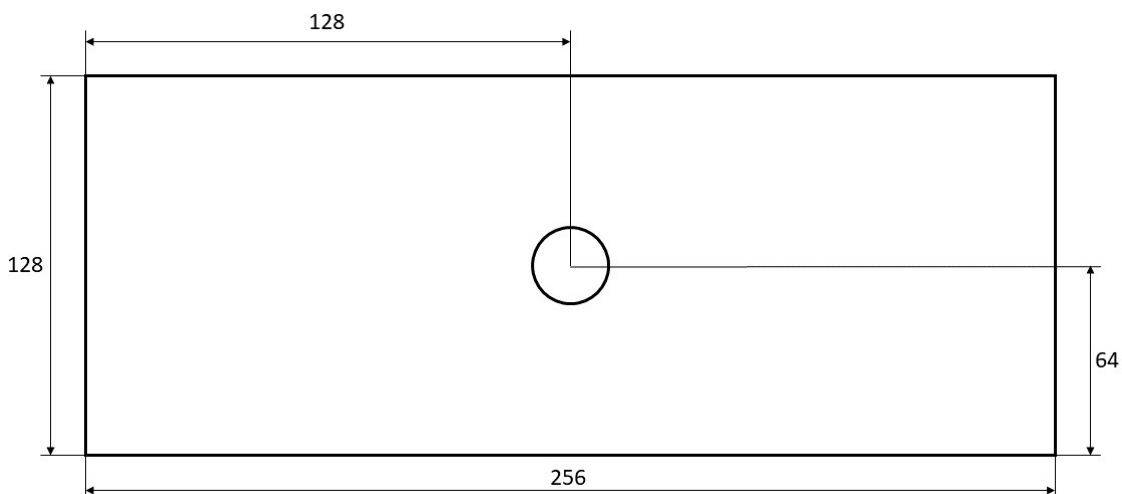


Figura 4.7: Dominio computacional de la simulaciones con geometrías variables (sin escalar).

Se ha construido un mallado compuesto de celdas poliédricas dentro del dominio descrito. La mayoría de celdas se ubican alrededor de la geometría y en las paredes del dominio. Asimismo, se ha sido diseñado un control volumétrico para refinar la malla alrededor del obstáculo para poder mantener el valor y^+ por debajo de 1. La figura 4.8 muestra el mallado descrito.

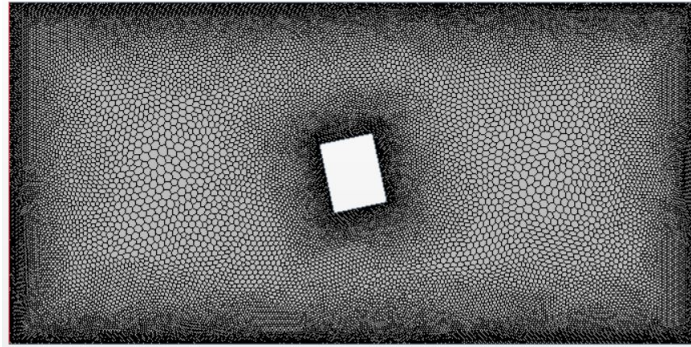


Figura 4.8: Ejemplo de la distribución del mallado alrededor de una geometría.

El fluido considerado es un flujo de aire incompresible turbulento inestable con una densidad (ρ) de $1,18415 \text{ kg/m}^3$ y una viscosidad dinámica (μ) igual a $1,85508 \cdot 10^{-5} \text{ Pa}\cdot\text{s}$. Ambas magnitudes se asumen como constantes. La velocidad de entrada es de 5 m/s . Para que el tamaño de los datos de CFD encajen con el tamaño de las entradas de la CNN, se interpolan en una red de 79×172 .

4.2.2 Red neuronal convolucional

La arquitectura U-Net empleada en [4.1.2](#) se toma como referencia para los entrenamientos de esta sección. Aquí se analizan dos variantes de esta arquitectura. En primer lugar, se reutiliza el enfoque temporal para predecir los estados futuros de los campos de velocidades y presión. Posteriormente, se focaliza en la predicción de un instante determinado de la terna de campos a partir de las entradas de la red, que representan las características geométricas del obstáculo y el dominio computacional.

La primera variante corresponde con la representada en la figura [4.3](#). Se presentan como entradas las matrices SDF y FRC y la muestra $t-1$ del campo analizado. Un único decodificador mapea la información en la LGR, que se decodifica para obtener el campo estudiado en el instante t .

La segunda variante se diferencia de la primera en que, a través de tres decodificadores, se obtienen los tres campos analizados. Asimismo, las entradas de la red son únicamente las matrices SDF y FRC. La figura [4.9](#) representa gráficamente el *auto-encoder* con tres decodificadores. Los entrenamientos con esta segunda variante se realizan para una estructura *autoencoder* de 4 bloques codificadores/decodificadores y para otra de 5. La figura [4.10](#) representa de forma detallada la estructura U-Net con una configuración de 4 bloques codificadores/decodificadores y 3 decodificadores.

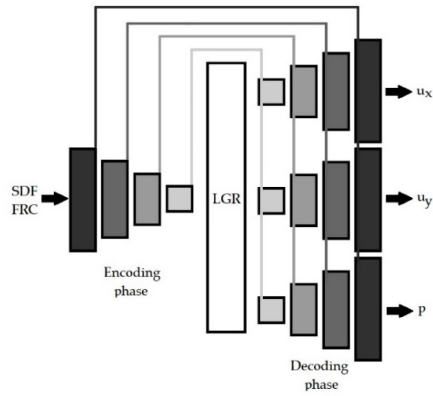


Figura 4.9: Arquitectura U-Net con 3 decodificadores.

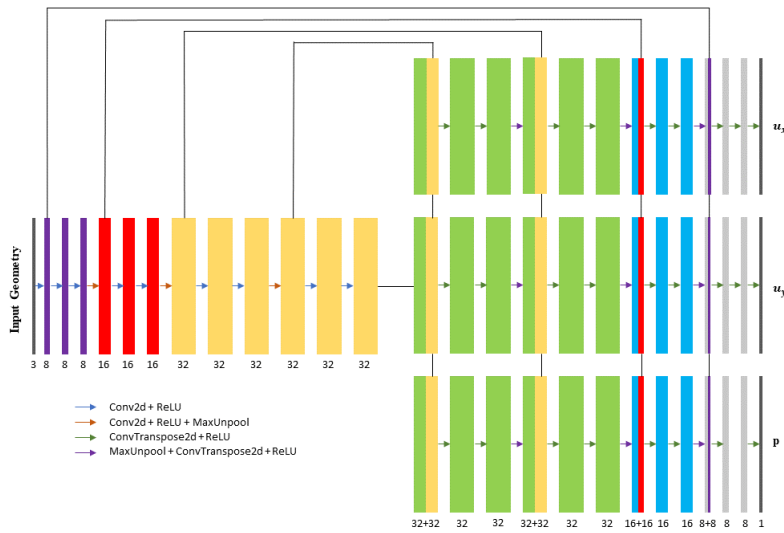


Figura 4.10: Arquitectura detallada de la CNN con 3 decodificadores.

4.2.3 Parámetros del entrenamiento

El optimizador seleccionado es el AdamW, dado por el algoritmo [1](#). Ambos factores de olvido se inicializan en 0,5. Para buscar la mejor combinación de los hiperparámetros para la red que predice las muestras futuras y la que predice la muestra inicial, se entrenan las redes con todas las combinaciones posibles de los valores dados por las tablas [4.2](#) y [4.3](#) respectivamente.

Parámetro	Valores
Arquitectura	[8, 16, 32, 32]
Tamaño de las ventanas	3 5 7
Función de coste	L1-norm
Tasa de aprendizaje (lr)	0,001 0,0001
Decaimiento de pesos	0,005
<i>Batch size</i>	32 64 128
Ratio entrenamiento-test	0,7-0,3
Nº de épocas	2000

Tabla 4.2: Conjunto de valores seleccionados para la búsqueda de los hiper-pámetros adecuados para la red que predice los instantes futuros de los campos con geometrías variables.

Parámetro	Valores
Arquitectura	[8, 16, 32, 32] [8, 16, 16, 32, 32]
Tamaño de las ventanas	3 5 7 9
Función de coste	L1-norm
Tasa de aprendizaje (lr)	0,001 0,0001
Decaimiento de pesos	0,005
<i>Batch size</i>	32 64 128
Ratio entrenamiento-test	0,7-0,3
Nº de épocas	1000 2000

Tabla 4.3: Conjunto de valores seleccionados para la búsqueda de los hiper-pámetros adecuados para la red que predice la muestra inicial.

4.2.4 *Data augmentation*

El entrenamiento de la red para predecir la primera muestra de los campos de velocidades y presión necesita de una gran cantidad de datos. No obstante, tomando un instante determinado, únicamente se tienen seis muestras, una por cada geometría. Por ello, se opta por aplicar una técnica de *data augmentation* que permita incrementar dicha cantidad de datos para el entrenamiento.

Las técnicas de *data augmentation* se emplean asiduamente en aplicaciones de DL. Consisten en la generación de datos sintéticos realistas con el objetivo de aumentar la cantidad de datos para el proceso de aprendizaje de una red neuronal. La técnica más utilizada consiste en añadir transformaciones geométricas y perturbaciones a los datos reales. Sin embargo, este sencillo procedimiento no puede ser aplicado en este estudio. Como solución a este inconveniente, se aplica la técnica de *data augmentation* expuesta en el estudio de Abucide et al. [1].

Esta técnica de *data augmentation* se aplica teniendo en cuenta la teoría de la semejanza de la dinámica de fluidos. Para cualquier simulación, si el número de Reynolds se mantiene constante en cada caso, la nueva velocidad de entrada al dominio y las nuevas velocidades y presiones de los campos pueden ser calculadas. El número de Reynolds se obtiene a partir de la [4.4](#).

Asumiendo que el número de Reynolds es constante en cada uno de los casos, la nueva velocidad de entrada para cada caso se puede calcular mediante la ecuación [4.7](#). Esto es debido a que el fluido y las condiciones de contorno se mantienen constantes y a que la densidad y la viscosidad dinámica no ejercen influencia ninguna sobre la velocidad. Como consecuencia, aplicando ligeras modificaciones al tamaño de las geometrías, la cantidad de datos de entrada para la CNN se incrementa considerablemente.

$$u_{\infty i}^* = \frac{D1}{D_i} u_{\infty 1} \quad (4.7)$$

Las expresiones de los nuevos campos de velocidades y presión vienen dadas por las ecuaciones [4.8](#), [4.9](#) y [4.10](#).

$$\hat{u}_{xi}(\hat{x}, \hat{y}) = \frac{u_{xi}}{u_{\infty i}^*} \left(\frac{x_i}{D_i}, \frac{y_i}{D_i} \right) \quad (4.8)$$

$$\hat{u}_{yi}(\hat{x}, \hat{y}) = \frac{u_{yi}}{u_{\infty i}^*} \left(\frac{x_i}{D_i}, \frac{y_i}{D_i} \right) \quad (4.9)$$

$$\hat{p}_i(\hat{x}, \hat{y}) = \frac{p_{xi}}{u_{\infty i}^{*2} \rho} \left(\frac{x_i}{D_i}, \frac{y_i}{D_i} \right) \quad (4.10)$$

donde \hat{u}_{xi} , \hat{u}_{yi} y \hat{p}_i representan los nuevos campos de velocidades y presión y $\frac{x_i}{D_i}$ y $\frac{y_i}{D_i}$, las nuevas coordenadas dentro del dominio. Como establece la teoría de la semejanza, el tamaño del dominio cambia proporcionalmente a la modificación del tamaño de la geometría. Esto se muestra en la ecuación [4.11](#), donde se muestra la equivalencia para dos puntos concretos del mallado.

$$\hat{x} = \frac{x_1}{D_1} = \frac{x_2}{D_2} \quad (4.11)$$

Con esta información y mediante un código que interpola los campos originales, la cantidad de datos se incrementa fácilmente. La ventaja de este método de *data augmentation* reside en que evita la generación de nuevas simulaciones CFD de larga duración y elevados recursos computacionales. Se han tomado las primera

muestra de los campos de velocidades paralela al flujo y vertical y de presión simulados mediante CFD para cada una de las seis geometrías. Después, se han multiplicado las dimensiones de las geometrías por cincuenta valores diferentes de una variable llamada factor de tamaño, que varían entre 0,93 y 1,07. A continuación, se ha aplicado el procedimiento explicado en este apartado y se han obtenido 300 muestras de CFD para el entrenamiento.

Análisis de resultados

5.1 Resultados de la red aplicada a una geometría circular con velocidad de entrada variable

La red neuronal ha sido entrenada para las distintas combinaciones de los valores de los hiper-parámetros dados por la tabla 4.1. En la tabla 5.1 se muestran todos los modelos neuronales entrenados con los valores de los hiper-parámetros y la duración de los entrenamientos para cada variable. Asimismo, en la figuras 5.1 y 5.2 se muestran las gráficas que comparan los errores medios y máximos obtenidos en los tests de cada modelo. Por cada variable se genera un modelo neuronal individual. Esto permite escoger tres modelos independientes según que combinación de los hiper-parámetros haya proporcionado mejores resultados. Cada modelo neuronal ha sido entrenado con los mismos datos para el entrenamiento y para el test. En este caso, los modelos seleccionados son los de ID igual a 1, 9 y 8 para la velocidad paralela al flujo, la velocidad vertical y la presión, respectivamente. La siguiente configuración de los filtros ha sido empleada para todos los entrenamientos: [8, 16, 32, 32].

Los mejores modelos para la predicción de las muestras futuras de la velocidad paralela al flujo son el 1 y el 6. Pese a que el modelo 6 presenta menor error medio, el error máximo es elevado. Por tanto, el primer modelo es el seleccionado. En el caso de la velocidad vertical, los mejores modelos son el 9 y el 10. Se escoge el modelo 9 por proporcionar un error máximo menor que las predicciones del décimo modelo. En el caso de la presión, los modelos 7, 8 y 9 son los que proporcionan los mejores resultados. Se escoge el modelo con ID igual a 8, debido a presentar menor error medio que el modelo 7 y menor error máximo que el modelo 9.

ID	Tamaño ventana	Lr	Batch size	N.º épocas	Duración entrenamiento v_x (h)	Duración entrenamiento v_y (h)	Duración entrenamiento p (h)
1	3	0.001	32	1000	6,73	6,61	6,61
2	5	0.001	32	1000	7,21	7,09	6,95
3	7	0.001	32	1000	9,47	9,30	9,32
4	3	0.001	64	1000	5,56	5,55	5,51
5	5	0.001	64	1000	6,40	6,18	6,29

ID	Tamaño ventana	Lr	Batch size	N.º épocas	Duración	Duración	Duración
					entrena- miento v_x (h)	entrena- miento v_y (h)	entrena- miento p (h)
6	7	0.001	64	1000	8,97	8,69	8,74
7	3	0.0001	32	1000	7,41	6,97	6,98
8	5	0.0001	32	1000	9,59	7,26	7,26
9	7	0.0001	32	1000	7,10	9,41	9,44
10	3	0.0001	64	1000	7,40	6,98	6,93
11	5	0.0001	64	1000	9,60	7,30	7,27
12	7	0.0001	64	1000	7,11	9,43	9,43

Tabla 5.1: Identificador de cada modelo, combinación de los hiper-parámetros utilizados en cada uno de los modelos entrenados y duración de los entrenamientos de cada variable.

La figuras 5.3, 5.4 y 5.5 muestran la comparativa gráfica de los resultados obtenidos mediante las predicciones de la CNN y de las simulaciones CFD. Asimismo, las figuras 5.6, 5.7 y 5.8 muestran los histogramas en los que se comparan la distribución de los datos de las predicciones de la CNN y los valores de CFD. La tabla 5.2 muestra la comparativa de la media aritmética y la desviación estándar para los valores de las simulaciones CFD y la predicciones de la CNN, para las tres variables analizadas. Puesto que las predicciones dependen la predicción de la muestra inicial, en las predicciones más cercanas al instante 50 se incrementan considerablemente los errores absolutos. Específicamente, hasta la muestra 20 los resultados son bastantes precisos. Después, aparece un incremento de los errores absolutos, especialmente en la velocidad paralela al flujo y en los casos con velocidades de entrada al dominio elevadas. Las velocidades de entrada superiores influyen en que los cambios de los valores de los campos entre dos muestras consecutivas sean mayores. Esto dificulta que la CNN prediga los valores de los instantes posteriores, provocando un incremento del error absoluto.

Velocidad entrada (m/s)	Método	CFD			CNN		
		v_x (m/s)	v_y (m/s)	p (Pa)	v_x (m/s)	v_y m/s	p (Pa)
5	μ	4,9951	0,0075	2.1723	5,4124	-0,0285	2,8495
	σ	1,2170	1,1167	4,3208	1,3490	1,1234	5,1211
10	μ	9,9913	-0,0013	5,2600	10,1065	-0,0376	6,5888
	σ	2,3040	1,8506	14,1083	2,2233	1,8575	14,5295
15	μ	14,9948	0,0190	23,3207	14,7106	-0,0316	28,1998
	σ	3,0165	3,6250	33,4826	2,9791	3,5796	38,5308

20	μ	19,9890	0,0665	44,3182	18,8420	-0,1063	49,2844
	σ	4,6631	4,7345	64,6778	4,6450	4,4262	69,8038
25	μ	24,9808	0,0353	71,2020	22,2070	-0,2575	57,7787
	σ	6,3783	5,8095	105,2168	6,2542	5,4596	85,2597

Tabla 5.2: Media aritmética y desviación estándar de las simulaciones CFD y las predicciones de la CNN por cada velocidad de entrada al dominio.

5.2 Resultados de la red que predice los instantes futuros aplicada a geometrías variables

La tabla 4.2 indica los valores de los hiper-parámetros que se han seleccionado para el entrenamiento de los modelos neuronales. Mediante combinaciones de los valores escogidos se han generado una serie de modelos neuronales. Después, se comprueba los valores de error medio y máximo en cada caso. En las tablas 5.3, 5.4 y 5.5 se muestran los mejores modelos ordenados según el mínimo error medio conseguido para cada una de las tres variables. En este caso, se pueden seleccionar diferentes combinaciones de los hiper-parámetros para el entrenamiento de cada variable, puesto que se generan tres modelos independientes. Todos los entrenamientos presentan 2000 épocas con la arquitectura [8, 16, 32, 32]. El criterio seguido para escoger el modelo adecuado se basa en los errores máximos y mínimos proporcionados por los testeos de cada modelo neuronal. Además, las muestras para entrenamiento y test han sido las mismas para cada modelo neuronal.

En los casos de la velocidad vertical y la presión, el error medio y el error máximo mínimos corresponden los modelos neuronales con ID igual a 5 y 12 respectivamente. Sin embargo, para la velocidad paralela al flujo, los dos primeros modelos neuronales con el menor error medio, proporcionan errores máximos demasiados elevados. Los modelos neuronales con ID igual a 12 y 15 son relativamente similares, proporcionando cada uno menor error medio y mayor error máximo y viceversa. El modelo neuronal con ID 15 es el elegido, por ser el de menor error máximo.

ID	Tamaño ventana	Lr	Batch size	Duración entrenamiento (h)	Error medio v_x (m/s)	Error máx. v_x (m/s)
10	3	0,0001	32	1,70	0,1413	33,4453
13	3	0,0001	64	1,35	0,1561	43,7074
12	7	0,0001	32	2,83	0,1715	15,6595
15	7	0,0001	64	2,60	0,2053	14,8938
4	3	0,001	64	1,37	0,2188	2705,84
11	5	0,0001	32	1,67	0,2217	21,416

ID	Tamaño ventana	Lr	Batch size	Duración entrenamiento (h)	Error medio v_x (m/s)	Error máx. v_x (m/s)
3	7	0,001	32	2,74	0,2510	73,7285
14	5	0,0001	64	1,51	0,2847	48,7618
6	7	0,001	64	2,59	0,3729	1848,65
5	5	0,001	64	1,50	0,5728	39398,8

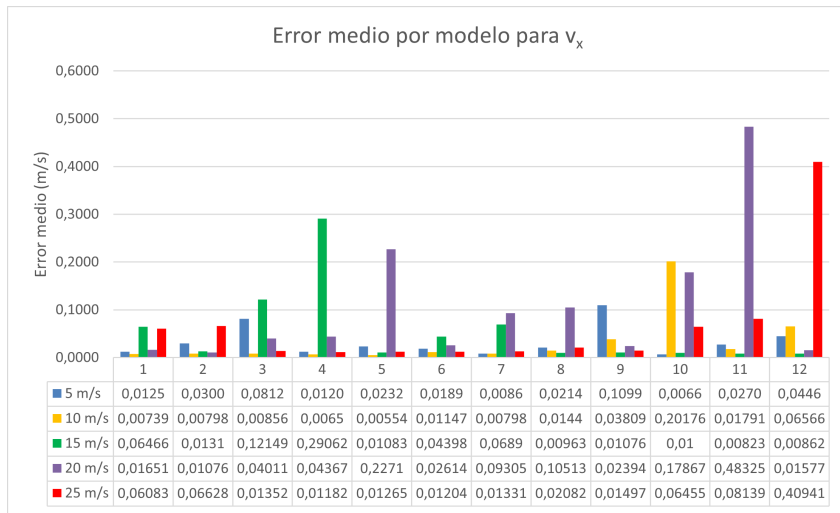
Tabla 5.3: 10 mejores entrenamientos para predicción de los instantes futuros del campo de velocidad paralela al flujo.

ID	Tamaño ventana	Lr	Batch size	Duración entrenamiento (h)	Error medio v_y (m/s)	Error máx. v_y (m/s)
5	5	0,001	64	1,45	0,0585	9,7446
15	7	0,0001	64	2,55	0,0651	10,5586
12	7	0,0001	32	2,72	0,0651	32,4277
2	5	0,001	32	1,56	0,0674	21,7514
14	5	0,0001	64	1,46	0,0976	18,6669
7	3	0,001	128	1,40	0,0992	35,5557
9	7	0,001	128	2,69	0,0999	15,4869
1	3	0,001	32	1,59	0,1016	802,375
8	5	0,001	128	1,49	0,1094	90,4429
16	3	0,0001	128	1,41	0,1358	34,6491

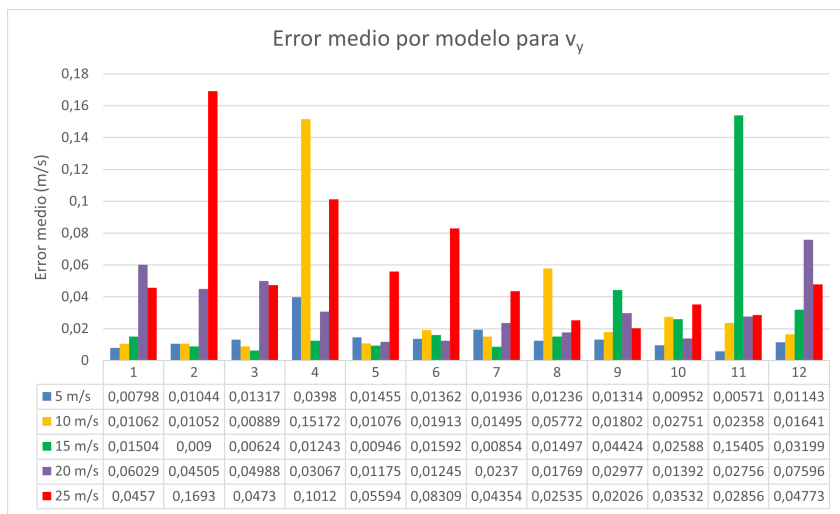
Tabla 5.4: 10 mejores entrenamientos para la predicción de los instantes futuros del campo de velocidad vertical.

ID	Tamaño ventana	Lr	Batch size	Duración entrenamiento (h)	Error medio p (Pa)	Error máx. p (Pa)
12	7	0,0001	32	2,72	0,7139	112,09
4	3	0,001	64	1,24	0,8828	132,73
11	5	0,0001	32	1,57	0,9542	119,92
1	3	0,001	32	1,58	0,9748	466,44
14	5	0,0001	64	1,46	0,9933	117,70
5	5	0,001	64	1,44	1,0869	356,00
15	7	0,0001	64	2,54	1,0900	212,32
7	3	0,001	128	1,40	1,1218	549,21
18	7	0,0001	128	2,71	1,1887	108,50
2	5	0,001	32	1,55	1,3195	196,38

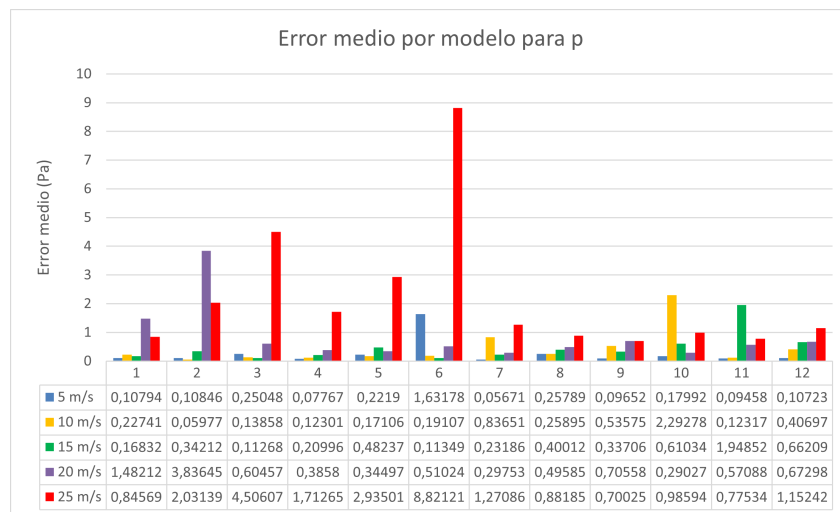
Tabla 5.5: 10 mejores entrenamientos para predicción de los instantes futuros del campo de presión.



(a)

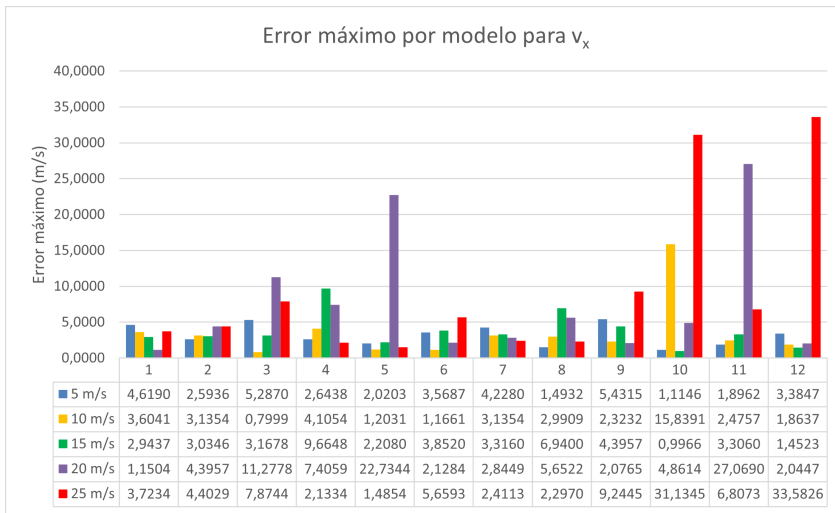


(b)

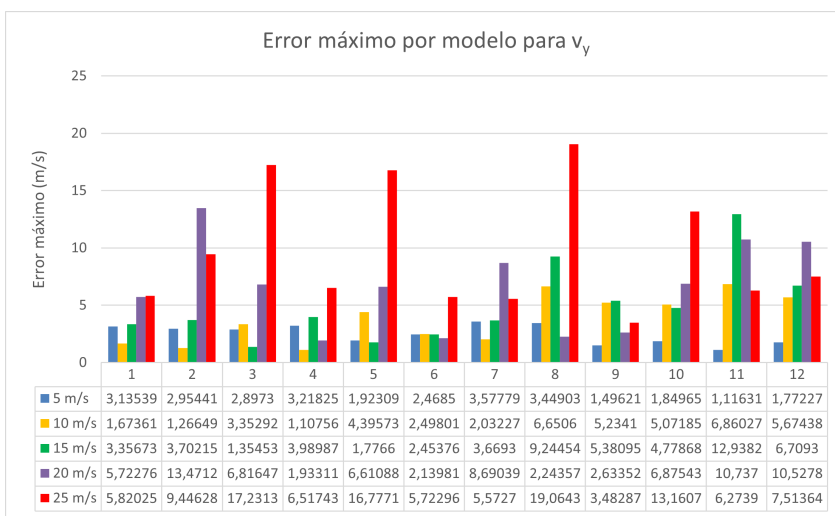


(c)

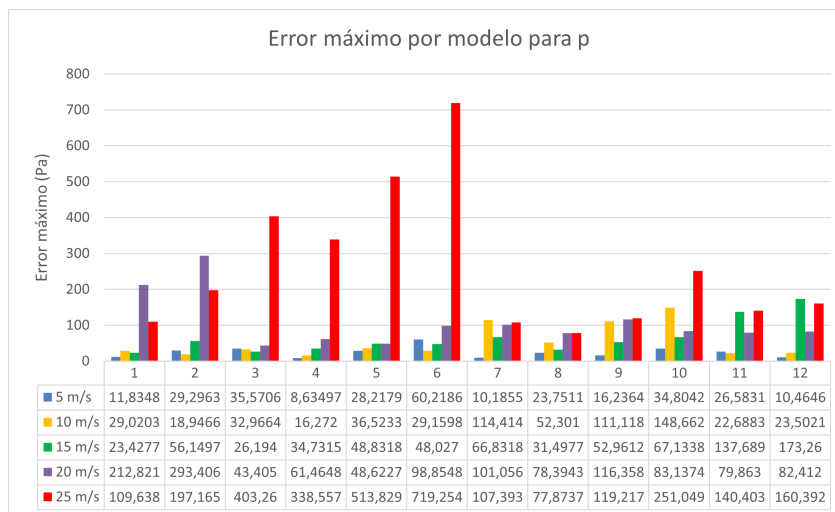
Figura 5.1: Errores medios de cada modelo neuronal entrenado para cada una de las velocidades de entrada al dominio. a) Velocidad paralela al flujo, b) velocidad vertical y c) presión.



(a)



(b)



(c)

Figura 5.2: Errores máximos de cada modelo neuronal entrenado para cada una de las velocidades de entrada al dominio. a) Velocidad paralela al flujo, b) velocidad vertical y c) presión.

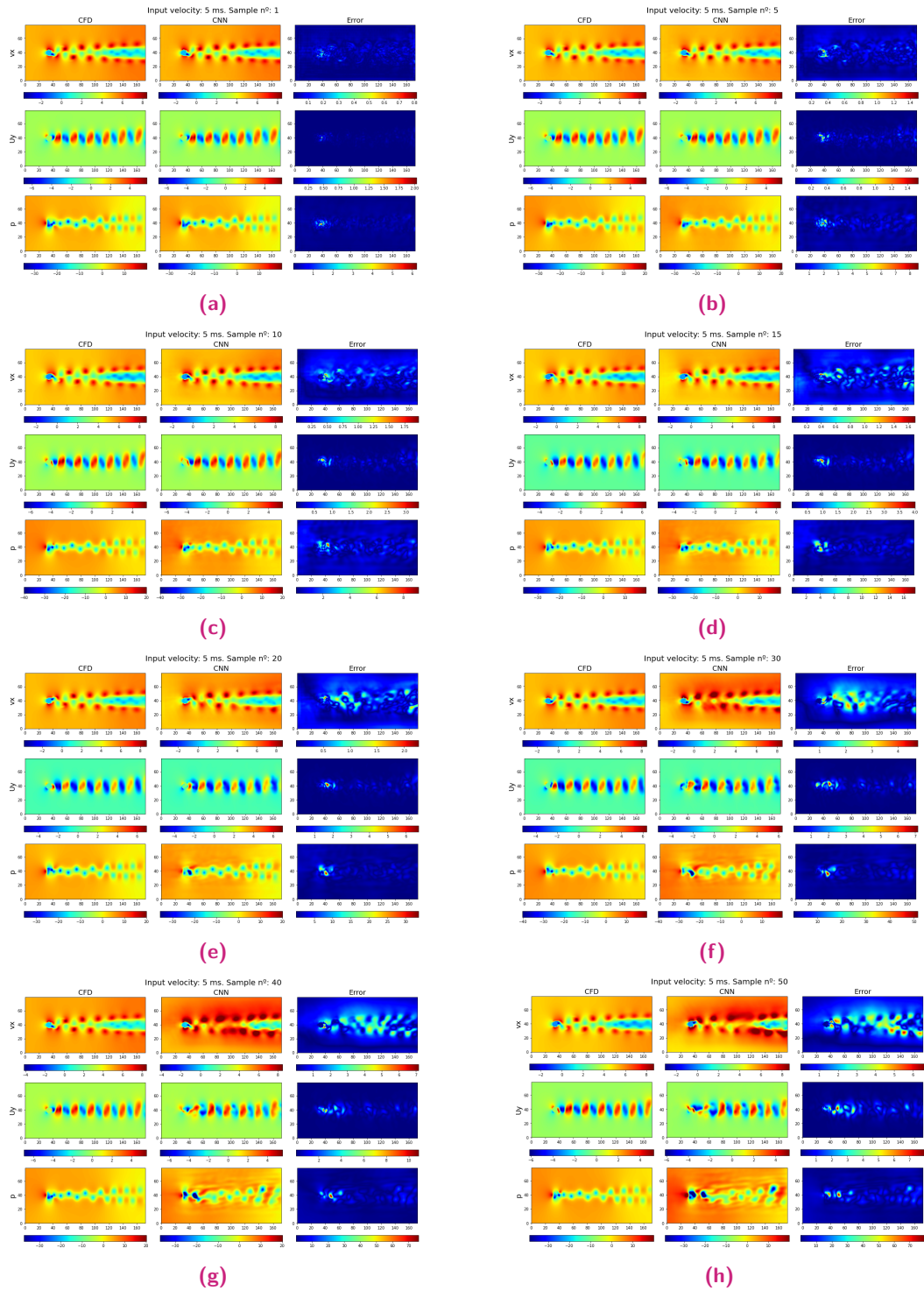


Figura 5.3: Predicciones de la geometría circular con una velocidad de entrada de 5 m/s de las muestras número: a) 1, b) 5, c) 10, d) 15, e) 20, f) 30, g) 40, h) 50.

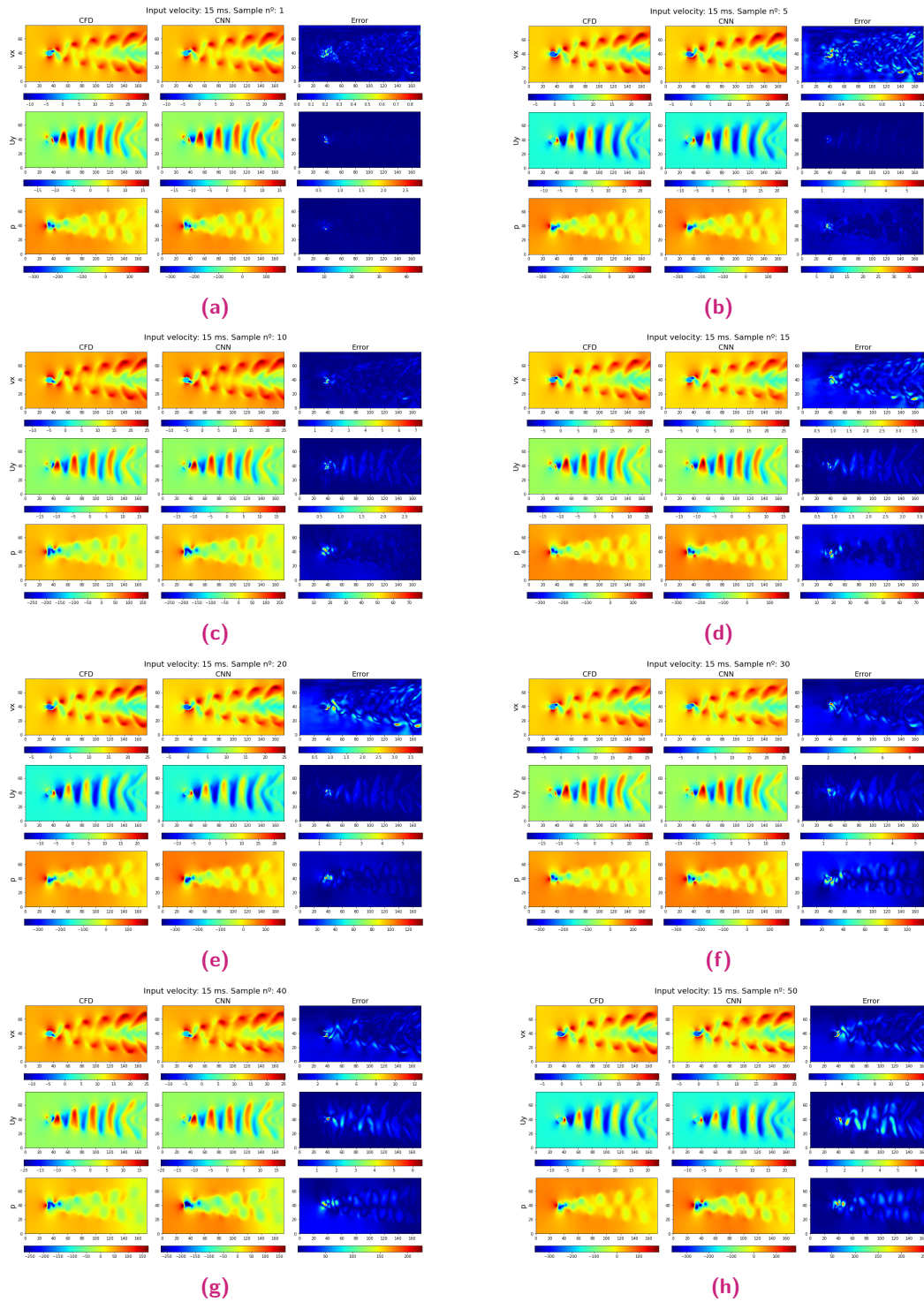


Figura 5.4: Predicciones de la geometría circular con una velocidad de entrada de 15 m/s de las muestras número: a) 1, b) 5, c) 10, d) 15, e) 20, f) 30, g) 40, h) 50.

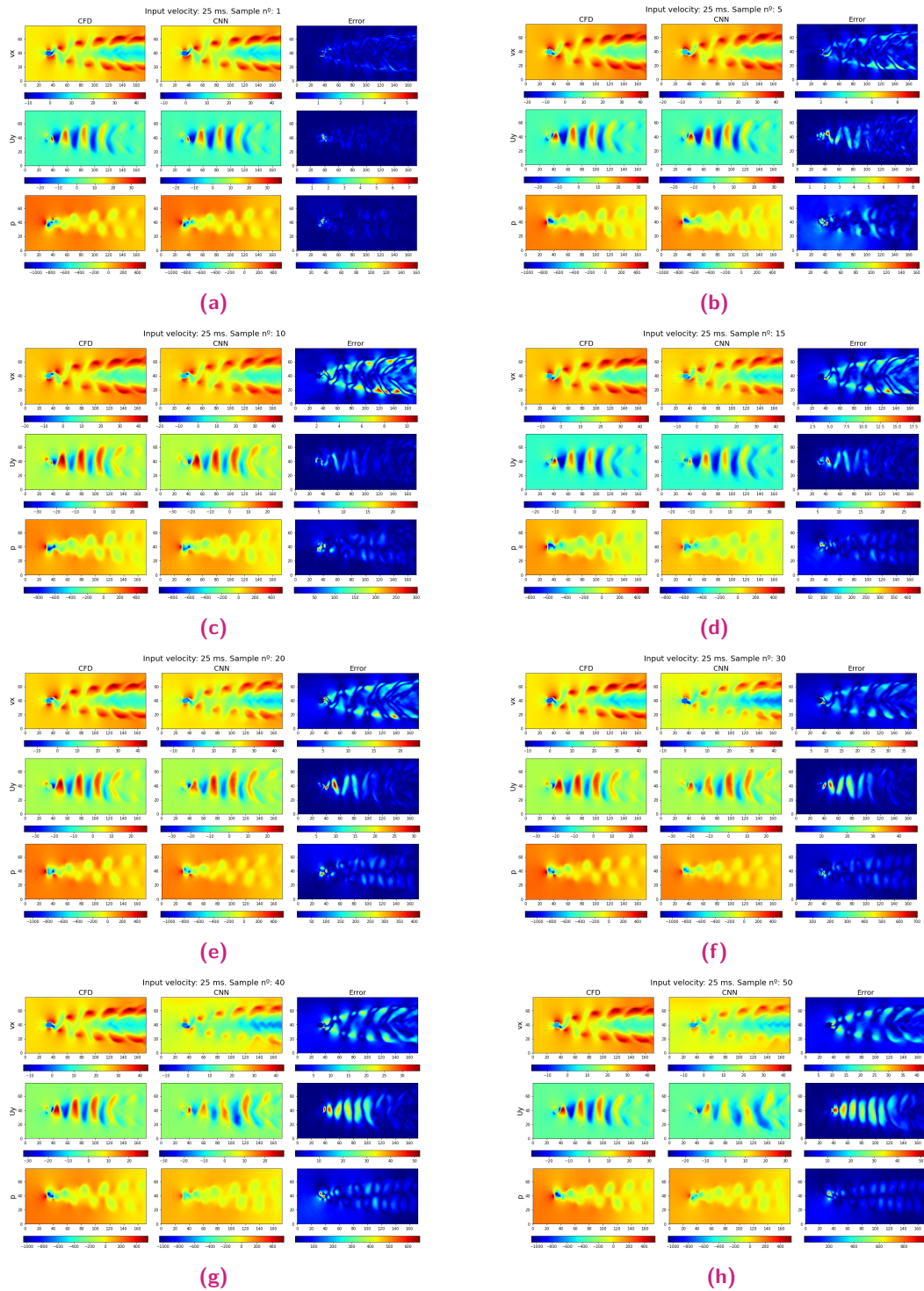


Figura 5.5: Predicciones de la geometría circular con una velocidad de entrada de 25 m/s de las muestras número: a) 1, b) 5, c) 10, d) 15, e) 20, f) 30, g) 40, h) 50.

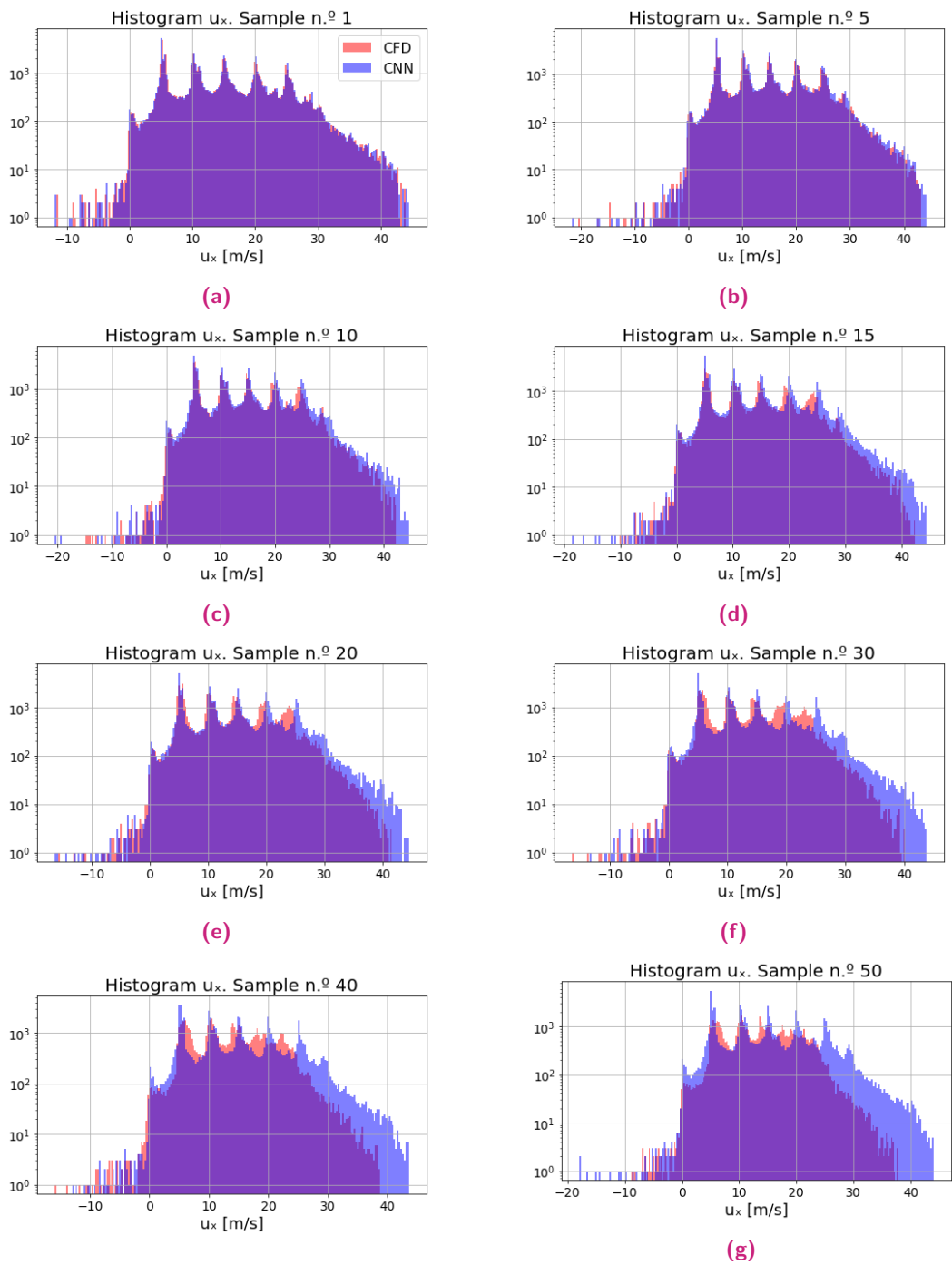


Figura 5.6: Histogramas de la distribución de los datos de CFD y de la CNN del campo de velocidad paralela al flujo alrededor de la geometría circular para las muestras número: a) 1, b) 5, c) 10, d) 15, e) 20, f) 30, g) 40 y h) 50.

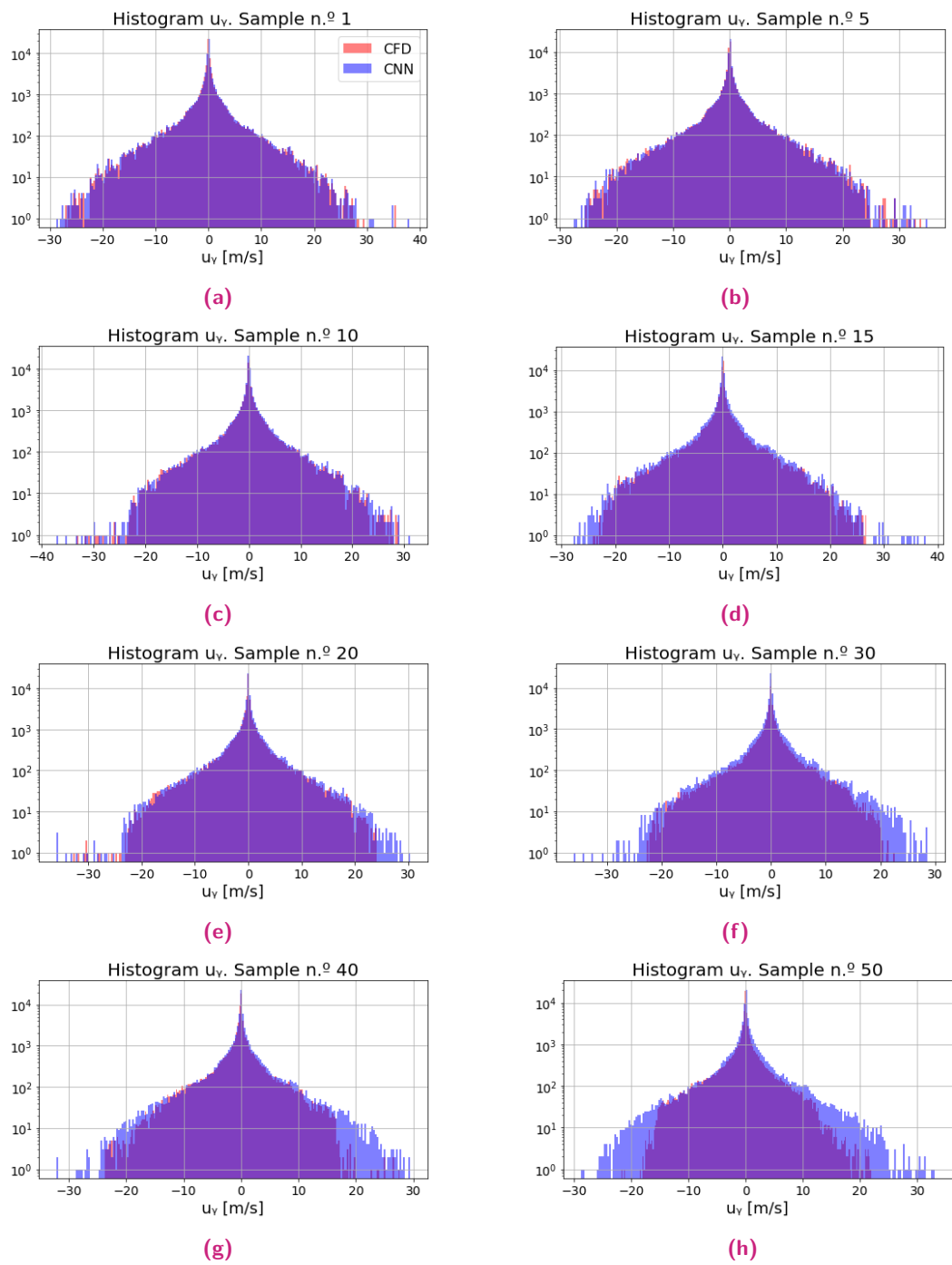


Figura 5.7: Histogramas de la distribución de los datos de CFD y de la CNN del campo de velocidad vertical alrededor de la geometría circular para las muestras número: a) 1, b) 5, c) 10, d) 15, e) 20, f) 30, g) 40 y h) 50.

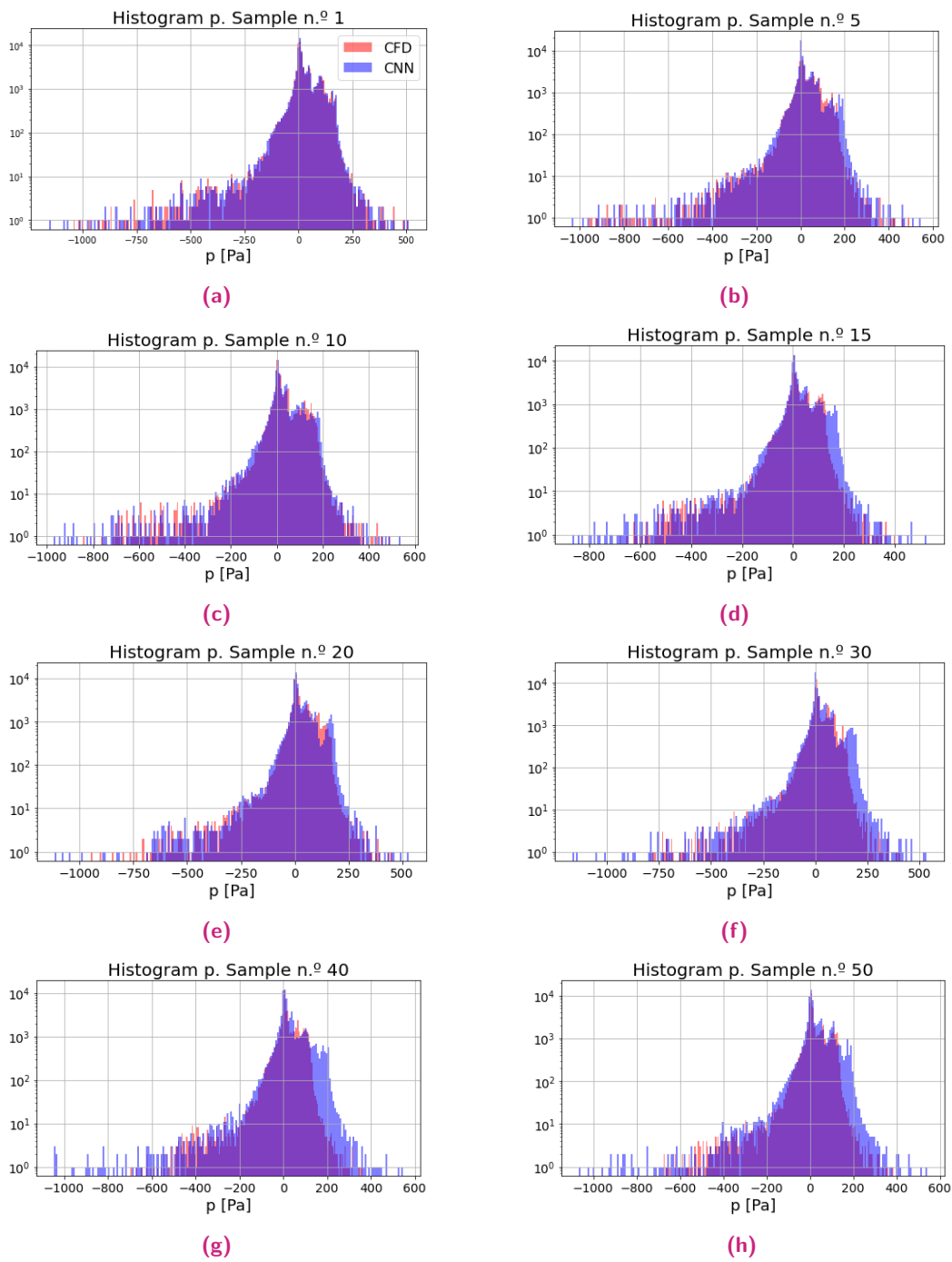


Figura 5.8: Histogramas de la distribución de los datos de CFD y de la CNN del campo de presión alrededor de la geometría circular para las muestras número: a) 1, b) 5, c) 10, d) 15, e) 20, f) 30, g) 40 y h) 50.

En las figuras 5.9, 5.10 y 5.11 se muestra gráficamente la comparación de los resultados obtenidos por la CNN con respecto a las simulaciones proporcionadas por el CFD para el círculo, la elipse y el cuadrado. Asimismo, en las figuras 5.12, 5.13 y 5.14 se muestran los histogramas para las tres variables, que comparan todos los valores dados por la CNN con respecto al CFD. Por otro lado, la tabla 5.6 contiene los valores cuantitativos de la media aritmética y la desviación estándar de las simulaciones CFD y de los tests de la CNN, donde se observa que el modelo neuronal presenta una precisión considerable. Los errores absolutos en las predicciones de los tres campos se incrementan a lo largo de las muestras, puesto que dependen de un estado inicial y la aparición de un error excesivo en un cierto punto, influye considerablemente en el error que producirán las predicciones futuras en dicho punto. Durante las primeras 20 muestras predichas, el error absoluto es relativamente pequeño; sin embargo, en la zona posterior al contorno de las geometrías, surgen errores absolutos elevados, que se acumulan a lo largo de las predicciones. En este caso, los vórtices son captados adecuadamente. La CNN proporciona tasas de error reducidas en esta zona, incluso en los instantes más avanzados.

Método	CFD			CNN		
	v_x (m/s)	v_y (m/s)	p (Pa)	v_x (m/s)	v_y (m/s)	p (Pa)
Media aritmética (μ)	5,0283	-0,0538	8,4882	5,0413	-0,0452	8,5360
Desviación estándar (σ)	1,9109	1,7205	17,0865	1,9940	1,7725	16,9417

Tabla 5.6: Media aritmética y desviación estándar de las 50 muestras predichas por la CNN y simuladas mediante CFD.

5.3 Resultados de la red que predice la muestra inicial para geometrías variables

La red ha sido entrenada para todas las combinaciones de los valores de los hiperparámetros proporcionados por la tabla 4.3. En las tablas 5.7, 5.8 y 5.9 se muestran los resultados de los 10 mejores entrenamientos para las variables v_x , v_y y p respectivamente. A la hora de escoger el modelo entrenado óptimo, se observa que la siguiente combinación de los valores de los hiperparámetros proporciona los mejores resultados:

- Arquitectura: [8, 16, 16, 32, 32]
- Tamaño de ventana: 3.
- Lr: 0,001.
- *Batch size*: 32

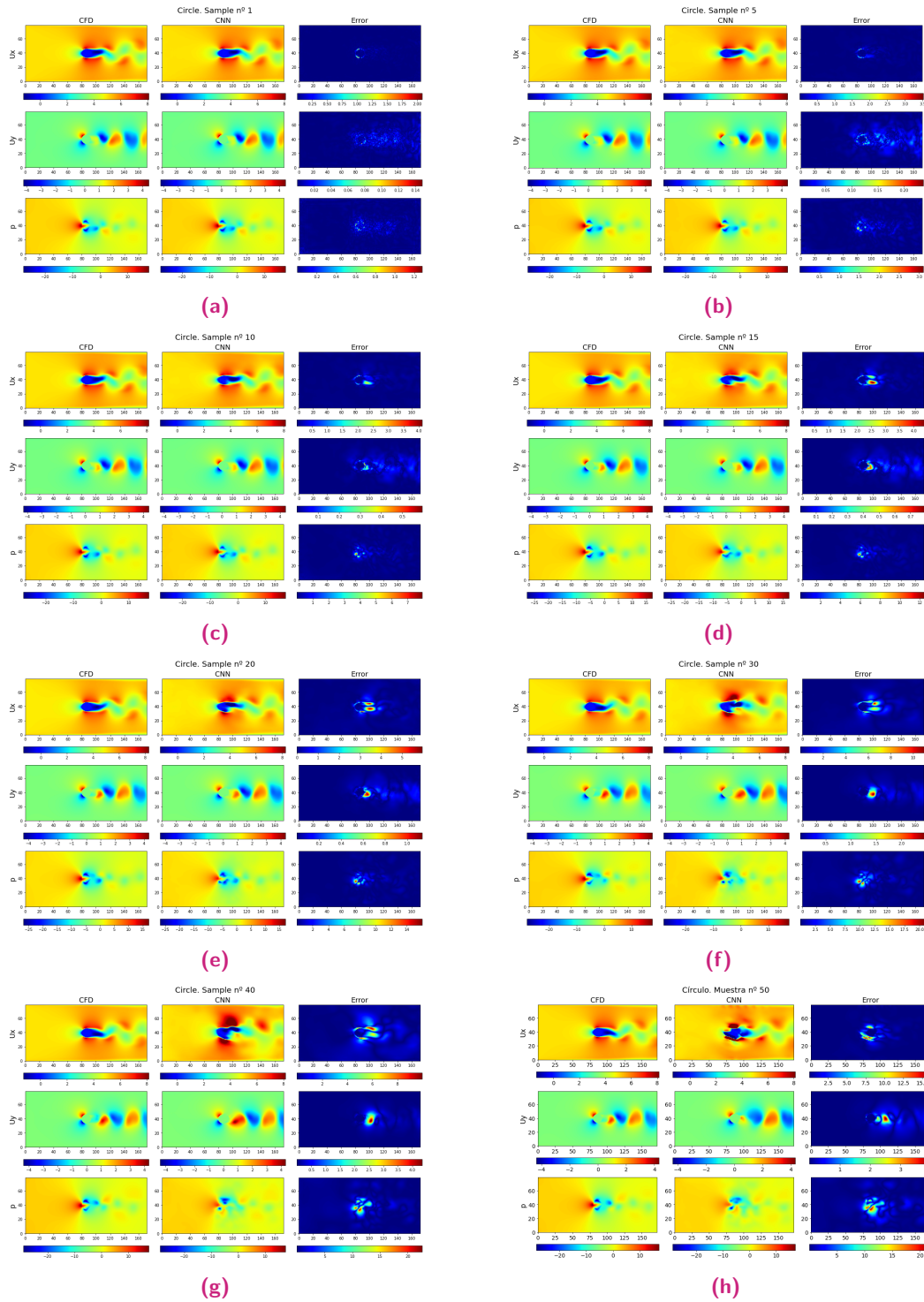


Figura 5.9: Predicciones de la geometría circular de las muestras número: a) 1, b) 5, c) 10, d) 15, e) 20, f) 30, g) 40, h) 50.

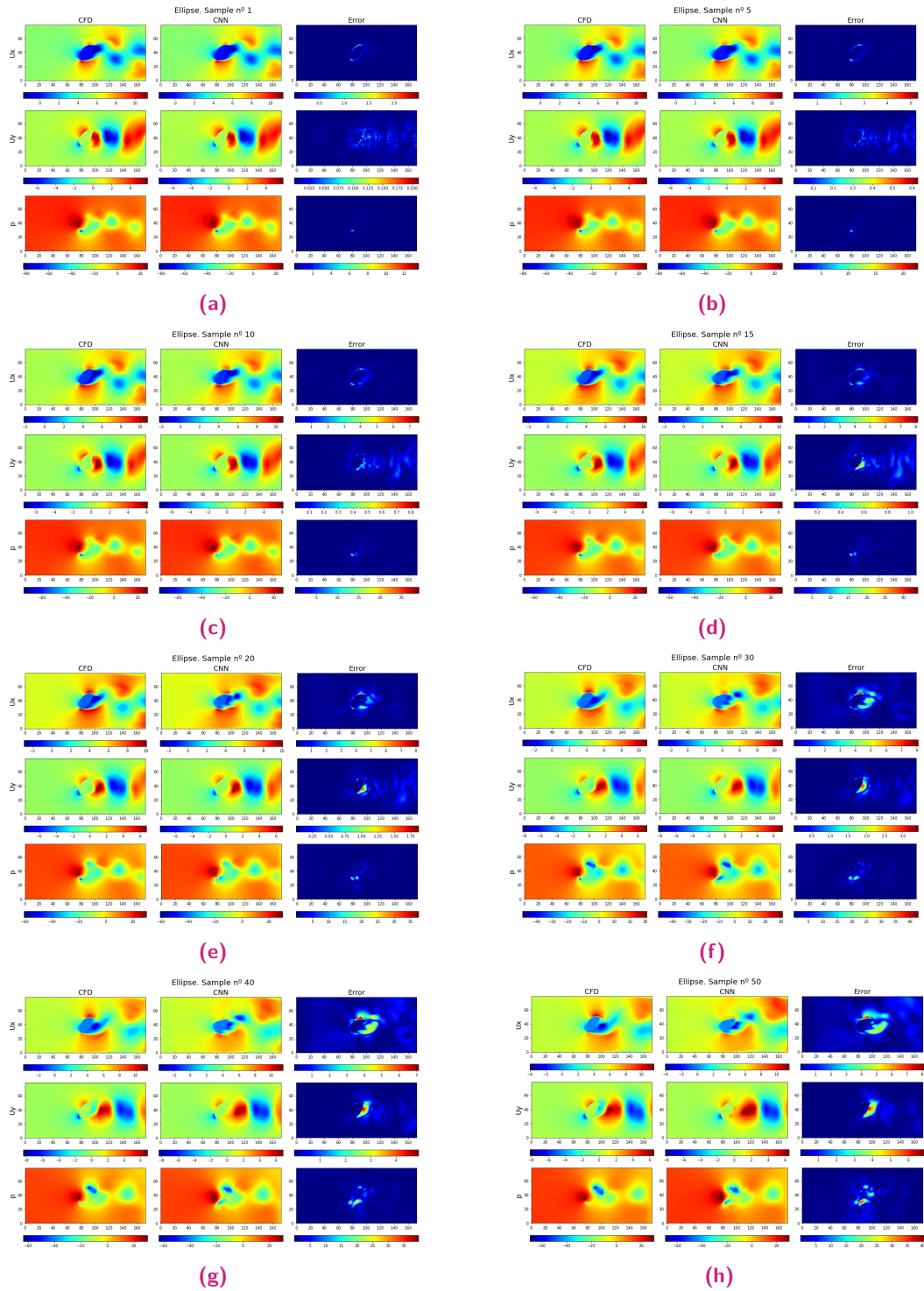


Figura 5.10: Predicciones de la elipse de las muestras número: a) 1, b) 5, c) 10, d) 15, e) 20, f) 30, g) 40, h) 50.

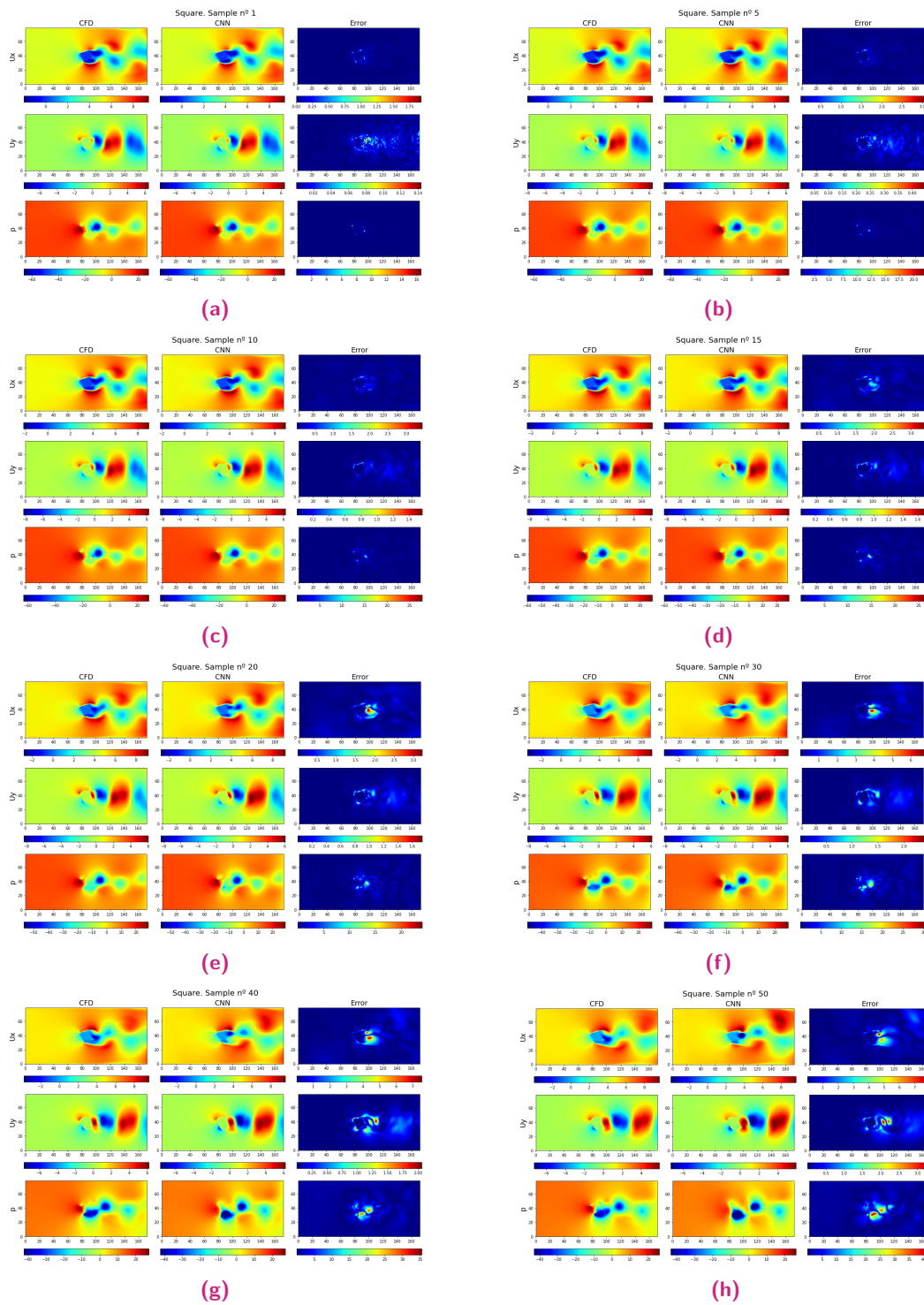


Figura 5.11: Predicciones del cuadrado de las muestras número: a) 1, b) 5, c) 10, d) 15, e) 20, f) 30, g) 40, h) 50.

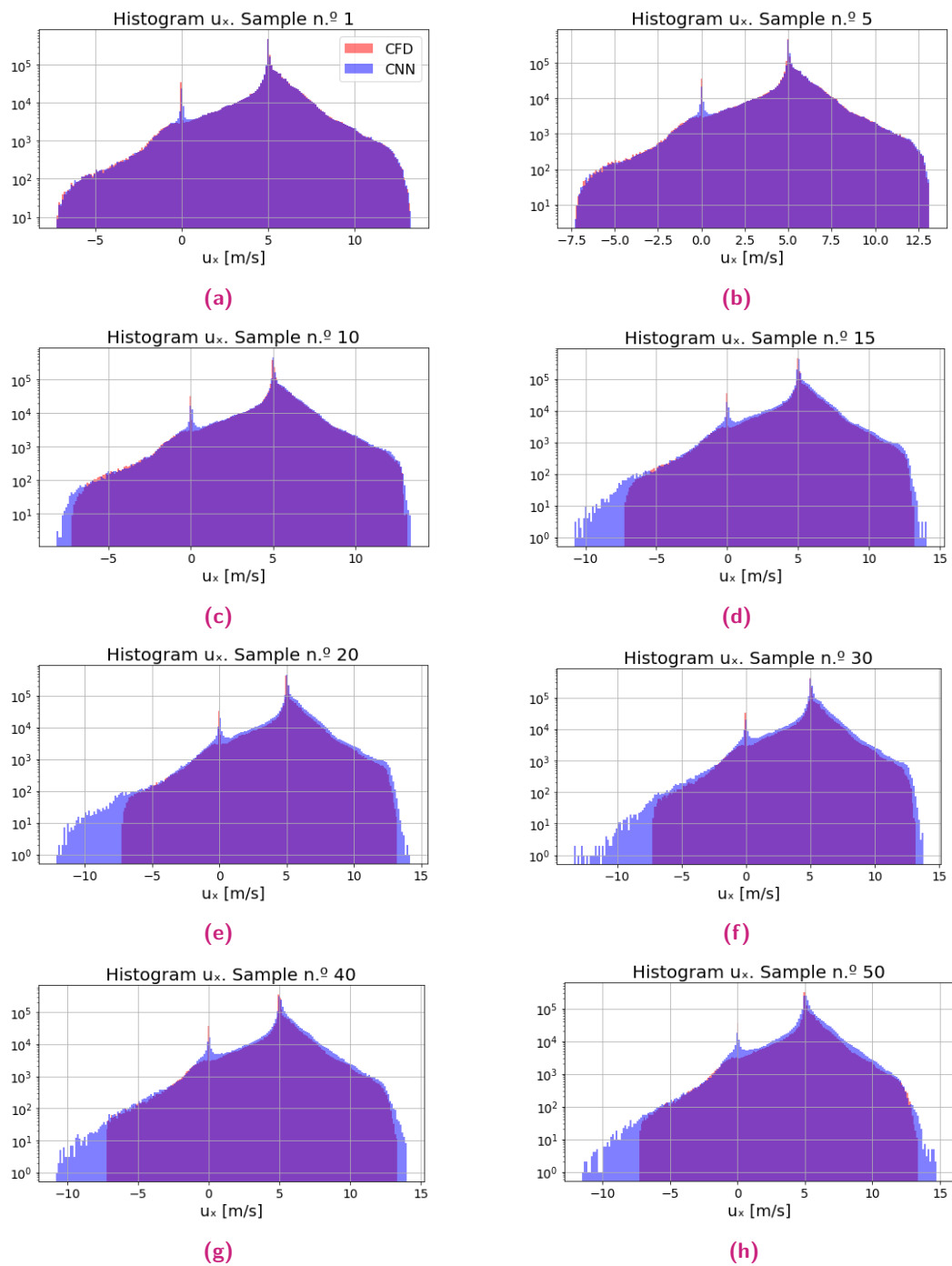


Figura 5.12: Histogramas de la distribución de los datos de CFD y de la CNN del campo de velocidad paralela al flujo para las muestras número: a) 1, b) 5, c) 10, d) 15, e) 20, f) 30, g) 40 y h) 50.

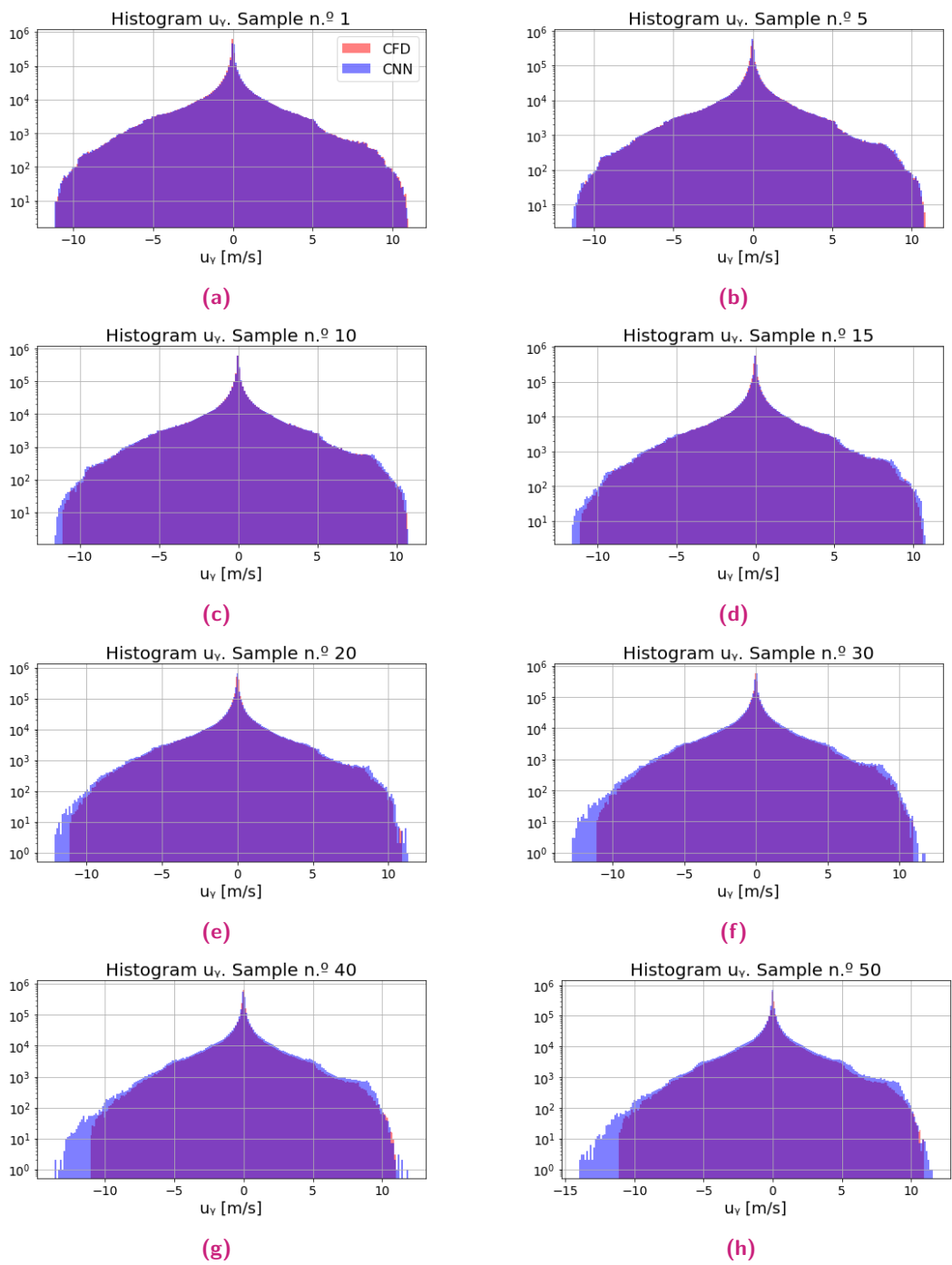


Figura 5.13: Histogramas de la distribución de los datos de CFD y de la CNN del campo de velocidad vertical para las muestras número: a) 1, b) 5, c) 10, d) 15, e) 20, f) 30, g) 40 y h) 50.

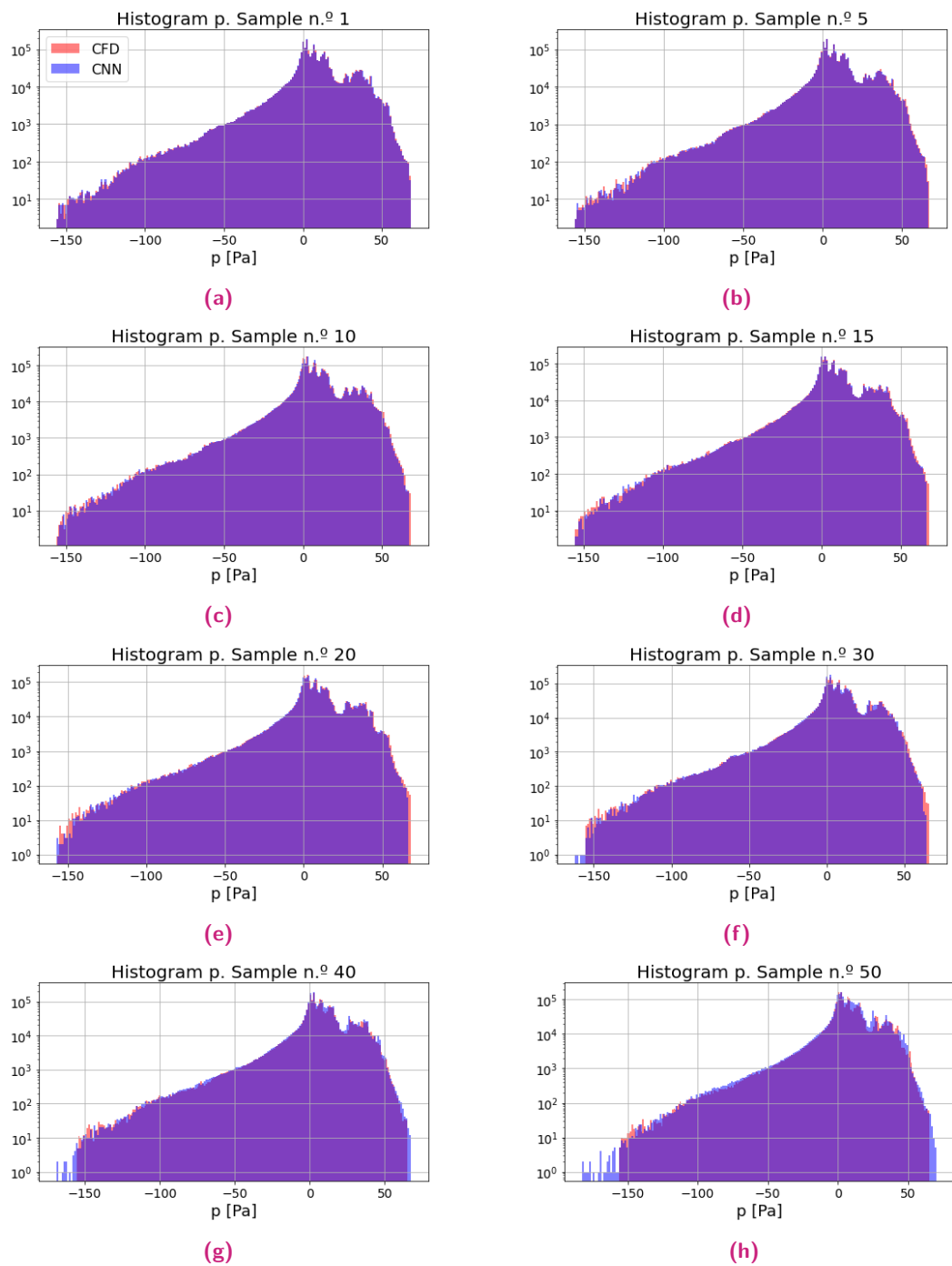


Figura 5.14: Histogramas de la distribución de los datos de CFD y de la CNN del campo de presión para las muestras número: a) 1, b) 5, c) 10, d) 15, e) 20, f) 30, g) 40 y h) 50.

- Número de épocas: 2000

Esta combinación es la adecuada, puesto que se trata del mejor modelo para la velocidad paralela al flujo y la presión y el segundo mejor, para la velocidad vertical. Cada modelo neuronal ha sido ejecutado con las mismas muestras para entrenamiento y test.

Arqui- tectura	Tamaño ventana	Lr	Batch size	N.º épocas	Duración entrena- miento (min)	Error medio v_x (m/s)	Error máx. v_x (m/s)
[8, 16, 16, 32, 32]	3	0,001	32	2000	19,66	0,0528	2,4436
[8, 16, 32, 32]	5	0,001	32	2000	22,33	0,0550	2,5234
[8, 16, 16, 32, 32]	5	0,001	32	2000	21,60	0,0678	3,0944
[8, 16, 32, 32]	3	0,001	32	2000	19,45	0,0698	3,2475
[8, 16, 32, 32]	7	0,001	32	1000	13,84	0,0705	2,5926
[8, 16, 32, 32]	9	0,0001	32	2000	37,20	0,0707	2,9895
[8, 16, 16, 32, 32]	5	0,001	32	1000	10,88	0,0746	2,9101
[8, 16, 32, 32]	7	0,0001	32	2000	27,85	0,0793	4,3594
[8, 16, 32, 32]	3	0,001	128	2000	17,02	0,0811	4,0057
[8, 16, 16, 32, 32]	9	0,0001	32	2000	34,19	0,0831	3,7460

Tabla 5.7: 10 mejores entrenamientos para la velocidad paralela al flujo.

Arqui- tectura	Tamaño ventana	Lr	Batch size	N.º épocas	Duración entrena- miento (min)	Error medio v_y (m/s)	Error máx. v_y (m/s)
[8, 16, 32, 32]	7	0,0001	32	2000	27,85	0,0281	2,2092
[8, 16, 16, 32, 32]	3	0,001	32	2000	19,66	0,0288	2,6517

Arqui- tectura	Tamaño ventana	Lr	Batch size	N.º épocas	Duración entrena- miento (min)	Error medio v_y (m/s)	Error máx. v_y (m/s)
[8, 16, 32, 32]	5	0,001	32	2000	22,33	0,0292	2,4026
[8, 16, 32, 32]	7	0,001	32	1000	13,84	0,0310	2,4049
[8, 16, 32, 32]	3	0,001	32	2000	19,45	0,0333	3,9388
[8, 16, 32, 32]	5	0,001	64	2000	20,31	0,0343	2,6450
[8, 16, 16, 32, 32]	5	0,001	32	2000	21,60	0,0353	2,0954
[8, 16, 32, 32]	9	0,0001	32	2000	37,20	0,0365	2,2067
[8, 16, 32, 32]	5	0,001	32	1000	11,19	0,0371	1,8295
[8, 16, 16, 32, 32]	7	0,001	32	1000	12,88	0,0397	4,2255

Tabla 5.8: 10 mejores entrenamientos para la velocidad vertical.

Arqui- tectura	Tamaño ventana	Lr	Batch size	N.º épocas	Duración entrena- miento (min)	Error medio p (Pa)	Error máx. p (Pa)
[8, 16, 16, 32, 32]	3	0,001	32	2000	19,66	0,2474	16,1953
[8, 16, 32, 32]	7	0,001	32	1000	13,84	0,2604	18,4768
[8, 16, 32, 32]	5	0,001	32	2000	22,33	0,2643	16,4145
[8, 16, 16, 32, 32]	9	0,001	64	2000	32,99	0,2736	19,4038
[8, 16, 16, 32, 32]	5	0,001	32	2000	21,60	0,2770	22,1191
[8, 16, 32, 32]	5	0,001	64	2000	20,31	0,2814	17,5238
[8, 16, 32, 32]	3	0,001	32	2000	19,45	0,3048	17,0342

Arqui- tectura	Tamaño ventana	Lr	Batch size	N.º épocas	Duración entrena- miento (min)	Error medio p (Pa)	Error máx. p (Pa)
[8, 16, 32, 32]	7	0,0001	32	2000	27,85	0,3080	23,0767
[8, 16, 16, 32, 32]	9	0,0001	32	2000	34,19	0,3269	27,6613
[8, 16, 32, 32]	5	0,001	32	1000	11,19	0,3314	19,8795

Tabla 5.9: 10 mejores entrenamientos para la presión.

En la figura 5.15 se muestra una predicción del modelo escogido para cada una de las geometrías analizadas. Para evaluar cuantitativamente la precisión del modelo neuronal, mediante la tabla 5.10 se muestran los valores de la media aritmética y la desviación estándar de las simulaciones con CFD y con la CNN. Asimismo, en la figura 5.16 se muestra la distribución de los valores de los campos analizados obtenidos con la CFD y la CNN. Ambas permiten alcanzar la conclusión de que el modelo neuronal es considerablemente preciso con respecto a las simulaciones CFD.

Método	CFD			CNN		
	v_x (m/s)	v_y (m/s)	p (Pa)	v_x (m/s)	v_y (m/s)	p (Pa)
Media						
aritmética (μ)	5,0674	-0,0644	5,9574	5,0414	-0,0628	6,0475
Desviación						
estándar (σ)	1,6867	1,5074	15,0737	1,6797	1,5142	15,0853

Tabla 5.10: Media aritmética y desviación estándar de las predicciones de la CNN de la primera muestra y de las simulaciones CFD de la muestra inicial.

5.4 Análisis del coste computacional

En esta sección se lleva a cabo la comparativa de los tiempos computacionales necesarios para obtener los resultados de los campos de velocidades y de presión mediante las simulaciones CFD y las predicciones de los modelos neuronales.

En el caso de los modelos neuronales que predicen los instantes futuros del fluido con velocidad de entrada variable, el tiempo de entrenamiento ha sido de 6,73, 9,41 y 7,26 horas, dando un total de 23,40 horas de entrenamiento. La predicción de

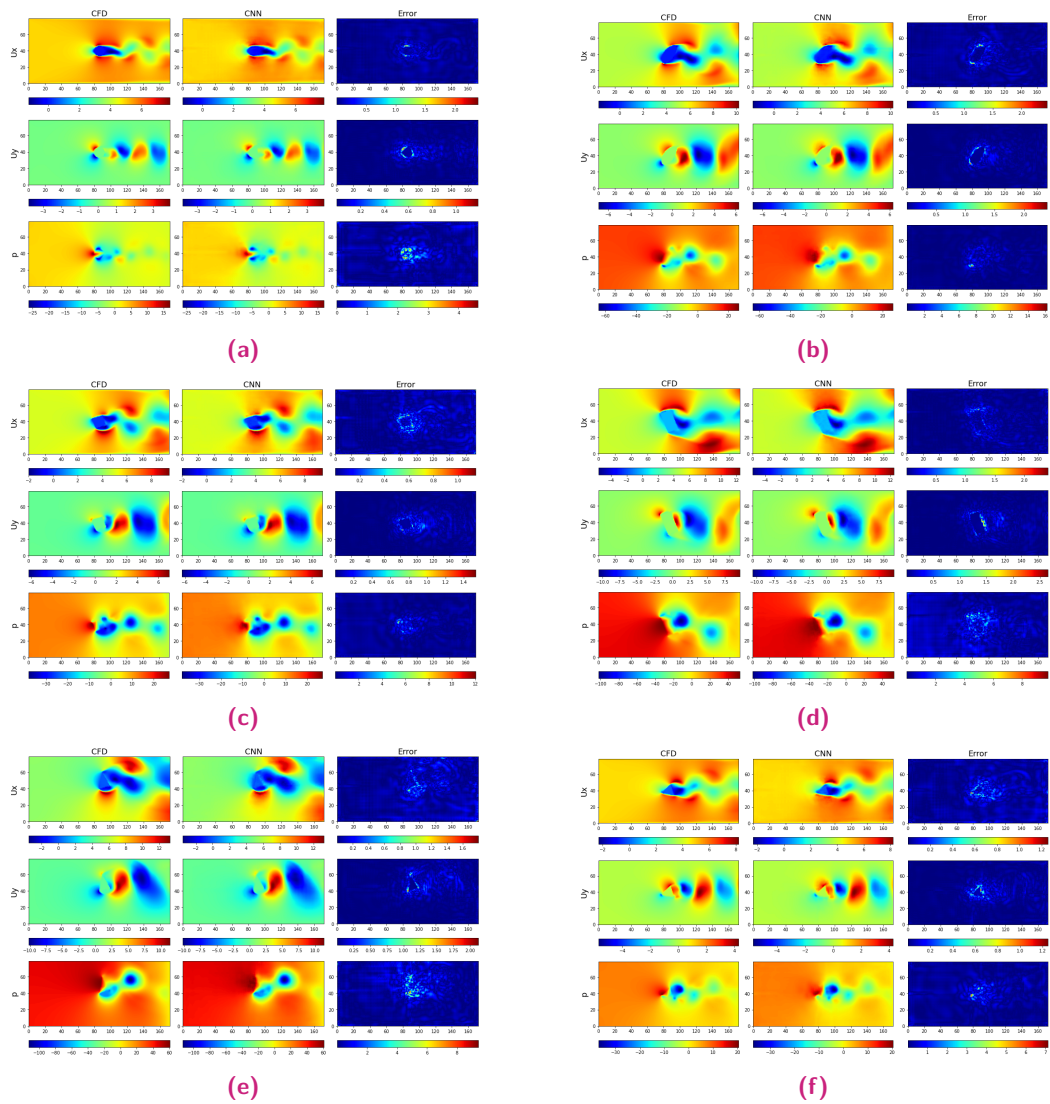


Figura 5.15: Predicciones de la CNN para a) círculo, b) cilindro, c) cuadrado, d) rectángulo, e) triángulo y f) triángulo equilátero.

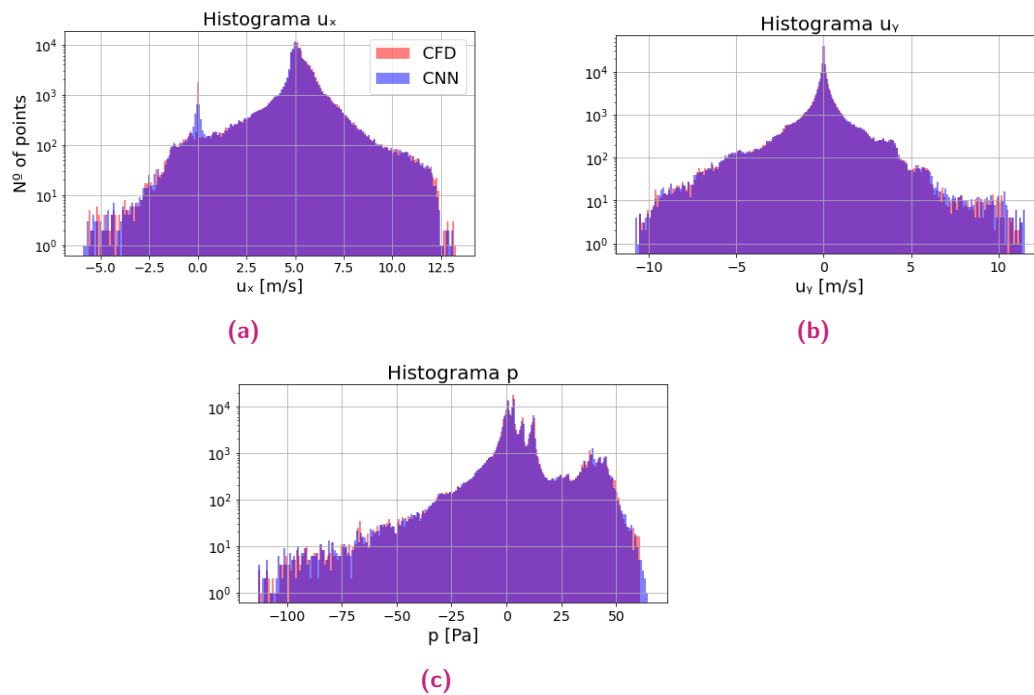


Figura 5.16: Distribución de los datos para: a) v_x , b) v_y y c) p .

50 instantes tarda 1,56, 3,21 y 1,84 segundos. El entrenamiento de los modelos neuronales de la red que predice los instantes futuros para geometrías variables, proporciona unos tiempos de entrenamiento de 2,60, 1,45 y 2,72 horas, dando un total de 6,77 horas. La predicción de 50 instantes lleva 1,76, 3,77 y 6,06 segundos. Por último, el modelo neuronal que predice el instante inicial ha sido entrenado durante 19,66 minutos y las predicciones son de 0,08 segundos. En la tabla [5.11](#) se muestran las comparativas de la duración de las predicciones por parte de los modelos neuronales con respecto a la duración de las simulaciones CFD. En el caso de las predicciones de las muestras futuras, se compara el tiempo necesario para predecir 50 muestras de las tres variables. Para la predicción de la muestra inicial, se compara el tiempo necesario para predecir una única muestra. Además, se ha de tener en cuenta el tiempo ahorrado gracias a la aplicación de la técnica de *data augmentation*, ya que evita la generación de un mayor número de simulaciones CFD. Esta técnica ahorra la generación de 50 nuevas simulaciones por cada geometría, que se traduce en un ahorro aproximado de 120 segundos por geometría.

Red	Duración simulaciones CFD (s)	Duración predicciones (s)	Reducción de tiempo
Velocidades de entrada variables	540,00	6,61	81,69
Geometrías variables	720,00	11,59	62,12
Muestra inicial	720,00	0,08	9000

Tabla 5.11: Comparación del tiempo de cálculo de los campos de velocidades paralela al flujo y vertical y de presión.

Conclusiones y trabajos futuros

6.1 Discusión general

Las simulaciones CFD son de gran utilidad para el estudio del comportamiento de los flujos turbulentos al enfrentarse a determinadas geometrías. No obstante, el coste computacional de estas simulaciones es demasiado elevado para ciertas aplicaciones en las que se requieren resultados rápidos. Asimismo, la precisión de estas simulaciones dependen también de la influencia que tiene el usuario en la generación del mallado y el modelo de turbulencia. Las técnicas de DL, como numerosos estudios demuestran, son eficaces para lograr aproximaciones rápidas y relativamente precisas.

En este estudio, se ha demostrado la flexibilidad de la estructura U-Net en su aplicación a diferentes situaciones fluido dinámicas. Esta estructura es capaz de predecir los campos de velocidades paralela al flujo y vertical y de presión para características variables del flujo. Asimismo, se demuestra no solo la capacidad de predecir una muestra de las variables analizadas, sino que se logra predecir, con errores relativamente pequeños hasta un número concreto de muestras, los instantes futuros del fluido.

6.2 Conclusiones específicas

En primer lugar, se han logrado unas aproximaciones relativamente precisas de los campos de velocidades paralela al flujo y vertical y de presión con una geometría circular y velocidad de entrada del fluido variable durante 20 instantes, partiendo de una inicial. A partir de la muestra 20, aparece un destacado incremento de los errores absolutos, especialmente en la velocidad paralela al flujo y en las velocidades de entrada más elevadas. En la velocidad vertical y la presión, las aproximaciones son generalmente más fidedignas, incluso para las muestras de los instantes más avanzados.

En el caso de la predicción de los instantes futuros de las geometrías variables, ocurre de forma similar al de la velocidad de entrada variable. Hasta la muestra del instante número 20, las predicciones son relativamente fiables. Los errores son más elevados en la velocidad paralela al flujo, que en la velocidad vertical y la presión. En este caso, los vórtices son captados adecuadamente, quedando las mayores tasas de error en las zonas contiguas a las geometrías.

Se confirma que la técnica de *data augmentation* empleada es eficaz para incrementar el número de muestras necesarias para el entrenamiento, de forma que no sea necesario llevar a cabo nuevas simulaciones CFD para el aumento de los datos. Gracias a ello, el modelo neuronal generado predice con precisión los campos de velocidades paralela al flujo, vertical y de presión.

Respecto al objetivo de reducir el coste computacional, el primer modelo neuronal predice 81,69 veces más rápido, el segundo 62,12 veces y el tercero, 9000. En los tres casos se cumple el objetivo de reducir el coste computacional, pero gracias a la técnica de *data augmentation* aplicada, en la predicción de la primera muestra el coste computacional se reduce drásticamente.

6.3 Líneas de trabajo futuras

El campo de la aplicación de DL a las simulaciones CFD es muy amplio. Son muchas y variadas las características fluido-dinámicas con las que se puede trabajar. El comportamiento del fluido varía ampliamente según el tipo de fluido estudiado y sus magnitudes de temperatura, densidad, velocidad, número de Reynolds...

Respecto a futuros estudios, cabe la posibilidad de aplicar la CNN con estructura U-Net a geometría con un comportamiento aerodinámico superior, como los perfiles aerodinámicos. Otro posible enfoque correspondería con la aplicación de técnicas de DL para predecir la mejor forma de un perfil aerodinámico con un flap de Gurney añadido, en busca de la optimización aerodinámica.

7.1 Presupuesto

Concepto	Amortización ordenador portátil	Amortización ordenador remoto
Coste producto	1000 €	3000 €
Tiempo de amortización	4 años	4 años
Tiempo de trabajo	1700 horas/año	1700 horas/año
Tiempo de trabajo total	6800 horas	6800 horas
Coste por hora	0,15 €/hora	0,44 €/hora

Tabla 7.1: Amortizaciones.

Concepto	Coste unitario	Cantidad	Coste total	Porcentaje
Costes directos			25630,20 €	72,46 %
Coste tiempo invertido	50 €/hora	420 horas	21000,00 €	81,93 %
Coste simulaciones CFD	400 €/sim.	11 sim.	4400,00 €	17,17 %
Amortización ordenador portátil	0,15 €/hora	420 horas	63,00 €	0,25 %
Amortización ordenador remoto	0,44 €/hora	380 horas	167,20 €	0,65 %
Costes indirectos			3844,53 €	10,87 %
		15 % directos	3844,53 €	100,00 %
TOTAL Costes			29474,73 €	
Beneficio industrial			5894,95 €	16,67 %
		20 % costes	5894,95 €	100,00 %
TOTAL			35369,68 €	100,00 %
IVA		21 % total	7427,63 €	
TOTAL + IVA			42797,31 €	

Tabla 7.2: Presupuesto.

7.2 Planificación

Tarea	2022												2023																											
	Octubre				Noviembre				Diciembre				Enero				Febrero				Marzo				Abril				Mayo				Junio							
	1	2	3	4	1	2	3	4	1	2	3	4	1	2	3	4	1	2	3	4	1	2	3	4	1	2	3	4	1	2	3	4	1	2	3	4				
CNN para velocidades de entrada variables																																								
Estado del arte de CFD	■																																							
Desarrollo de la aplicación	■				■																																			
Tests iniciales					■				■																															
Solución									■				■				■																							
Análisis de resultados									■				■				■				■																			
Documentación													■				■				■				■															
CNN para geometrías variables																																								
Estado del arte de CFD																	■				■																			
Desarrollo de la aplicación																	■				■				■															
Tests iniciales																					■				■															
Solución																									■				■											
Análisis de resultados																									■				■											
Documentación																													■				■							
Documentación final																																								
Documentación final																																	■				■			

Referencias bibliográficas

- [1]Alvaro Abucide-Armas, Koldo Portal-Porras, Unai Fernandez-Gamiz, Ekaitz Zulueta y Adrian Teso-Fz-Betoño. „A Data Augmentation-Based Technique for Deep Learning Applied to CFD Simulations“. En: *Mathematics* 9.16 (4 de ago. de 2021), pág. 1843 (vid. págs. [16](#), [29](#)).
- [2]Lionel Agostini. „Exploration and prediction of fluid dynamical systems using auto-encoder technology“. En: *Physics of Fluids* 32.6 (1 de jun. de 2020), pág. 067103 (vid. pág. [16](#)).
- [3]Saad Albawi, Tareq Abed Mohammed y Saad Al-Zawi. „Understanding of a convolutional neural network“. En: *2017 International Conference on Engineering and Technology (ICET)*. 2017 International Conference on Engineering and Technology (ICET). Antalya: IEEE, ago. de 2017, págs. 1-6 (vid. pág. [12](#)).
- [4]Iñigo Aramendia, Unai Fernandez-Gamiz, Ekaitz Zulueta Guerrero, Jose Lopez-Guede y Javier Sancho. „Power Control Optimization of an Underwater Piezoelectric Energy Harvester“. En: *Applied Sciences* 8.3 (7 de mar. de 2018), pág. 389 (vid. pág. [18](#)).
- [5]Han Bao, Jinyong Feng, Nam Dinh y Hongbin Zhang. „Computationally efficient CFD prediction of bubbly flow using physics-guided deep learning“. En: *International Journal of Multiphase Flow* 131 (oct. de 2020), pág. 103378 (vid. pág. [15](#)).
- [6]Alejandro Barredo Arrieta, Natalia Díaz-Rodríguez, Javier Del Ser et al. „Explainable Artificial Intelligence (XAI): Concepts, taxonomies, opportunities and challenges toward responsible AI“. En: *Information Fusion* 58 (jun. de 2020), págs. 82-115 (vid. pág. [1](#)).
- [7]Richard Bellman. *An introduction to artificial intelligence: can computers think?* San Francisco: Boyd & Fraser Pub. Co, 1978. 146 págs. (vid. pág. [5](#)).
- [8]Eugene Charniak y Drew V. McDermott. *Introduction to artificial intelligence*. Reading, Mass: Addison-Wesley, 1985. 701 págs. (vid. pág. [5](#)).
- [9]Liang Deng, Yueqing Wang, Yang Liu et al. „A CNN-based vortex identification method“. En: *Journal of Visualization* 22.1 (feb. de 2019), págs. 65-78 (vid. pág. [15](#)).
- [10]Rui Fang, David Sondak, Pavlos Protopapas y Sauro Succi. „Deep learning for turbulent channel flow“. En: *arXiv:1812.02241 [physics]* (5 de dic. de 2018). arXiv: [1812.02241](#) (vid. pág. [16](#)).
- [11]Peter A. Flach. *Machine learning: the art and science of algorithms that make sense of data*. OCLC: ocn795181906. Cambridge ; New York: Cambridge University Press, 2012. 396 págs. (vid. pág. [6](#)).

- [12]M.W Gardner y S.R Dorling. „Artificial neural networks (the multilayer perceptron)—a review of applications in the atmospheric sciences“. En: *Atmospheric Environment* 32.14 (ago. de 1998), págs. 2627-2636 (vid. pág. [11](#)).
- [13]Francisco J. Gonzalez y Maciej Balajewicz. „Deep convolutional recurrent autoencoders for learning low-dimensional feature dynamics of fluid systems“. En: *arXiv:1808.01346 [physics]* (22 de ago. de 2018). arXiv: [1808.01346](#) (vid. pág. [16](#)).
- [14]Ian Goodfellow, Yoshua Bengio y Aaron Courville. *Deep learning*. Adaptive computation and machine learning. Cambridge, Massachusetts: The MIT Press, 2016. 775 págs. (vid. pág. [11](#)).
- [15]Ian J. Goodfellow, Jean Pouget-Abadie, Mehdi Mirza et al. *Generative Adversarial Networks*. arXiv:1406.2661. type: article. arXiv, 10 de jun. de 2014. arXiv: [1406.2661\[cs,stat\]](#) (vid. pág. [12](#)).
- [16]Xiaoxiao Guo, Wei Li y Francesco Iorio. „Convolutional Neural Networks for Steady Flow Approximation“. En: *Proceedings of the 22nd ACM SIGKDD International Conference on Knowledge Discovery and Data Mining*. KDD '16: The 22nd ACM SIGKDD International Conference on Knowledge Discovery and Data Mining. San Francisco California USA: ACM, 13 de ago. de 2016, págs. 481-490 (vid. págs. [13](#), [15](#), [16](#), [23](#)).
- [17]Botros N. Hanna, Nam T. Dinh, Robert W. Youngblood e Igor A. Bolotnov. „Coarse-Grid Computational Fluid Dynamic (CG-CFD) Error Prediction using Machine Learning“. En: *arXiv:1710.09105 [physics]* (25 de oct. de 2017). arXiv: [1710.09105](#) (vid. pág. [15](#)).
- [18]John Haugeland. *Artificial intelligence: the very idea*. 6. print. Bradford books. Cambridge, Mass.: MIT Press, 1993. 287 págs. (vid. pág. [5](#)).
- [19]G. Iaccarino, A. Ooi, P.A. Durbin y M. Behnia. „Reynolds averaged simulation of unsteady separated flow“. En: *International Journal of Heat and Fluid Flow* 24.2 (abr. de 2003), págs. 147-156 (vid. pág. [18](#)).
- [20]D. Jakhar e I. Kaur. „Artificial intelligence, machine learning and deep learning: definitions and differences“. En: *Clinical and Experimental Dermatology* 45.1 (ene. de 2020), págs. 131-132 (vid. pág. [7](#)).
- [21]Ali Kashеfi, Davis Rempe y Leonidas J. Guibas. „A Point-Cloud Deep Learning Framework for Prediction of Fluid Flow Fields on Irregular Geometries“. En: *Physics of Fluids* 33.2 (1 de feb. de 2021), pág. 027104. arXiv: [2010.09469](#) (vid. pág. [15](#)).
- [22]Ryan King, Oliver Hennigh, Arvind Mohan y Michael Chertkov. „From Deep to Physics-Informed Learning of Turbulence: Diagnostics“. En: *arXiv:1810.07785 [nlin, physics:physics, stat]* (5 de dic. de 2018). arXiv: [1810.07785](#) (vid. pág. [16](#)).
- [23]Diederik P. Kingma y Jimmy Ba. „Adam: A Method for Stochastic Optimization“. En: (2014). Publisher: arXiv Version Number: 9 (vid. pág. [24](#)).
- [24]Max Kuhn y Kjell Johnson. *Applied predictive modeling*. OCLC: ocn827083441. New York: Springer, 2013. 600 págs. (vid. pág. [9](#)).
- [25]Ray Kurzweil. *The age of intelligent machines*. 3. print. Cambridge, Mass: MIT Press, 1999. 565 págs. (vid. pág. [5](#)).
- [26]Yann LeCun, Yoshua Bengio y Geoffrey Hinton. „Deep learning“. En: *Nature* 521.7553 (28 de mayo de 2015), págs. 436-444 (vid. pág. [7](#)).

- [27] Sangseung Lee y Donghyun You. „Prediction of laminar vortex shedding over a cylinder using deep learning“. En: *arXiv:1712.07854 [physics]* (21 de dic. de 2017). arXiv: [1712.07854](https://arxiv.org/abs/1712.07854) (vid. pág. 15).
- [28] Jichao Li, Xiaosong Du y Joaquim R. R. A. Martins. *Machine Learning in Aerodynamic Shape Optimization*. arXiv:2202.07141. type: article. arXiv, 14 de feb. de 2022. arXiv: [2202.07141 \[physics\]](https://arxiv.org/abs/2202.07141) (vid. pág. 1).
- [29] Julia Ling, Andrew Kurzawski y Jeremy Templeton. „Reynolds averaged turbulence modelling using deep neural networks with embedded invariance“. En: *Journal of Fluid Mechanics* 807 (25 de nov. de 2016), págs. 155-166 (vid. pág. 15).
- [30] Yang Liu, Yutong Lu, Yueqing Wang et al. „A CNN-based shock detection method in flow visualization“. En: *Computers & Fluids* 184 (abr. de 2019), págs. 1-9 (vid. pág. 15).
- [31] Ilya Loshchilov y Frank Hutter. „Decoupled Weight Decay Regularization“. En: (2017). Publisher: arXiv Version Number: 3 (vid. pág. 24).
- [32] *MATLAB - MathWorks*. URL: <https://www.mathworks.com/products/matlab.html> (visitado 20 de nov. de 2022) (vid. pág. 23).
- [33] Romit Maulik, Bethany Lusch y Prasanna Balaprakash. „Reduced-order modeling of advection-dominated systems with recurrent neural networks and convolutional autoencoders“. En: *Physics of Fluids* 33.3 (1 de mar. de 2021), pág. 037106. arXiv: [2002.00470](https://arxiv.org/abs/2002.00470) (vid. pág. 16).
- [34] Arvind Mohan, Don Daniel, Michael Chertkov y Daniel Livescu. „Compressed Convolutional LSTM: An Efficient Deep Learning framework to Model High Fidelity 3D Turbulence“. En: *arXiv:1903.00033 [nlin, physics:physics]* (4 de mar. de 2019). arXiv: [1903.00033](https://arxiv.org/abs/1903.00033) (vid. pág. 16).
- [35] Nils J. Nilsson. *Artificial intelligence: a new synthesis*. 5th print. San Francisco, Calif: Kaufmann, 2003. 513 págs. (vid. pág. 6).
- [36] Hashem Nowruzi, Hassan Ghassemi y Mahmoud Ghiasi. „Performance predicting of 2D and 3D submerged hydrofoils using CFD and ANNs“. En: *Journal of Marine Science and Technology* 22.4 (dic. de 2017), págs. 710-733 (vid. pág. 16).
- [37] David L. Poole, Alan K. Mackworth y Randy Goebel. *Computational intelligence: a logical approach*. New York: Oxford University Press, 1998. 558 págs. (vid. pág. 6).
- [38] Koldo Portal-Porras, Unai Fernandez-Gamiz, Ainara Ugarte-Anero, Ekaitz Zulueta y Asier Zulueta. „Alternative Artificial Neural Network Structures for Turbulent Flow Velocity Field Prediction“. En: *Mathematics* 9.16 (14 de ago. de 2021), pág. 1939 (vid. pág. 16).
- [39] Mateus Dias Ribeiro, Abdul Rehman, Sheraz Ahmed y Andreas Dengel. „DeepCFD: Efficient Steady-State Laminar Flow Approximation with Deep Convolutional Neural Networks“. En: *arXiv:2004.08826 [physics]* (2 de mayo de 2020). arXiv: [2004.08826](https://arxiv.org/abs/2004.08826) (vid. págs. 15, 19).
- [40] Elaine Rich y Kevin Knight. *Artificial intelligence*. 2. ed. New York: McGraw-Hill, 1991. 621 págs. (vid. pág. 5).

- [41] Olaf Ronneberger, Philipp Fischer y Thomas Brox. „U-Net: Convolutional Networks for Biomedical Image Segmentation“. En: *Medical Image Computing and Computer-Assisted Intervention – MICCAI 2015*. Ed. por Nassir Navab, Joachim Hornegger, William M. Wells y Alejandro F. Frangi. Vol. 9351. Series Title: Lecture Notes in Computer Science. Cham: Springer International Publishing, 2015, págs. 234-241 (vid. págs. [16](#), [19](#)).
- [42] Stuart J. Russell, Peter Norvig y Ernest Davis. *Artificial intelligence: a modern approach*. 3rd ed. Prentice Hall series in artificial intelligence. Upper Saddle River: Prentice Hall, 2010. 1132 págs. (vid. pág. [5](#)).
- [43] Alex Sherstinsky. „Fundamentals of Recurrent Neural Network (RNN) and Long Short-Term Memory (LSTM) network“. En: *Physica D: Nonlinear Phenomena* 404 (mar. de 2020), pág. 132306 (vid. pág. [12](#)).
- [44] Siemens Software. URL: <https://www.plm.automation.siemens.com/global/en/> (visitado 20 de nov. de 2022) (vid. págs. [18](#), [26](#)).
- [45] Nitish Srivastava, Geoffrey Hinton, Alex Krizhevsky, Ilya Sutskever y Ruslan Salakhutdinov. „Dropout: a simple way to prevent neural networks from overfitting“. En: *The journal of machine learning research* 15.1 (2014). Publisher: JMLR. org, págs. 1929-1958 (vid. pág. [11](#)).
- [46] Jun Tao y Gang Sun. „Application of deep learning based multi-fidelity surrogate model to robust aerodynamic design optimization“. En: *Aerospace Science and Technology* 92 (sep. de 2019), págs. 722-737 (vid. pág. [14](#)).
- [47] Nils Thuerey, Konstantin Weißenow, Lukas Prantl y Xiangyu Hu. „Deep Learning Methods for Reynolds-Averaged Navier–Stokes Simulations of Airfoil Flows“. En: *AIAA Journal* 58.1 (ene. de 2020), págs. 25-36 (vid. pág. [16](#)).
- [48] Jordi Torres. *Python deep learning: introducción práctica con Keras y TensorFlow 2*. OCLC: 1148195914. Barcelona: Marcombo, 2020 (vid. pág. [6](#)).
- [49] Sun-Chong Wang. *Interdisciplinary Computing in Java Programming*. OCLC: 852790067. Boston, MA: Springer US, 2003 (vid. pág. [6](#)).
- [50] John F. Wendt, John D. Anderson y Von Karman Institute for Fluid Dynamics, eds. *Computational fluid dynamics: an introduction*. 3rd ed. OCLC: ocn288984495. Berlin ; [London]: Springer, 2008. 332 págs. (vid. pág. [14](#)).
- [51] Patrick Henry Winston. *Artificial intelligence*. 3rd ed. Reading, Mass: Addison-Wesley Pub. Co, 1992. 737 págs. (vid. pág. [5](#)).
- [52] Xinghui Yan, Jihong Zhu, Minchi Kuang y Xiangyang Wang. „Aerodynamic shape optimization using a novel optimizer based on machine learning techniques“. En: *Aerospace Science and Technology* 86 (mar. de 2019), págs. 826-835 (vid. pág. [15](#)).
- [53] Li Yang y Abdallah Shami. „On Hyperparameter Optimization of Machine Learning Algorithms: Theory and Practice“. En: *Neurocomputing* 415 (nov. de 2020), págs. 295-316. arXiv: [2007.15745\[cs, stat\]](https://arxiv.org/abs/2007.15745) (vid. pág. [9](#)).
- [54] Xinshuai Zhang, Fangfang Xie, Tingwei Ji, Zaoxu Zhu y Yao Zheng. „Multi-fidelity deep neural network surrogate model for aerodynamic shape optimization“. En: *Computer Methods in Applied Mechanics and Engineering* 373 (ene. de 2021), pág. 113485 (vid. pág. [14](#)).

**MÁSTER UNIVERSITARIO EN INGENIERÍA DE CONTROL,
AUTOMATIZACIÓN Y ROBÓTICA**

TRABAJO FIN DE MÁSTER

ANEXO A: ESQUEMAS Y PROGRAMAS FUENTE

***DISEÑO Y SIMULACIÓN INTELIGENTES DE
SISTEMAS FLUIDODINÁMICOS EN ESTADO NO
ESTACIONARIO MEDIANTE DEEP LEARNING***

Estudiante	Abucide, Armas, Álvaro
Director/Directora	Zulueta, Guerrero, Ekaitz
Departamento	Ingeniería de Sistemas y Automática
Curso académico	2022-2023

Bilbao, 10 de julio de 2023

A.1 Carga de archivos CSV e interpolación

```
1 import pickle
2 import matplotlib.pyplot as plt
3 from scipy.io import loadmat
4 import numpy as np
5 # from functions.create_dataX_function import create_dataX
6 # from functions.load_CSVfunc_TIME import loadCSV
7 # from functions.load_CSVfunc_fromHardDisc import loadCSV
8 from scipy.interpolate import griddata
9
10 import pandas as pd
11 from os import listdir
12 from pathlib import Path
13 import csv
14 from numba import njit
15
16 @njit
17 def visualize3(sample_y, s):
18
19     minu = np.min(sample_y[s, 0, :, :])
20     maxu = np.max(sample_y[s, 0, :, :])
21
22     minv = np.min(sample_y[s, 1, :, :])
23     maxv = np.max(sample_y[s, 1, :, :])
24
25     minp = np.min(sample_y[s, 2, :, :])
26     maxp = np.max(sample_y[s, 2, :, :])
27
28     plt.figure()
29     fig = plt.gcf()
30     fig.set_size_inches(15, 10)
31     plt.suptitle("Time instant " + str(s+1), fontsize=20)
32     plt.subplot(3, 1, 1)
33     plt.title('CFD', fontsize=18)
```

```

34 plt.imshow((sample_y[s, 0, :, :]), cmap='jet', vmin = minu,
   ↪  vmax = maxu, origin='lower', extent=[0,172,0,79])
35 plt.colorbar(orientation='horizontal')
36 plt.ylabel('Ux', fontsize=18)
37
38 plt.subplot(3, 1, 2)
39 plt.imshow((sample_y[s, 1, :, :]), cmap='jet', vmin = minv,
   ↪  vmax = maxv, origin='lower', extent=[0,172,0,79])
40 plt.colorbar(orientation='horizontal')
41 plt.ylabel('Uy', fontsize=18)
42
43
44 plt.subplot(3, 1, 3)
45 plt.imshow((sample_y[s, 2, :, :]), cmap='jet', vmin = minp,
   ↪  vmax = maxp, origin='lower', extent=[0,172,0,79])
46 plt.colorbar(orientation='horizontal')
47 plt.ylabel('p', fontsize=18)
48 plt.tight_layout()
49 plt.show()
50
51 def data_manip(dataY):
52
53     Y=np.zeros([len(dataY),3,81,174])
54     for i in range(len(dataY)):
55         for j in range (3):
56             points=dataY[i][:,4:6] #X e Y.
57             values=dataY[i][:,j] #Pressure, velocity[i],
   ↪  velocity[j]
58
59             # Interpolación:
60             grid_x,
   ↪  grid_y=np.mgrid[min(points[:,0]):max(points[:,0]):174j,
   ↪  min(points[:,1]):max(points[:,1]):81j]
61             data_interpolated=griddata(points, values, (grid_x,
   ↪  grid_y), method='linear')
62             data_interpolated=np.moveaxis(data_interpolated,0,-1)
63             Y[i,j,:,:]=data_interpolated
64             print("Interpolación n°: " + str(i + 1))
65     Y=Y[:,:,:1:80,1:173]
66     ## Cambiar el orden de pressure y velocities para que estén en
   ↪  la misma forma
67     ## que y en la red neuronal.

```



```

68     ## 1º Velocity[i], 2º Velocity[j], 3º Pressure.
69     Y=Y[:, [1,2,0], :, :]
70
71     return Y
72
73 if __name__=="__main__":
74     dataY=[]
75     for i in range (3000,5001,1):
76         file =
77             ↪ pd.read_csv('./Unai-ANN-Abucide-casos20-25-2alamenos4/'
78             ↪ +             'XYZ_Internal_Table_Datos_25ms__' +
79             ↪ str(i) +
80             .csv', header=0)
81         data_array = file.to_numpy()
82         dataY.append(data_array)
83         print ("Archivo nº" + str(i))
84         print(file)
85     with open('csv_25ms_3000_5000.pkl', 'wb') as f:
86         pickle.dump(dataY, f)

```

A.2 Generar las matrices de SDF y FRC

```

84 function [px, py] = geometry_points_v2(geometry, aug_factor,
85 ↪ size_factor, rotation_angle, position)
86     switch geometry
87         case "circle"
88             rx = 10*172/(180);
89             ry = 10*79/(180);
90             a = 172/2; % Center in x
91             b = 79/2; % Center in y
92             th = 0:pi/50:2*pi;
93             px = rx * cos(th) + a;
94             py = ry * sin(th) + b;
95         case "triangle"
96             px = [89 85 98];
97             py = [59 40 43];
98         case "triangle_eq"
99             px = [77 92 87];
100            py = [37 34 46];
101         case "ellipse"

```

```

101     px = [77 77 78 78 78 79 80 81 82 83 84 85 86 87 88 89
102     ↪ 90 91 92 ...
103     93 94 94 94 95 95 95 95 95 95 95 94 93 92 92 90
104     ↪ 89 88 ...
105     87 86 85 84 83 83 82 81 80 80 79 79 78 78 78];
106     py = [35 34 33 32 31 30 30 29 29 30 30 30 31 32 32 33
107     ↪ 34 35 ...
108     36 37 38 39 40 41 42 43 44 45 46 47 48 49 50 50 51
109     ↪ 51 50 ...
110     50 50 49 48 48 47 46 45 44 43 42 41 40 39 38 37];
111     case "square"
112         px = [77 82 93 89];
113         py = [42 32 36 46];
114     case "rectangle"
115         px = [78 84 96 87];
116         py = [48 26 30 52];
117     otherwise
118         disp("Geometry not considered.")
119     end
120
121     % Cambiar la posición de la figura
122     px = px + position(1);
123     py = py + position(2);
124
125     % Cambiar el tamaño de la figura para el data augmentation
126     p = polyshape(px, py);
127     [cx, cy] = centroid(p);
128     p2 = scale(p, aug_factor, [cx, cy]);
129     px = p2.Vertices(:,1)';
130     py = p2.Vertices(:,2)';
131
132     % Cambiar el tamaño de la figura
133     p = polyshape(px, py);
134     [cx, cy] = centroid(p);
135     p2 = scale(p, size_factor, [cx, cy]);
136     px = p2.Vertices(:,1)';
137     py = p2.Vertices(:,2)';
138
139     % Cambiar la orientación de la figura
140     p = polyshape(px, py);
141     [cx, cy] = centroid(p);
142     p2 = rotate(p, rotation_angle, [cx, cy]);

```

```

139     px = p2.Vertices(:,1)';
140     py = p2.Vertices(:,2)';
141
142 end

143 geometries = ["circle", "ellipse", "rectangle", "square",
144     ↪ "triangle", "triangle_eq"];
145 % aug_factor = linspace(0.93, 1.07, 50);
146 aug_factor = 1;
147 size_factor = 1;
148 rotation_angle = 1;
149 position = [1, 1; 1, 1];
150 for geom = 1:length(geometries)
151     for aug = 1:length(aug_factor)
152         for size = 1:length(size_factor)
153             for rot_angle = 1:length(rotation_angle)
154                 for pos = 1:length(position)
155                     [px, py] = geometry_points_v2(geometries(geom),
156     ↪ aug_factor(aug), size_factor(size), ...
157     ↪ rotation_angle(rot_angle),
158     ↪ position(pos,:));
159                     Z_matrix = sdf(px, py)';
160                     % save("Datos para entrenamiento/SDF_geometrias/" +
161     ↪ geometries(geom) + ".mat", "Z_matrix")
162                     % save("Datos para
163     ↪ entrenamiento/SDF_geometrias_data_augmentation/Test/"
164     ↪ + geometries(geom) + "_" + aug_factor(aug) +
165     ↪ "size_factor" + size_factor(size) + "rot_angle" +
166     ↪ rotation_angle(rot_angle) + "pos_x" +
167     ↪ position(pos,1) + "pos_y" + position(pos,2) +
168     ↪ ".mat", "Z_matrix")
169                     frc = FRC_geometries(px, py)';
170                     figure
171                     imagesc(frc')
172                     % save("Datos para entrenamiento/FRC_geometrias/" +
173     ↪ geometries(geom) + ".mat", "frc")

```

```

163         % save("Datos para
        ↪ entrenamiento/FRC_geometrias_data_augmentation/Test/"
        ↪ + geometries(geom) + "_" + aug_factor(aug) +
        ↪ "size_factor" + size_factor(size) + "rot_angle" +
        ↪ rotation_angle(rot_angle) + "pos_x" +
        ↪ position(pos,1) + "pos_y" + position(pos,2) +
        ↪ ".mat", "frc")
164         end
165     end
166 end
167 end
168 end

```

A.3 *Data augmentation*

Generar los datos adicionales de las entradas de la CNN:

```

169 from scipy.io import loadmat
170 import numpy as np
171 from os import listdir
172 import pickle
173
174 def generate_dataX():
175
176     SDF = []
177     FRC = []
178     filepaths = [f for f in
        ↪ listdir("SDF_geometrias_data_augmentation/Train") if
        ↪ f.endswith('.mat')]
179     for file in filepaths:
180
        ↪ SDF.append(loadmat("SDF_geometrias_data_augmentation/Train/"
        ↪ + file)['Z_matrix'])
181     filepaths = [f for f in
        ↪ listdir("FRC_geometrias_data_augmentation/Train") if
        ↪ f.endswith('.mat')]
182     for file in filepaths:
183
        ↪ FRC.append(loadmat("FRC_geometrias_data_augmentation/Train/"
        ↪ + file)['frc'])

```

```

184 SDF2 = pickle.load(open("dataX.pkl", "rb"))[len(filepaths), 2,
    ↪  :, :]
185
186 dataX = np.zeros([len(filepaths), 3, 172, 79])
187
188 dataX[:,0,:,:] = np.array(SDF)
189 dataX[:,1,:,:] = np.array(FRC)
190 dataX[:,2,:,:] = SDF2
191
192 return dataX

```

Generar los datos adicionales de los campos de velocidades paralela al flujo y vertical y de presión:

```

193 import numpy as np
194 import pickle
195 from scipy.interpolate import griddata
196 from scipy.io import loadmat
197
198 geom_index = ["1", "63", "121", "723", "1305", "1923"]
199
200 # a = np.linspace(0.93, 1.07, 50)
201
202 a = loadmat("aug_factor.mat")["aug_factor"]
203 a = np.reshape(a, [50])
204
205 for geom in geom_index:
206     dataY = pickle.load(open('E:/NuevasGeometrias/csv_geom' + geom
    ↪     + '_1001_1500.pkl', 'rb'))
207     # Y=np.zeros([len(dataY)*len(a),3,172, 79])
208     Y=np.zeros([len(a),3,172, 79])
209
210     print("Geometry " + geom)
211
212     for i in range(3):
213         points=dataY[i][:,5:7] #X e Y.
214         values_p=dataY[i][:,1] # Pressure (Pa)
215         values_vx=dataY[i][:,2] # Velocity x (m/s)
216         values_vy=dataY[i][:,3] # Velocity y (m/s)
217
218         print("Interpolación nº : " + str(i + 1) + " out of " +
    ↪         str(len(dataY)))

```

```

219
220     for k in range(len(a)):
221     # for k in range(1):
222
223         grid_x_p, grid_y_p =
224         ↪ np.mgrid[min(points[:,0]):max(points[:,0]):256j/a[k],
225         ↪ min(points[:,1]):max(points[:,1]):128j/a[k]]
226         data_interpolated_p = griddata(points, values_p,
227         ↪ (grid_x_p, grid_y_p), method='linear')/a[k]**2
228
229         print("Pressure data augmentation: " + str(k) + " out
230         ↪ of " + str(len(a)))
231
232         grid_x_vx, grid_y_vx =
233         ↪ np.mgrid[min(points[:,0]):max(points[:,0]):256j/a[k],
234         ↪ min(points[:,1]):max(points[:,1]):128j/a[k]]
235         data_interpolated_vx = griddata(points, values_vx,
236         ↪ (grid_x_vx, grid_y_vx), method='linear')/a[k]
237
238         print("Vx data augmentation: " + str(k) + " out of " +
239         ↪ str(len(a)))
240
241         grid_x_vy, grid_y_vy =
242         ↪ np.mgrid[min(points[:,0]):max(points[:,0]):256j/a[k],
243         ↪ min(points[:,1]):max(points[:,1]):128j/a[k]]
244         data_interpolated_vy = griddata(points, values_vy,
245         ↪ (grid_x_vy, grid_y_vy), method='linear')/a[k]
246
247         print("Vy data augmentation: " + str(k) + " out of " +
248         ↪ str(len(a)))
249
250         points_b_p = np.array([grid_x_p.flatten(),
251         ↪ grid_y_p.flatten()]).T
252         values_b_p = data_interpolated_p.flatten()
253
254         points_b_vx = np.array([grid_x_vx.flatten(),
255         ↪ grid_y_vx.flatten()]).T
256         values_b_vx = data_interpolated_vx.flatten()
257
258         points_b_vy = np.array([grid_x_vy.flatten(),
259         ↪ grid_y_vy.flatten()]).T
260         values_b_vy = data_interpolated_vy.flatten()

```

```

246
247 print("Pressure interpolation initialized")
248
249 grid_x_b_p, grid_y_b_p =
    ↪ np.mgrid[min(points_b_p[:,0]):max(points_b_p[:,0]):174j,
    ↪ min(points_b_p[:,1]):max(points_b_p[:,1]):81j]
250 data_interpolated_b_p = griddata(points_b_p, values_b_p,
    ↪ (grid_x_b_p, grid_y_b_p), method='linear')
251 data_interpolated_b_p =
    ↪ data_interpolated_b_p[1:173,1:80]
252
253 print("Pressure interpolation finished")
254 print("Vx interpolation initialized")
255
256 grid_x_b_vx, grid_y_b_vx =
    ↪ np.mgrid[min(points_b_vx[:,0]):max(points_b_vx[:,0]):174j,
    ↪ min(points_b_vx[:,1]):max(points_b_vx[:,1]):81j]
257 data_interpolated_b_vx = griddata(points_b_vx,
    ↪ values_b_vx, (grid_x_b_p, grid_y_b_vx),
    ↪ method='linear')
258 data_interpolated_b_vx =
    ↪ data_interpolated_b_vx[1:173,1:80]
259
260 print("Vx interpolation finished")
261 print("Vy interpolation initialized")
262
263 grid_x_b_vy, grid_y_b_vy =
    ↪ np.mgrid[min(points_b_vy[:,0]):max(points_b_vy[:,0]):174j,
    ↪ min(points_b_vy[:,1]):max(points_b_vy[:,1]):81j]
264 data_interpolated_b_vy = griddata(points_b_vy,
    ↪ values_b_vy, (grid_x_b_vy, grid_y_b_vy),
    ↪ method='linear')
265 data_interpolated_b_vy =
    ↪ data_interpolated_b_vy[1:173,1:80]
266
267 print("Vy interpolation finished")
268
269 Y[k, 0, :, :] = data_interpolated_b_vx
270 Y[k, 1, :, :] = data_interpolated_b_vy
271 Y[k, 2, :, :] = data_interpolated_b_p
272

```

```

273     with open('dataY_' + geom + '_geometries_augmented_f.pkl',
274               ↪ 'wb') as f:
                pickle.dump(Y, f)

275 import numpy as np
276 import pickle
277 import random
278 from create_dataX_augmented import *
279
280 def randomize_CFD_input_data():
281
282     y_circle =
283     ↪ pickle.load(open("./dataY_1_geometries_augmented_e.pkl",
284                       ↪ "rb"))[:50] # CFD
    y_ellipse =
285     ↪ pickle.load(open("./dataY_1305_geometries_augmented_e.pkl",
286                       ↪ "rb"))[:50] # CFD
    y_rectangle =
287     ↪ pickle.load(open("./dataY_723_geometries_augmented_e.pkl",
288                       ↪ "rb"))[:50] # CFD
    y_square =
289     ↪ pickle.load(open("./dataY_63_geometries_augmented_e.pkl",
290                       ↪ "rb"))[:50] # CFD
    y_triangle =
291     ↪ pickle.load(open("./dataY_1923_geometries_augmented_e.pkl",
292                       ↪ "rb"))[:50] # CFD
    y_triangle_eq =
293     ↪ pickle.load(open("./dataY_121_geometries_augmented_e.pkl",
294                       ↪ "rb"))[:50] # CFD

295     y_list = [y_circle, y_ellipse, y_rectangle, y_square,
296               ↪ y_triangle, y_triangle_eq]
    length = len(y_circle) + len(y_ellipse) + len(y_rectangle) +
297     ↪ len(y_square) + len(y_triangle) + len(y_triangle_eq)
    length_list = [len(y_circle), len(y_ellipse), len(y_rectangle),
298                 ↪ len(y_square), len(y_triangle), len(y_triangle_eq)]
    length1 = len(y_circle)
299     length2 = length1 + len(y_ellipse)
300     length3 = length2 + len(y_rectangle)
301     length4 = length3 + len(y_square)
302     length5 = length4 + len(y_triangle)
303     print("Long. 1: ", length1)

```



```

298 print("Long. 2: ", length2)
299 print("Long. 3: ", length3)
300 print("Long. 4: ", length4)
301 print("Long. 5: ", length5)
302
303 print("Tamaño total: ", length)
304
305 geometries = ["circle", "ellipse", "rectangle", "square",
306 ↪ "triangle", "triangle_eq"]
307
308 data_x = generate_dataX()
309
310 lengths = [length1, length2, length3, length4, length5]
311
312 x = np.concatenate((data_x[:length1,:,:,:],
313                    data_x[length1:length2,:,:,:],
314                    data_x[length2:length3,:,:,:],
315                    data_x[length3:length4,:,:,:],
316                    data_x[length4:length5,:,:,:],
317                    data_x[length5,:,:,:,:]))
318
319 y = np.zeros([length, 3, 172, 79])
320 y[:length1,:,:,:] = y_list[0]
321 y[length1:length2,:,:,:] = y_list[1]
322 y[length2:length3,:,:,:] = y_list[2]
323 y[length3:length4,:,:,:] = y_list[3]
324 y[length4:length5,:,:,:] = y_list[4]
325 y[length5,:,:,:,:] = y_list[5]
326
327 return y, x

```

A.4 Generar los datos de entrenamiento

Código que organiza los datos de entrada y salida para el entrenamiento de la CNN:

```

328 import numpy as np
329 import pickle
330 import random
331 from create_dataX import *

```

```

332
333 def randomize_CFD_input_data(variable, n_test):
334     velocities = [5, 10, 15, 20, 25]
335
336     y_circle = pickle.load(open("./Y_geom1_interpolated.pkl",
337     ↪ "rb")) # CFD
338     y_ellipse = pickle.load(open("./Y_geom1305_interpolated.pkl",
339     ↪ "rb")) # CFD
340     y_rectangle = pickle.load(open("./Y_geom723_interpolated.pkl",
341     ↪ "rb")) # CFD
342     y_square = pickle.load(open("./Y_geom63_interpolated.pkl",
343     ↪ "rb")) # CFD
344     y_triangle = pickle.load(open("./Y_geom1923_interpolated.pkl",
345     ↪ "rb")) # CFD
346     y_triangle_eq = pickle.load(open("./Y_geom121_interpolated.pkl",
347     ↪ "rb")) # CFD
348
349     y_list = [y_circle, y_ellipse, y_rectangle, y_square,
350     ↪ y_triangle, y_triangle_eq]
351     length = len(y_circle) + len(y_ellipse) + len(y_rectangle) +
352     ↪ len(y_square) + len(y_triangle) + len(y_triangle_eq)
353     length_list = [len(y_circle), len(y_ellipse), len(y_rectangle),
354     ↪ len(y_square), len(y_triangle), len(y_triangle_eq)]
355     length1 = len(y_circle)-1
356     length2 = length1 + len(y_ellipse) - 1
357     length3 = length2 + len(y_rectangle) - 1
358     length4 = length3 + len(y_square) - 1
359     length5 = length4 + len(y_triangle) - 1
360     print("Long. 1: ", length1)
361     print("Long. 2: ", length2)
362     print("Long. 3: ", length3)
363     print("Long. 4: ", length4)
364     print("Long. 5: ", length5)
365
366     length_list_b = [length1, length2, length3, length4, length5]
367
368     # y = np.zeros([length-5, 1, 172, 79])
369     print("Tamaño total: ", length)
370
371     geometries = ["circle", "ellipse", "rectangle", "square",
372     ↪ "triangle", "triangle_eq"]
373

```

```

364 data_x = generate_dataX(geometries)
365
366 x=np.zeros([length,2,79,172])
367 x[:length1+1,:,:]=data_x[0]
368 x[length1+1:length2+2,:,:]=data_x[1]
369 x[length2+2:length3+3,:,:]=data_x[2]
370 x[length3+3:length4+4,:,:]=data_x[3]
371 x[length4+4:length5+5,:,:]=data_x[4]
372 x[length5+5,:,:]=data_x[5]
373
374 x_new = np.zeros([length-6,3,79,172])
375 y_new = np.zeros([length-6,1,79,172])
376
377 y_new[:length1], x_new[:length1] = add_t_1_instant(y_list[0],
↪ x[:length1+1], variable)
378 y_new[length1:length2], x_new[length1:length2] =
↪ add_t_1_instant(y_list[1], x[length1+1:length2+2],
↪ variable)
379 y_new[length2:length3], x_new[length2:length3] =
↪ add_t_1_instant(y_list[2], x[length2+2:length3+3],
↪ variable)
380 y_new[length3:length4], x_new[length3:length4] =
↪ add_t_1_instant(y_list[3], x[length3+3:length4+4],
↪ variable)
381 y_new[length4:length5], x_new[length4:length5] =
↪ add_t_1_instant(y_list[4], x[length4+4:length5+5],
↪ variable)
382 y_new[length5:], x_new[length5:] = add_t_1_instant(y_list[5],
↪ x[length5+5:], variable)
383
384 test_index_list = []
385 y_train = y_new
386 x_train = x_new
387 for i in range(n_test):
388     y_train, x_train, test_index, length_list_b =
↪ test_samples(y_train, x_train, length_list,
↪ length_list_b)
389     test_index_list.append(test_index)
390     print("Test n°: ", i+1)
391 return y_train, x_train, y_new, x_new, test_index_list,
↪ length_list
392

```

```

393 def add_t_1_instant(y, x, variable):
394     print("Tamaño original: ", y.shape)
395     if variable == "vx":
396         y2=y[:,1,:::] # Select the variable to simulate vx(:1),
           ↪ vy(1:2), p(2:3)
397     elif variable == "vy":
398         y2=y[:,1:2,:::] # Select the variable to simulate
           ↪ vx(:1), vy(1:2), p(2:3)
399     else:
400         y2=y[:,2:3,:::] # Select the variable to simulate
           ↪ vx(:1), vy(1:2), p(2:3)
401     print("Tamaño tras selección de la variable: ", y2.shape)
402     y=y2
403     x2=np.zeros([len(y),3,79,172])
404     x2[:,2,:::] = x
405     # y=np.moveaxis(y,2,3)
406     x2[:,2:3,:::] = y # Add the t-1 instant to the input data
407     x=x2[:-1,:::,:]
408     y=y[1:,,,:]
409     print("Tamaño tras eliminar una muestra: ", y.shape)
410     return(y, x)
411
412 def test_samples(y_train, x_train, length_list, length_list_b):
413
414     test_index = []
415
416     random_value_circle = (random.randint(0, length_list[0]-50))
417     random_value_ellipse = (random.randint(0, length_list[1]-50))
418     random_value_rectangle = (random.randint(0, length_list[2]-50))
419     random_value_square = (random.randint(0, length_list[3]-50))
420     random_value_triangle = (random.randint(0, length_list[4]-50))
421     random_value_triangle_eq = (random.randint(0,
           ↪ length_list[5]-50))
422
423
424     test_index = [random_value_circle, random_value_ellipse,
           ↪ random_value_rectangle,
425                 random_value_square, random_value_triangle,
           ↪ random_value_triangle_eq]
426     y_train = np.delete(y_train, np.add(test_index[1:],
           ↪ length_list_b), 0)
427     print("length y: ", y_train.shape)

```

```

428 x_train = np.delete(x_train, np.add(test_index[1:],
    ↪ length_list_b), 0)
429 print("length x: ", x_train.shape)
430 length_list_b = np.add(length_list_b, [-1 -2 -3 -4 -5])
431 # length_list_b = length_list_b.to_list()
432 print("Lista de longitudes de array:", length_list_b)
433 return y_train, x_train, test_index, length_list_b

434 # from random_samples_function import *
435 from data_generation_for_CNN_first_sample_data_augmentation import
    ↪ *
436
437 # y, x, y_all, x_all, test_index_list, length_list =
    ↪ randomize_CFD_input_data("p",50)
438 y, x = randomize_CFD_input_data()
439
440
441 with open("training_test_data_geometries_first_sample_f.pkl", "wb")
    ↪ as file:
442     # pickle.dump([y, x, y_all, x_all, test_index_list,
        ↪ length_list], file)
443     pickle.dump([y, x], file)

```

A.5 CNN

El modelo de la CNN viene dado por los siguientes códigos:

```

444 import torch
445 import torch.nn as nn
446 import torch.nn.functional as F
447 from torch.nn.utils import weight_norm
448
449 def create_layer(in_channels, out_channels, kernel_size, wn=True,
    ↪ bn=True,
450                 activation=nn.ReLU, convolution=nn.Conv2d):
451     assert kernel_size % 2 == 1
452     layer = []
453     conv = convolution(in_channels, out_channels, kernel_size,
        ↪ padding=kernel_size // 2)
454     if wn:
455         conv = weight_norm(conv)
456     layer.append(conv)

```

```

457     if activation is not None:
458         layer.append(activation())
459     if bn:
460         layer.append(nn.BatchNorm2d(out_channels))
461     return nn.Sequential(*layer)
462
463
464 class AutoEncoder(nn.Module):
465     def __init__(self, in_channels, out_channels, kernel_size=3,
466     ↪ filters=[16, 32, 64],
467         weight_norm=True, batch_norm=True,
468     ↪ activation=nn.ReLU, final_activation=None):
469         super().__init__()
470         assert len(filters) > 0
471         encoder = []
472         decoder = []
473         for i in range(len(filters)):
474             if i == 0:
475                 encoder_layer = create_layer(in_channels,
476     ↪ filters[i], kernel_size, weight_norm,
477     ↪ batch_norm, activation, nn.Conv2d)
478                 decoder_layer = create_layer(filters[i],
479     ↪ out_channels, kernel_size, weight_norm, False,
480     ↪ final_activation, nn.ConvTranspose2d)
481             else:
482                 encoder_layer = create_layer(filters[i-1],
483     ↪ filters[i], kernel_size, weight_norm,
484     ↪ batch_norm, activation, nn.Conv2d)
485                 decoder_layer = create_layer(filters[i],
486     ↪ filters[i-1], kernel_size, weight_norm,
487     ↪ batch_norm, activation, nn.ConvTranspose2d)
488             encoder = encoder + [encoder_layer]
489             decoder = [decoder_layer] + decoder
490         self.encoder = nn.Sequential(*encoder)
491         self.decoder = nn.Sequential(*decoder)
492
493     def forward(self, x):
494         return self.decoder(self.encoder(x))
495
496
497 import torch
498 import torch.nn as nn
499 import torch.nn.functional as F

```

```

488 from torch.nn.utils import weight_norm
489 from Models.AutoEncoder import create_layer
490
491
492 def create_encoder_block(in_channels, out_channels, kernel_size,
↳ wn=True, bn=True,
493                         activation=nn.ReLU, layers=2):
494     encoder = []
495     for i in range(layers):
496         _in = out_channels
497         _out = out_channels
498         if i == 0:
499             _in = in_channels
500         encoder.append(create_layer(_in, _out, kernel_size, wn, bn,
↳ activation, nn.Conv2d))
501     return nn.Sequential(*encoder)
502
503 def create_decoder_block(in_channels, out_channels, kernel_size,
↳ wn=True, bn=True,
504                         activation=nn.ReLU, layers=2, final_layer=False):
505     decoder = []
506     for i in range(layers):
507         _in = in_channels
508         _out = in_channels
509         _bn = bn
510         _activation = activation
511         if i == 0:
512             _in = in_channels * 2
513         if i == layers - 1:
514             _out = out_channels
515             if final_layer:
516                 _bn = False
517                 _activation = None
518         decoder.append(create_layer(_in, _out, kernel_size, wn, _bn,
↳ _activation, nn.ConvTranspose2d))
519     return nn.Sequential(*decoder)
520
521
522 def create_encoder(in_channels, filters, kernel_size, wn=True,
↳ bn=True, activation=nn.ReLU, layers=2):
523     encoder = []
524     for i in range(len(filters)):

```

```

525     if i == 0:
526         encoder_layer = create_encoder_block(in_channels,
        ↪ filters[i], kernel_size, wn, bn, activation,
        ↪ layers)
527     else:
528         encoder_layer = create_encoder_block(filters[i-1],
        ↪ filters[i], kernel_size, wn, bn, activation,
        ↪ layers)
529     encoder = encoder + [encoder_layer]
530     return nn.Sequential(*encoder)
531
532 def create_decoder(out_channels, filters, kernel_size, wn=True,
533 ↪ bn=True, activation=nn.ReLU, layers=2):
534     decoder = []
535     for i in range(len(filters)):
536         if i == 0:
537             decoder_layer = create_decoder_block(filters[i],
538             ↪ out_channels, kernel_size, wn, bn, activation,
539             ↪ layers, final_layer=True)
540         # elif i == len(filters):
541         #     decoder_layer = create_decoder_block(velocity_channel,
542         ↪ filters[i], kernel_size, wn, bn, activation, layers,
543         ↪ final_layer=True)
544         else:
545             decoder_layer = create_decoder_block(filters[i],
546             ↪ filters[i-1], kernel_size, wn, bn, activation,
547             ↪ layers, final_layer=False)
548         decoder = [decoder_layer] + decoder
549     return nn.Sequential(*decoder)
550
551 class UNetEx(nn.Module):
552     def __init__(self, in_channels, out_channels, kernel_size=3,
553     ↪ filters=[16, 32, 64], layers=3,
554     ↪ weight_norm=True, batch_norm=True, activation=nn.ReLU,
555     ↪ final_activation=None):
556         super().__init__()
557         assert len(filters) > 0
558         self.final_activation = final_activation
559         self.encoder = create_encoder(in_channels, filters,
560         ↪ kernel_size, weight_norm, batch_norm, activation,
561         ↪ layers)
562         decoders = []

```



```

552     for i in range(out_channels):
553         decoders.append(create_decoder(1, filters, kernel_size,
554             ↪ weight_norm, batch_norm, activation, layers))
555     self.decoders = nn.Sequential(*decoders)
556
557 def encode(self, x):
558     tensors = []
559     indices = []
560     sizes = []
561     for encoder in self.encoder:
562         x = encoder(x)
563         sizes.append(x.size())
564         tensors.append(x)
565         x, ind = F.max_pool2d(x, 2, 2, return_indices=True)
566         indices.append(ind)
567     return x, tensors, indices, sizes
568
569 def decode(self, _x, _tensors, _indices, _sizes):
570     y = []
571     for _decoder in self.decoders:
572         x = _x
573         tensors = _tensors[:]
574         indices = _indices[:]
575         sizes = _sizes[:]
576         for decoder in _decoder:
577             tensor = tensors.pop()
578             size = sizes.pop()
579             ind = indices.pop()
580             x = F.max_unpool2d(x, ind, 2, 2, output_size=size)
581             x = torch.cat([tensor, x], dim=1)
582             x = decoder(x)
583         y.append(x)
584     return torch.cat(y, dim=1)
585
586 def forward(self, x):
587     x, tensors, indices, sizes = self.encode(x)
588     x = self.decode(x, tensors, indices, sizes)
589     if self.final_activation is not None:
590         x = self.final_activation(x)
591     return x

```

Funciones para el entrenamiento de la red neuronal:

```

591 import copy
592 import torch
593
594 def generate_metrics_list(metrics_def):
595     list = {}
596     for name in metrics_def.keys():
597         list[name] = []
598     return list
599
600 def epoch(scope, loader, on_batch=None, training=False):
601     model = scope["model"]
602     optimizer = scope["optimizer"]
603     loss_func = scope["loss_func"]
604     metrics_def = scope["metrics_def"]
605     scope = copy.copy(scope)
606     scope["loader"] = loader
607
608     metrics_list = generate_metrics_list(metrics_def)
609     total_loss = 0
610     if training:
611         model.train()
612     else:
613         model.eval()
614     for tensors in loader:
615         if "process_batch" in scope and scope["process_batch"] is
        ↪ not None:
616             tensors = scope["process_batch"](tensors)
617         if "device" in scope and scope["device"] is not None:
618             tensors = [tensor.to(scope["device"]) for tensor in
        ↪ tensors]
619         loss, output = loss_func(model, tensors)
620         if training:
621             optimizer.zero_grad()
622             loss.backward()
623             optimizer.step()
624         total_loss += loss.item()
625         scope["batch"] = tensors
626         scope["loss"] = loss
627         scope["output"] = output
628         scope["batch_metrics"] = {}
629         for name, metric in metrics_def.items():
630             value = metric["on_batch"](scope)

```

```

631         scope["batch_metrics"][name] = value
632         metrics_list[name].append(value)
633     if on_batch is not None:
634         on_batch(scope)
635     scope["metrics_list"] = metrics_list
636     metrics = {}
637     for name in metrics_def.keys():
638         scope["list"] = scope["metrics_list"][name]
639         metrics[name] = metrics_def[name]["on_epoch"](scope)
640     return total_loss, metrics
641
642 def train(scope, train_dataset, val_dataset, patience=10,
↪   batch_size=256, print_function=print, eval_model=None,
643         on_train_batch=None, on_val_batch=None,
↪   on_train_epoch=None, on_val_epoch=None,
↪   after_epoch=None):
644     epochs = scope["epochs"]
645     model = scope["model"]
646     metrics_def = scope["metrics_def"]
647     scope = copy.copy(scope)
648
649     scope["best_train_metric"] = None
650     scope["best_train_loss"] = float("inf")
651     scope["best_val_metrics"] = None
652     scope["best_val_loss"] = float("inf")
653     scope["best_model"] = None
654
655     train_loader = torch.utils.data.DataLoader(train_dataset,
↪   batch_size=batch_size, shuffle=True)
656     val_loader = torch.utils.data.DataLoader(val_dataset,
↪   batch_size=batch_size, shuffle=False)
657     skips = 0
658     for epoch_id in range(1, epochs + 1):
659         scope["epoch"] = epoch_id
660         print_function("Epoch #" + str(epoch_id))
661         # Training
662         scope["dataset"] = train_dataset
663         train_loss, train_metrics = epoch(scope, train_loader,
↪   on_train_batch, training=True)
664         scope["train_loss"] = train_loss
665         scope["train_metrics"] = train_metrics
666         print_function("\tTrain Loss = " + str(train_loss))

```

```

667     for name in metrics_def.keys():
668         print_function("\tTrain " + metrics_def[name]["name"] +
        ↪      " = " + str(train_metrics[name]))
669     if on_train_epoch is not None:
670         on_train_epoch(scope)
671     del scope["dataset"]
672     # Validation
673     scope["dataset"] = val_dataset
674     with torch.no_grad():
675         val_loss, val_metrics = epoch(scope, val_loader,
        ↪      on_val_batch, training=False)
676     scope["val_loss"] = val_loss
677     scope["val_metrics"] = val_metrics
678     print_function("\tValidation Loss = " + str(val_loss))
679     for name in metrics_def.keys():
680         print_function("\tValidation " +
        ↪      metrics_def[name]["name"] + " = " +
        ↪      str(val_metrics[name]))
681     if on_val_epoch is not None:
682         on_val_epoch(scope)
683     del scope["dataset"]
684     # Selection
685     is_best = None
686     if eval_model is not None:
687         is_best = eval_model(scope)
688     if is_best is None:
689         is_best = val_loss < scope["best_val_loss"]
690     if is_best:
691         scope["best_train_metric"] = train_metrics
692         scope["best_train_loss"] = train_loss
693         scope["best_val_metrics"] = val_metrics
694         scope["best_val_loss"] = val_loss
695         scope["best_model"] = copy.deepcopy(model)
696         print_function("Model saved!")
697         skips = 0
698     else:
699         skips += 1
700     if after_epoch is not None:
701         after_epoch(scope)
702
703     return scope["best_model"], scope["best_train_metric"],
        ↪      scope["best_train_loss"],\

```

```

704         scope["best_val_metrics"], scope["best_val_loss"]
705
706 def train_model(model, loss_func, train_dataset, val_dataset,
707 ↪ optimizer, process_batch=None, eval_model=None,
708         on_train_batch=None, on_val_batch=None,
709         ↪ on_train_epoch=None, on_val_epoch=None,
710         ↪ after_epoch=None,
711         epochs=100, batch_size=256, patience=10, device=0,
712         ↪ **kwargs):
713     model = model.to(device)
714     scope = {}
715     scope["model"] = model
716     scope["loss_func"] = loss_func
717     scope["train_dataset"] = train_dataset
718     scope["val_dataset"] = val_dataset
719     scope["optimizer"] = optimizer
720     scope["process_batch"] = process_batch
721     scope["epochs"] = epochs
722     scope["batch_size"] = batch_size
723     scope["device"] = device
724     metrics_def = {}
725     names = []
726     for key in kwargs.keys():
727         parts = key.split("_")
728         if len(parts) == 3 and parts[0] == "m":
729             if parts[1] not in names:
730                 names.append(parts[1])
731     for name in names:
732         if "m_" + name + "_name" in kwargs and "m_" + name +
733         ↪ "_on_batch" in kwargs and "m_" + name + "_on_epoch" in
734         ↪ kwargs:
735             metrics_def[name] = {
736                 "name": kwargs["m_" + name + "_name"],
737                 "on_batch": kwargs["m_" + name + "_on_batch"],
738                 "on_epoch": kwargs["m_" + name + "_on_epoch"],
739             }
740         else:
741             print("Warning: " + name + " metric is incomplete!")
742     scope["metrics_def"] = metrics_def
743     return train(scope, train_dataset, val_dataset,
744 ↪ eval_model=eval_model, on_train_batch=on_train_batch,

```

```

738         on_val_batch=on_val_batch, on_train_epoch=on_train_epoch,
        ↪     on_val_epoch=on_val_epoch, after_epoch=after_epoch,
739         batch_size=batch_size, patience=patience)

```

Funciones necesarias para la ejecución del código de la red neuronal.

```

740 import torch.nn as nn
741 import numpy as np
742 from matplotlib import pyplot as plt
743
744 def split_tensors(*tensors, ratio):
745     assert len(tensors) > 0
746     split1, split2 = [], []
747     count = len(tensors[0])
748     for tensor in tensors:
749         assert len(tensor) == count
750         split1.append(tensor[:int(len(tensor) * ratio)])
751         split2.append(tensor[int(len(tensor) * ratio):])
752     if len(tensors) == 1:
753         split1, split2 = split1[0], split2[0]
754     return split1, split2
755
756 def initialize(model, gain=1, std=0.02):
757     for module in model.modules():
758         if type(module) in [nn.Linear, nn.Conv1d, nn.Conv2d,
        ↪     nn.Conv3d]:
759             nn.init.xavier_normal_(module.weight, gain)
760             if module.bias is not None:
761                 nn.init.normal_(module.bias, 0, std)
762
763 def visualize(sample_y, out_y, error, s, variable, n_sample,
        ↪     velocity):
764
765     minu = np.min(sample_y[s, 0, :, :])
766     maxu = np.max(sample_y[s, 0, :, :])
767
768     mineu = np.min(error[s, 0, :, :])
769     maxeu = np.max(error[s, 0, :, :])
770
771     plt.figure()
772     fig = plt.gcf()

```

```

773 plt.suptitle("Input velocity: " + velocity + " ms. Sample nº: "
774     ↪ + str(n_sample+s), fontsize=20)
775 fig.set_size_inches(15, 10)
776 plt.subplot(3, 3, 1)
777 plt.title('CFD', fontsize=18)
778 plt.imshow(np.transpose(sample_y[s, 0, :, :]), cmap='jet', vmin
779     ↪ = minu, vmax = maxu, origin='lower', extent=[0,172,0,79])
780 plt.colorbar(orientation='horizontal')
781 plt.ylabel(variable, fontsize=18)
782 plt.subplot(3, 3, 2)
783 plt.title('CNN', fontsize=18)
784 plt.imshow(np.transpose(out_y[s, 0, :, :]), cmap='jet', vmin =
785     ↪ minu, vmax = maxu, origin='lower', extent=[0,172,0,79])
786 plt.colorbar(orientation='horizontal')
787 plt.subplot(3, 3, 3)
788 plt.title('Error', fontsize=18)
789 plt.imshow(np.transpose(error[s, 0, :, :]), cmap='jet', vmin =
    ↪ mineu, vmax = maxeu, origin='lower', extent=[0,172,0,79])
plt.colorbar(orientation='horizontal')
plt.tight_layout()
plt.show()

```

Código para el entrenamiento de la red que predice los instantes futuros con velocidades de entrada variables:

```

790 import os
791 import json
792 import torch
793 import pickle
794 import time
795 from train_functions import *
796 from functions import *
797 import torch.optim as optim
798 from torch.utils.data import TensorDataset
799 from Models.UNetEx import UNetEx
800 from Models.UNet import UNet
801
802 import numpy as np
803 from create_channels_weights_1variable import
    ↪ create_channels_weights
804 from random_samples_function import *
805

```

```

806 import random
807
808 import gc
809
810 # torch.cuda.empty_cache()
811 # del variables
812 # gc.collect()
813 epoch = [1000]
814 ___batchsize = [32, 64]
815 learning_rate = [0.0001]
816 kernelsize = [3, 5, 7]
817 variable = ["vx", "vy", "p"]
818 for vb in variable:
819     cont = 25
820     for bs in range(len(batchsize)):
821         for l_r in range(len(learning_rate)):
822             for ep in range(len(epoch)):
823                 for ks in range(len(kernelsize)):
824                     device = torch.device("cuda" if
825                                     ↪ torch.cuda.is_available() else "cpu")
826                     with open('training_test_data_' + vb + '.pkl',
827                             ↪ 'rb') as f:
828                         y, x, y_all, x_all, test_index_list,
829                             ↪ length_list = pickle.load(f)
830
831                     # Remove the possible NaN data
832                     # y_b=y
833                     # y[np.isnan(y)] = 0
834                     # x[np.isnan(x)] = 0
835
836                     x = torch.FloatTensor(x)
837                     y = torch.FloatTensor(y)
838                     # y_b = torch.FloatTensor(y_b)
839
840                     # Initial weights calculation
841                     # channels_weights =
842                     ↪ torch.sqrt(torch.mean(y.permute(0, 2, 3,
843                     ↪ 1).reshape((len(y)*172*79,1)) ** 2,
844                     ↪ dim=0)).view(1, -1, 1, 1).to(device)
845                     channels_weights=create_channels_weights(y,
846                     ↪ device)

```



```

841 print("Channel weights: ", channels_weights)
842
843 # Simulation files directory
844 simulation_directory = "./Run/"
845 if not os.path.exists(simulation_directory):
846     os.makedirs(simulation_directory)
847
848 train_data, test_data = split_tensors(x, y,
849     ↪ ratio=0.7)
850
851 train_dataset, test_dataset =
852     ↪ TensorDataset(*train_data),
853     ↪ TensorDataset(*test_data)
854 test_x, test_y = test_dataset[:]
855
856 # Parameters
857 torch.manual_seed(0)
858 lr = learning_rate[l_r]
859 kernel_size = kernelsize[ks]
860 filters = [8, 16, 32, 32]
861 bn = False
862 wn = False
863 wd = 0.005
864 beta1 = 0.5
865 beta2 = 0.5
866
867 model = UNetEx(3, 1, filters=filters,
868     ↪ kernel_size=kernel_size, batch_norm=bn,
869     ↪ weight_norm=wn)
870 # model.load_state_dict(torch.load(
871     ↪ "Modelo_vx_Final.py")) #Cargamos los pesos
872     ↪ anteriores
873
874 # Define optimizer
875 optimizer =
876     ↪ torch.optim.AdamW(model.parameters(), lr=lr,
877     ↪ weight_decay=wd)
878
879 config = {}
880 train_loss_curve = []
881 test_loss_curve = []
882 train_ux_curve = []

```

```

874     test_ux_curve = []
875
876     def after_epoch(scope):
877
878         ↪ train_loss_curve.append(scope["train_loss"])
879         test_loss_curve.append(scope["val_loss"])
880         train_ux_curve.append(scope[
881             ↪ "train_metrics"]["ux"])
882         test_ux_curve.append(scope[
883             ↪ "val_metrics"]["ux"])
884
885     def loss_func(model, batch):
886         x, y = batch
887         output = model(x)
888
889         lossu = torch.abs((output[:,0,:,:] -
890             ↪ y[:,0,:,:])).reshape((output.shape[0],1,
891             ↪ output.shape[2],output.shape[3]))
892         loss = lossu / channels_weights
893         return torch.sum(loss), output
894
895     ti = time.time()
896
897     # Training model
898     DeepCFD, train_metrics, train_loss,
899     ↪ test_metrics, test_loss = train_model(model,
900     ↪ loss_func, train_dataset, test_dataset,
901     ↪ optimizer,
902     epochs=epoch[ep], batch_size=batchsize[ep],
903     ↪ device=device,
904     m_ux_name=vb + "MSE",
905     m_ux_on_batch=lambda scope:
906     ↪ float(torch.sum(scope["output"][:,0,:,:]
907     ↪ - scope["batch"][1][:,0,:,:])),
908     m_ux_on_epoch=lambda scope:
909     ↪ sum(scope["list"]) /
910     ↪ len(scope["dataset"]),
911     patience=25, after_epoch=after_epoch)
912
913     duration = time.time() - ti

```

```

901 print("Training time: " + str(duration//60) +
↪ "min and " +
↪ str("{:.2f}".format(duration%60)) + "sec")
902
903 # Guardar los el modelo
904 torch.save(model.state_dict(),"Modelo_" + vb +
↪ str(cont) + ".py")
905
906 metrics = {}
907 metrics["train_metrics"] = train_metrics
908 metrics["train_loss"] = train_loss
909 metrics["test_metrics"] = test_metrics
910 metrics["test_loss"] = test_loss
911 curves = {}
912 curves["train_loss_curve"] = train_loss_curve
913 curves["test_loss_curve"] = test_loss_curve
914 curves["train_ux_curve"] = train_ux_curve
915 curves["test_ux_curve"] = test_ux_curve
916 config["metrics"] = metrics
917 config["curves"] = curves
918
919 net_param = {}
920 net_param["num_epochs"] = epoch[ep]
921 net_param["learning_ratio"] =
↪ learning_rate[l_r]
922 net_param["kernel_size"] = kernelsize[ks]
923 net_param["batch_size"] = batchsize[bs]
924 config["net_param"] = net_param
925 config["training_duration"] = duration
926
927 velocity = ["05", "10", "15", "20", "25"] # The
↪ simulated velocity
928 variable = vb # Simulated variable
929 with open(simulation_directory + "results_ms_"
↪ + vb + str(cont) + ".json", "w") as file:
930     json.dump([config, duration, net_param],
↪ file)
931
932
933 # Test 5ms
934 y_5ms = y_all[:length_list[0]]
935 x_5ms = x_all[:length_list[0]]

```

```

936     # Test 10ms
937     y_10ms =
938     ↪ y_all[length_list[0]:sum(length_list[:2])]
939     x_10ms =
940     ↪ x_all[length_list[0]:sum(length_list[:2])]
941     # Test 15ms
942     y_15ms =
943     ↪ y_all[sum(length_list[:2]):sum(length_list[:3])]
944     x_15ms =
945     ↪ x_all[sum(length_list[:2]):sum(length_list[:3])]
946     # Test 20ms
947     y_20ms =
948     ↪ y_all[sum(length_list[:3]):sum(length_list[:4])]
949     x_20ms =
950     ↪ x_all[sum(length_list[:3]):sum(length_list[:4])]
951     # Test 25ms
952     y_25ms = y_all[sum(length_list[:4]):]
953     x_25ms = x_all[sum(length_list[:4]):]
954
955     def test_CNN(n_instantes, x_ms, y_ms,
956     ↪ simulation_directory, velocity, variable,
957     ↪ n_test, vb, cont):
958
959         ti = time.time()
960
961         out = torch.empty((n_instantes,3,172,79))
962         x_ms = torch.FloatTensor(x_ms)
963         y_ms = torch.FloatTensor(y_ms)
964         out[:,0:2,:,:]=x_ms[0,:2,:,:]
965
966         out[0,2,:,:] =
967         ↪ DeepCFD(x_ms[n_test:n_test+1].to(device))
968
969         for i in range (1,n_instantes,1):
970             print("Sample: " + str(i))
971             out[i,2,:,:] =
972             ↪ DeepCFD(out[i-1:i].to(device))
973             error =
974             ↪ (torch.abs((out[:,2:3,:,:].cpu() -
975             ↪ y_ms[n_test:n_test+n_instantes].cpu()))))
976             out2=out[:,2:3,:,:]

```

```

966 out2=out2.reshape([n_instantes,1,172,79])
967
968 duration = time.time() - ti
969 print("Training time: " + str(duration//60)
↪ + "min and " +
↪ str("{:.2f}".format(duration\%60)) +
↪ "sec")
970
971 out = out2.cpu().detach().numpy()
972 error = error.cpu().detach().numpy()
973 y = y_ms[ n_test:n_test+n_instantes]
↪ .cpu().detach().numpy()
974
975 with open(simulation_directory + "plots_" +
↪ velocity + "ms_" + vb + str(cont) +
↪ ".pkl", "wb") as file:
976     pickle.dump([out, error, y], file)
977
978 n_instantes = 50
979 for test in range(len(test_index_list)):
980     test_CNN(n_instantes, x_5ms, y_5ms,
↪ simulation_directory, velocity[0],
↪ variable, test_index_list[test][0],
↪ vb, cont)
981
982     test_CNN(n_instantes, x_10ms, y_10ms,
↪ simulation_directory, velocity[1],
↪ variable, test_index_list[test][1],
↪ vb, cont)
983
984     test_CNN(n_instantes, x_15ms, y_15ms,
↪ simulation_directory, velocity[2],
↪ variable, test_index_list[test][2],
↪ vb, cont)
985
986     test_CNN(n_instantes, x_20ms, y_20ms,
↪ simulation_directory, velocity[3],
↪ variable, test_index_list[test][3],
↪ vb, cont)
987
988     test_CNN(n_instantes, x_25ms, y_25ms,
↪ simulation_directory, velocity[4],
↪ variable, test_index_list[test][4],
↪ vb, cont)
989
990
991 cont = cont+1

```

Código para el entrenamiento de la red que predice los instantes futuros para geometrías variables:

```
992 import os
993 import json
994 import torch
995 import pickle
996 import time
997 from train_functions import *
998 from functions import *
999 import torch.optim as optim
1000 from torch.utils.data import TensorDataset
1001 from Models.UNetEx import UNetEx
1002 from Models.UNet import UNet
1003
1004 import numpy as np
1005 from create_channels_weights_1variable import
1006     ↪ create_channels_weights
1007 from random_samples_function import *
1008
1009 import random
1010
1011 # import gc
1012
1013 # torch.cuda.empty_cache()
1014 # del variables
1015 # gc.collect()
1016
1017 epoch = [2000] # 1000
1018 batchsize = [32, 64, 128] # 32
1019 learning_rate = [0.001, 0.0001] # 0.0001
1020 kernelsize = [3, 5, 7] # 3
1021 variable = ["vy", "p"]
1022
1023 # epoch = [1000]
1024 # batchsize = [32]
1025 # learning_rate = [0.001]
1026 # kernelsize = [3]
1027 # variable = ["vx"]
1028
1029 for vb in variable:
1030     cont = 200
```

```

1030 for bs in range(len(batchsize)):
1031     for l_r in range(len(learning_rate)):
1032         for ep in range(len(epoch)):
1033             for ks in range(len(kernelsize)):
1034                 a = variable.index(vb) + bs + l_r + ep + ks
1035                 # if cont<20:
1036                 #     cont = cont + 1
1037
1038                 # else:
1039                 device = torch.device("cuda" if
1040                 ↪ torch.cuda.is_available() else "cpu")
1041                 with open('training_test_data_geometries_' + vb
1042                 ↪ + '.pkl', 'rb') as f:
1043                     y, x, y_all, x_all, test_index_list,
1044                     ↪ length_list = pickle.load(f)
1045
1046                 print(ep, l_r, ks)
1047
1048                 # y = y[: -450]
1049                 # x = x[: -450]
1050
1051                 # Remove the possible NaN data
1052                 # y_b=y
1053                 # y[np.isnan(y)] = 0
1054                 # x[np.isnan(x)] = 0
1055
1056                 # Function that scales data in the (0, 1)
1057                 ↪ interval
1058                 def minmax_norm(df):
1059                     return (df - df.min()) / ( df.max() -
1060                     ↪ df.min())
1061
1062                 # x=minmax_norm(x)
1063                 # y=minmax_norm(y)
1064
1065                 x = torch.FloatTensor(x)
1066                 y = torch.FloatTensor(y)
1067                 # y_b = torch.FloatTensor(y_b)
1068
1069                 # Initial weights calculation

```

```

1065 # channels_weights =
      ↪ torch.sqrt(torch.mean(y.permute(0, 2, 3,
      ↪ 1).reshape((len(y)*172*79,1)) ** 2,
      ↪ dim=0)).view(1, -1, 1, 1).to(device)
1066 channels_weights=create_channels_weights(y,
      ↪ device)
1067 print("Channel weights: ", channels_weights)
1068
1069 # Simulation files directory
1070 simulation_directory = "./Run/"
1071 if not os.path.exists(simulation_directory):
1072     os.makedirs(simulation_directory)
1073
1074 plots_directory = "Run/Plots2/"
1075 if not os.path.exists(plots_directory):
1076     os.makedirs(plots_directory)
1077
1078 plots_subdirectory = "Run/Plots2/" + vb +
      ↪ str(cont) + "/"
1079 if not os.path.exists(plots_subdirectory):
1080     os.makedirs(plots_subdirectory)
1081
1082 modelo_directory = "./Modelo2/"
1083 if not os.path.exists(modelo_directory):
1084     os.makedirs(modelo_directory)
1085 # Splitting dataset into 95% train and 5% test
1086 train_data, test_data = split_tensors(x, y,
      ↪ ratio=0.9)
1087
1088 train_dataset, test_dataset =
      ↪ TensorDataset(*train_data),
      ↪ TensorDataset(*test_data)
1089 test_x, test_y = test_dataset[:]
1090
1091 # Parameters
1092 torch.manual_seed(0)
1093 lr = learning_rate[l_r]
1094 kernel_size = kernelsize[ks]
1095 filters = [8, 16, 32, 32]
1096 bn = False
1097 wn = False
1098 wd = 0.005

```



```

1099     beta1 = 0.5
1100     beta2 = 0.5
1101
1102     model = UNetEx(3, 1, filters=filters,
1103     ↪ kernel_size=kernel_size, batch_norm=bn,
1104     ↪ weight_norm=wn)
1105     #
1106     ↪ model.load_state_dict(torch.load("Modelo_vx_Final.py"))#Ca
1107     ↪ los pesos anteriores
1108
1109     # Define optimizer
1110     optimizer =
1111     ↪ torch.optim.AdamW(model.parameters(), lr=lr,
1112     ↪ weight_decay=wd)
1113
1114     config = {}
1115     train_loss_curve = []
1116     test_loss_curve = []
1117     train_ux_curve = []
1118     test_ux_curve = []
1119
1120     def after_epoch(scope):
1121
1122         ↪ train_loss_curve.append(scope["train_loss"])
1123         test_loss_curve.append(scope["val_loss"])
1124
1125         ↪ train_ux_curve.append(scope["train_metrics"]["ux"])
1126
1127         ↪ test_ux_curve.append(scope["val_metrics"]["ux"])
1128
1129     def loss_func(model, batch):
1130         x, y = batch
1131         output = model(x)
1132
1133         lossu = torch.abs((output[:,0,:,:] -
1134         ↪ y[:,0,:,:])).reshape((output.shape[0],1,output.shape[2]
1135         loss = lossu / channels_weights
1136         return torch.sum(loss), output
1137
1138     ti = time.time()
1139
1140     # Training model

```

```

1131 DeepCFD, train_metrics, train_loss,
    ↪ test_metrics, test_loss = train_model(model,
    ↪ loss_func, train_dataset, test_dataset,
    ↪ optimizer,
1132     epochs=epoch[ep], batch_size=batchsize[bs],
        ↪ device=device,
1133     m_ux_name="Ux MSE",
1134     m_ux_on_batch=lambda scope:
        ↪ float(torch.sum(scope["output"][:,0,:,:]
        ↪ - scope["batch"][1][:,0,:,:])),
1135     m_ux_on_epoch=lambda scope:
        ↪ sum(scope["list"]) /
        ↪ len(scope["dataset"]),
1136     patience=25, after_epoch=after_epoch)
1137
1138 duration = time.time() - ti
1139 print("Training time: " + str(duration//60) +
    ↪ "min and " +
    ↪ str("{:.2f}".format(duration%60)) + "sec")
1140
1141 # Guardar los el modelo
1142 torch.save(model.state_dict(), modelo_directory
    ↪ + "Modelo_geometries_" + vb + str(cont) +
    ↪ ".py")
1143
1144 metrics = {}
1145 metrics["train_metrics"] = train_metrics
1146 metrics["train_loss"] = train_loss
1147 metrics["test_metrics"] = test_metrics
1148 metrics["test_loss"] = test_loss
1149 curves = {}
1150 curves["train_loss_curve"] = train_loss_curve
1151 curves["test_loss_curve"] = test_loss_curve
1152 curves["train_ux_curve"] = train_ux_curve
1153 curves["test_ux_curve"] = test_ux_curve
1154 config["metrics"] = metrics
1155 config["curves"] = curves
1156
1157 net_param = {}
1158 net_param["num_epochs"] = epoch[ep]
1159 net_param["learning_ratio"] =
    ↪ learning_rate[l_r]

```

```

1160 net_param["kernel_size"] = kernel_size[ks]
1161 net_param["batch_size"] = batch_size[bs]
1162 config["net_param"] = net_param
1163 config["training_duration"] = duration
1164
1165 geometries = ["circle", "ellipse", "rectangle",
1166 ↪ "square", "triangle", "triangle_eq"] # The
1167 ↪ simulated velocity
1168 # variable = "p" # Simulated variable
1169 # n_test = "1" # Number of test with this
1170 ↪ variable at this velocity
1171 with open(simulation_directory + "results_" +
1172 ↪ vb
1173 ↪ + "_geometries_" + str(cont) +
1174 ↪ ".json", "w") as file:
1175     json.dump(config, file)
1176
1177 # Test circle
1178 y_circle = y_all[:length_list[0]]
1179 x_circle = x_all[:length_list[0]]
1180 # Test ellipse
1181 y_ellipse =
1182 ↪ y_all[length_list[0]:sum(length_list[:2])]
1183 x_ellipse =
1184 ↪ x_all[length_list[0]:sum(length_list[:2])]
1185 # Test rectangle
1186 y_rectangle =
1187 ↪ y_all[sum(length_list[:2]):sum(length_list[:3])]
1188 x_rectangle =
1189 ↪ x_all[sum(length_list[:2]):sum(length_list[:3])]
1190 # Test square
1191 y_square =
1192 ↪ y_all[sum(length_list[:3]):sum(length_list[:4])]
1193 x_square =
1194 ↪ x_all[sum(length_list[:3]):sum(length_list[:4])]
1195 # Test triangle
1196 y_triangle =
1197 ↪ y_all[sum(length_list[:4]):sum(length_list[:5])]
1198 x_triangle =
1199 ↪ x_all[sum(length_list[:4]):sum(length_list[:5])]
1200 # Test equilateral triangle

```

```

1189     y_triangle_eq = y_all[sum(length_list[:5]):]
1190     x_triangle_eq = x_all[sum(length_list[:5]):]
1191
1192
1193     def test_CNN(n_instantes, x_ms, y_ms,
1194                 ↪ simulation_directory, geometries,
1195                   variable, n_test, plots_directory,
1196                   ↪ plots_subdirectory):
1197
1198         ti = time.time()
1199
1200         out = torch.empty((n_instantes,3,79,172))
1201         x_ms = torch.FloatTensor(x_ms)
1202         y_ms = torch.FloatTensor(y_ms)
1203         out[:,0:2,:,:]=x_ms[0,:2,:,:]
1204
1205         out[0,2,:,:] =
1206             ↪ DeepCFD(x_ms[n_test:n_test+1].to(device))
1207
1208         for i in range (1,n_instantes,1):
1209             print("Sample: " + str(i))
1210             out[i,2,:,:] =
1211                 ↪ DeepCFD(out[i-1:i].to(device))
1212             error =
1213                 ↪ (torch.abs((out[:,2:3,:,:].cpu() -
1214                 ↪ y_ms[n_test:n_test+n_instantes].cpu()))))
1215         out2=out[:,2:3,:,:]
1216         out2=out2.reshape([n_instantes,1,79,172])
1217
1218         duration = time.time() - ti
1219         print("Training time: " + str(duration//60)
1220             ↪ + "min and " +
1221             ↪ str("{:.2f}".format(duration%60)) +
1222             ↪ "sec")
1223
1224         # for s in range (n_instantes):
1225             #
1226             ↪ visualize3(y_ms[n_test:n_test+n_instantes].cpu().detach())
1227             #
1228             ↪ out2.cpu().detach().numpy(),
1229             ↪ error.cpu().detach().numpy(), s,

```

```

1218         #             variable, n_test,
1219         ↪ geometries)
1220 out = out2.cpu().detach().numpy()
1221 error = error.cpu().detach().numpy()
1222
1223     ↪ y=y_ms[n_test:n_test+n_instantes].cpu().detach().numpy
1224
1225     # with open(plots_subdirectory + "plots_" +
1226     ↪ geometries + "_" + vb + str(n_test) +
1227     ↪ ".pkl", "wb") as file:
1228         # pickle.dump([out, error, y], file)
1229
1230     return out, error, y, geometries, n_test
1231
1232 plots = {}
1233
1234 n_instantes = 50
1235 test_index_list[7][-1] = 300 # Este número de
1236 ↪ test estaba fuera de rango
1237 test_index_list[21][-1] = 265
1238 for test in range(30):
1239     print(test)
1240     out, error, y, geom, n_test =
1241     ↪ test_CNN(n_instantes, x_circle,
1242     ↪ y_circle, simulation_directory,
1243     ↪ geometries[0],
1244             vb, test_index_list[test][0],
1245             ↪ plots_directory,
1246             ↪ plots_subdirectory)
1247     plots[vb + '_' + geom + '_' + str(n_test)]
1248     ↪ = [y, out, error]
1249     out, error, y, geom, n_test =
1250     ↪ test_CNN(n_instantes, x_ellipse,
1251     ↪ y_ellipse, simulation_directory,
1252     ↪ geometries[1],
1253             vb, test_index_list[test][1],
1254             ↪ plots_directory,
1255             ↪ plots_subdirectory)
1256     plots[vb + '_' + geom + '_' + str(n_test)]
1257     ↪ = [y, out, error]

```

```

1243 out, error, y, geom, n_test =
      ↪ test_CNN(n_instantes, x_rectangle,
1244 ↪ y_rectangle, simulation_directory,
      ↪ geometries[2],
          vb, test_index_list[test][2],
          ↪ plots_directory,
          ↪ plots_subdirectory)
1245 plots[vb + '_' + geom + '_' + str(n_test)]
      ↪ = [y, out, error]
1246 out, error, y, geom, n_test =
      ↪ test_CNN(n_instantes, x_square,
      ↪ y_square, simulation_directory,
      ↪ geometries[3],
          vb, test_index_list[test][3],
          ↪ plots_directory,
          ↪ plots_subdirectory)
1248 plots[vb + '_' + geom + '_' + str(n_test)]
      ↪ = [y, out, error]
1249 out, error, y, geom, n_test =
      ↪ test_CNN(n_instantes, x_triangle,
      ↪ y_triangle, simulation_directory,
      ↪ geometries[4],
          vb, test_index_list[test][4],
          ↪ plots_directory,
          ↪ plots_subdirectory)
1251 plots[vb + '_' + geom + '_' + str(n_test)]
      ↪ = [y, out, error]
1252 out, error, y, geom, n_test =
      ↪ test_CNN(n_instantes, x_triangle_eq,
      ↪ y_triangle_eq, simulation_directory,
      ↪ geometries[5],
          vb, test_index_list[test][5],
          ↪ plots_directory,
          ↪ plots_subdirectory)
1254 plots[vb + '_' + geom + '_' + str(n_test)]
      ↪ = [y, out, error]
1255
1256 with open(plots_subdirectory +
      ↪ "plots_geometries_" + vb + str(cont) +
      ↪ ".pkl", "wb") as file:
1257     pickle.dump(plots, file)

```

```
1258
1259         cont = cont+1
```

Código para el entrenamiento de la red que predice el primer instante para geometrías variables:

```
1260 from train_functions import *
1261 from functions import *
1262 import torch.optim as optim
1263 from torch.utils.data import TensorDataset
1264 from Models.UNetEx import UNetEx
1265
1266 import numpy as np
1267 from create_channels_weights import create_channels_weights
1268
1269 # epoch = [1000]
1270 # batchsize = [32, 64, 128]
1271 # learning_rate = [0.001, 0.0001]
1272 # kernelsize = [5, 7, 9]
1273 # filters_ = [[8, 16, 16, 32, 32], [8, 16, 32, 64]]
1274
1275 epoch = [1000, 2000]
1276 batchsize = [32, 64, 132]
1277 learning_rate = [0.001, 0.0001]
1278 kernelsize = [3, 5, 7, 9]
1279 filters_ = [[8, 16, 32, 32], [8, 16, 16, 32, 32]]
1280
1281 cont = 100
1282 for bs in range(len(batchsize)):
1283     for l_r in range(len(learning_rate)):
1284         # for sp_rat in range(len(split_ratio)):
1285             for ep in range(len(epoch)):
1286                 for ks in range(len(kernelsize)):
1287                     for filt in range(len(filters_)):
1288                         device = torch.device("cuda" if
1289                             ↪ torch.cuda.is_available() else "cpu")
1289                         y, x = pickle.load(open(
1290                             ↪ "./training_test_data_geometries_first_sample_e.pkl",
1291                             ↪ "rb"))
1290
1291                 def minmax_norm(df):
```

```

1292         return (df - df.min()) / ( df.max() -
1293             ↪ df.min())
1294
1295 minimize = 0
1296
1297 if minimize == 1:
1298     for j in range (3):
1299         if j == 2:
1300             y[:,j,:,:]=minmax_norm(y[:,j,:,:])
1301         else:
1302             x[:,j,:,:]=minmax_norm(x[:,j,:,:])
1303             y[:,j,:,:]=minmax_norm(y[:,j,:,:])
1304
1305 y_b=y
1306 y[np.isnan(y)] = 0
1307
1308 x = torch.FloatTensor(x)
1309 y = torch.FloatTensor(y)
1310 y_b = torch.FloatTensor(y_b)
1311
1312 channels_weights=create_channels_weights(y_b,
1313     ↪ device)
1314
1315 # x = x.permute(0,1,3,2)
1316 # y = y.permute(0,1,3,2)
1317 # channels_weights =
1318     ↪ torch.sqrt(torch.mean(y_cw)).view(1, -1, 1,
1319     ↪ 1).to(device)
1320 # channels_weights =
1321     ↪ torch.sqrt(torch.mean(y.permute(0, 2, 3,
1322     ↪ 1).reshape((981*172*79,3)) ** 2,
1323     ↪ dim=0)).view(1, -1, 1, 1).to(device)
1324 print(channels_weights)
1325
1326 # Simulation files directory
1327 simulation_directory = "./Run/"
1328 if not os.path.exists(simulation_directory):
1329     os.makedirs(simulation_directory)
1330
1331 plots_directory = "Run/Plots_first_sample/"
1332 if not os.path.exists(plots_directory):
1333     os.makedirs(plots_directory)

```



```

1327
1328     plots_subdirectory = "Run/Plots_first_sample/"
1329     ↪ + str(cont) + "/"
1330     if not os.path.exists(plots_subdirectory):
1331         os.makedirs(plots_subdirectory)
1332
1333     modelo_directory = "./Modelo_first_sample/"
1334     if not os.path.exists(modelo_directory):
1335         os.makedirs(modelo_directory)
1336
1337     idx = torch.randperm(x.shape[0])
1338     x = x[idx].view(x.size())
1339     y = y[idx].view(y.size())
1340
1341     train_data, test_data = split_tensors(x, y,
1342     ↪ ratio=0.7)
1343
1344     train_dataset, test_dataset =
1345     ↪ TensorDataset(*train_data),
1346     ↪ TensorDataset(*test_data)
1347     test_x, test_y = test_dataset[:]
1348
1349     torch.manual_seed(0)
1350     lr = learning_rate[l_r]
1351     kernel_size = kernelsize[ks]
1352     # filters = [8, 16, 32, 32]
1353     filters = filters_[filt]
1354     bn = False
1355     wn = False
1356     wd = 0.005
1357     beta1 = 0.5
1358     beta2 = 0.5
1359
1360     model = UNetEx(2, 3, filters=filters,
1361     ↪ kernel_size=kernel_size, batch_norm=bn,
1362     ↪ weight_norm=wn)
1363     # Define optimizer
1364     optimizer =
1365     ↪ torch.optim.AdamW(model.parameters(), lr=lr,
1366     ↪ weight_decay=wd)
1367
1368     config = {}

```

```

1361     train_loss_curve = []
1362     test_loss_curve = []
1363     train_mse_curve = []
1364     test_mse_curve = []
1365     train_ux_curve = []
1366     test_ux_curve = []
1367     train_uy_curve = []
1368     test_uy_curve = []
1369     train_p_curve = []
1370     test_p_curve = []
1371
1372     def after_epoch(scope):
1373         train_loss_curve.append(
1374             ↪ scope["train_loss"])
1375         test_loss_curve.append( scope["val_loss"])
1376         train_mse_curve.append(
1377             ↪ scope["train_metrics"]["mse"])
1378         test_mse_curve.append(
1379             ↪ scope["val_metrics"]["mse"])
1380         train_ux_curve.append(
1381             ↪ scope["train_metrics"]["ux"])
1382         test_ux_curve.append(
1383             ↪ scope["val_metrics"]["ux"])
1384         train_uy_curve.append(
1385             ↪ scope["train_metrics"]["uy"])
1386         test_uy_curve.append(
1387             ↪ scope["val_metrics"]["uy"])
1388         train_p_curve.append(
1389             ↪ scope["train_metrics"]["p"])
1390         test_p_curve.append(
1391             ↪ scope["val_metrics"]["p"])
1392
1393     def loss_func(model, batch):
1394         x, y = batch
1395         output = model(x)
1396         lossu = ((output[:,0,:,:] - y[:,0,:,:]) **
1397             ↪ 2).reshape((output.shape[0],1,
1398             ↪ output.shape[2],output.shape[3]))
1399         lossv = ((output[:,1,:,:] - y[:,1,:,:]) **
1400             ↪ 2).reshape((output.shape[0],
1401             ↪ 1,output.shape[2],output.shape[3]))

```

```

1389     lossp = ((output[:,2,:,:] - y[:,2,:,:]) **
1390             ↪ 2).reshape((output.shape[0],1,
1391             ↪ output.shape[2],output.shape[3]))
1392     # lossu = torch.abs((output[:,0,:,:] -
1393             ↪ y[:,0,:,:])).reshape((output.shape[0],1,
1394             ↪ output.shape[2],output.shape[3]))
1395     # lossv = torch.abs((output[:,1,:,:] -
1396             ↪ y[:,1,:,:])).reshape((output.shape[0],1,
1397             ↪ output.shape[2],output.shape[3]))
1398     # lossp = torch.abs((output[:,2,:,:] -
1399             ↪ y[:,2,:,:])).reshape((output.shape[0],1,
1400             ↪ output.shape[2],output.shape[3]))
1401     loss = (lossu + lossv +
1402             ↪ lossp)/channels_weights
1403     return torch.sum(loss), output
1404
1405     ti = time.time()
1406
1407     # Training model
1408     DeepCFD, train_metrics, train_loss,
1409     ↪ test_metrics, test_loss = train_model(model,
1410     ↪ loss_func, train_dataset, test_dataset,
1411     ↪ optimizer,
1412     ↪ epochs=epoch[ep], batch_size=batchsize[bs],
1413     ↪ device=device,
1414     ↪ m_mse_name="Total MSE",
1415     ↪ m_mse_on_batch=lambda scope:
1416     ↪ float(torch.sum((scope["output"] -
1417     ↪ scope["batch"][1]) ** 2)),
1418     ↪ m_mse_on_epoch=lambda scope:
1419     ↪ sum(scope["list"]) /
1420     ↪ len(scope["dataset"]),
1421     ↪ m_ux_name="Ux MSE",
1422     ↪ m_ux_on_batch=lambda scope:
1423     ↪ float(torch.sum((scope["output"][:,0,:,:]
1424     ↪ - scope["batch"][1][:,0,:,:]) ** 2)),
1425     ↪ m_ux_on_epoch=lambda scope:
1426     ↪ sum(scope["list"]) /
1427     ↪ len(scope["dataset"]),
1428     ↪ m_uy_name="Uy MSE",

```

```

1408         m_uy_on_batch=lambda scope:
           ↪ float(torch.sum((scope["output"][:,1,:::]
           ↪ - scope["batch"][1][:,1,:::] ** 2)),
1409         m_uy_on_epoch=lambda scope:
           ↪ sum(scope["list"]) /
           ↪ len(scope["dataset"]),
1410         m_p_name="p MSE",
1411         m_p_on_batch=lambda scope:
           ↪ float(torch.sum((scope["output"][:,2,:::]
           ↪ - scope["batch"][1][:,2,:::] ** 2)),
1412         m_p_on_epoch=lambda scope:
           ↪ sum(scope["list"]) /
           ↪ len(scope["dataset"]), patience=25,
           ↪ after_epoch=after_epoch
1413     )
1414
1415     duration = time.time() - ti
1416     print("Training time: " + str(duration//60) +
           ↪ "min and " +
           ↪ str("{:.2f}".format(duration%60)) + "sec")
1417
1418     # Guardar los el modelo
1419     torch.save(model.state_dict(), modelo_directory
           ↪ + "Modelo_geometries_" + str(cont) +
           ↪ "_data_augmentation.py")
1420
1421     metrics = {}
1422     metrics["train_metrics"] = train_metrics
1423     metrics["train_loss"] = train_loss
1424     metrics["test_metrics"] = test_metrics
1425     metrics["test_loss"] = test_loss
1426     curves = {}
1427     curves["train_loss_curve"] = train_loss_curve
1428     curves["test_loss_curve"] = test_loss_curve
1429     curves["train_mse_curve"] = train_mse_curve
1430     curves["test_mse_curve"] = test_mse_curve
1431     curves["train_ux_curve"] = train_ux_curve
1432     curves["test_ux_curve"] = test_ux_curve
1433     curves["train_uy_curve"] = train_uy_curve
1434     curves["test_uy_curve"] = test_uy_curve
1435     curves["train_p_curve"] = train_p_curve
1436     curves["test_p_curve"] = test_p_curve

```

```

1437 config["metrics"] = metrics
1438 config["curves"] = curves
1439
1440 net_param = {}
1441 net_param["num_epochs"] = epoch[ep]
1442 net_param["learning_ratio"] =
1443     ↪ learning_rate[l_r]
1444 net_param["kernel_size"] = kernelsize[ks]
1445 net_param["batch_size"] = batchsize[bs]
1446 net_param["architecture"] = filters_[filt]
1447 config["net_param"] = net_param
1448 config["training_duration"] = duration
1449
1450 with open(simulation_directory +
1451     ↪ "results_geometries_" + str(cont) +
1452     ↪ "_data_augmentation.json", "w") as file:
1453     json.dump([config, duration], file)
1454
1455 test_range = list(range(10, 20))
1456 out = DeepCFD(test_x[test_range].to(device))
1457 error = (torch.abs((out.cpu() -
1458     ↪ test_y[test_range].cpu())))/torch.abs(test_y.cpu())
1459 for s in range(10):
1460     ↪ visualize2(test_y[test_range].cpu().detach().numpy(),
1461     ↪ out.cpu().detach().numpy(),
1462     ↪ error.cpu().detach().numpy(), s,
1463     ↪ epoch[ep],
1464     ↪ learning_rate[l_r],
1465     ↪ batchsize[bs], kernelsize[ks])
1466 out_b = out.cpu().detach().numpy()
1467 error_b = error.cpu().detach().numpy()
1468 test_y_b =
1469     ↪ test_y[test_range].cpu().detach().numpy()
1470 test_x_b =
1471     ↪ test_x[test_range].cpu().detach().numpy()
1472
1473 with open(plots_subdirectory +
1474     ↪ "plots_geometries" + str(cont) +
1475     ↪ "data_augmentation.pkl", "wb") as file:
1476     pickle.dump([out_b, error_b, test_y_b,
1477     ↪ test_x_b, test_y, test_x], file)

```

1466
1467

```
cont = cont + 1
```

A.6 Test de los modelos neuronales y análisis de los resultados

Test de los modelos neuronales y análisis de los resultados de la CNN que predice los instantes futuros para velocidades variables de entrada:

```
1468 import pickle
1469 import numpy as np
1470 import math
1471 import random
1472 from matplotlib import pyplot as plt
1473 import matplotlib.gridspec as gridspec
1474 import statistics as st
1475 from sklearn import preprocessing
1476 from os import listdir
1477 from tabulate import tabulate
1478 import json
1479 import pandas as pd
1480
1481 def visualize(sample_y, out_y, error, s, n_sample, geometry):
1482
1483     minu = np.min(sample_y[s, 0, :, :])
1484     maxu = np.max(sample_y[s, 0, :, :])
1485
1486     minv = np.min(sample_y[s, 1, :, :])
1487     maxv = np.max(sample_y[s, 1, :, :])
1488
1489     minp = np.min(sample_y[s, 2, :, :])
1490     maxp = np.max(sample_y[s, 2, :, :])
1491
1492     mineu = np.min(error[s, 0, :, :])
1493     maxeu = np.max(error[s, 0, :, :])
1494
1495     minev = np.min(error[s, 1, :, :])
1496     maxev = np.max(error[s, 1, :, :])
1497
1498     minep = np.min(error[s, 2, :, :])
1499     maxep = np.max(error[s, 2, :, :])
```

```

1500
1501 plt.figure()
1502 fig = plt.gcf()
1503 plt.suptitle(geometry + ". Sample n° " + str(n_sample+s),
    ↪  fontsize=20)
1504 fig.set_size_inches(15, 10)
1505 plt.subplot(3, 3, 1)
1506 plt.title('CFD', fontsize=18)
1507 plt.imshow(np.transpose(sample_y[s, 0, :, :]), cmap='jet', vmin
    ↪  = minu, vmax = maxu, origin='lower', extent=[0,172,0,79])
1508 plt.colorbar(orientation='horizontal')
1509 plt.ylabel('Ux', fontsize=18)
1510 plt.subplot(3, 3, 2)
1511 plt.title('CNN', fontsize=18)
1512 plt.imshow(np.transpose(out_y[s, 0, :, :]), cmap='jet', vmin =
    ↪  minu, vmax = maxu, origin='lower', extent=[0,172,0,79])
1513 plt.colorbar(orientation='horizontal')
1514 plt.subplot(3, 3, 3)
1515 plt.title('Error', fontsize=18)
1516 plt.imshow(np.transpose(error[s, 0, :, :]), cmap='jet', vmin =
    ↪  mineu, vmax = maxeu, origin='lower', extent=[0,172,0,79])
1517 plt.colorbar(orientation='horizontal')
1518
1519 plt.subplot(3, 3, 4)
1520 plt.imshow(np.transpose(sample_y[s, 1, :, :]), cmap='jet', vmin
    ↪  = minv, vmax = maxv, origin='lower', extent=[0,172,0,79])
1521 plt.colorbar(orientation='horizontal')
1522 plt.ylabel('Uy', fontsize=18)
1523 plt.subplot(3, 3, 5)
1524 plt.imshow(np.transpose(out_y[s, 1, :, :]), cmap='jet', vmin =
    ↪  minv, vmax = maxv, origin='lower', extent=[0,172,0,79])
1525 plt.colorbar(orientation='horizontal')
1526 plt.subplot(3, 3, 6)
1527 plt.imshow(np.transpose(error[s, 1, :, :]), cmap='jet', vmin =
    ↪  minev, vmax = maxev, origin='lower', extent=[0,172,0,79])
1528 plt.colorbar(orientation='horizontal')
1529
1530
1531 plt.subplot(3, 3, 7)
1532 plt.imshow(np.transpose(sample_y[s, 2, :, :]), cmap='jet', vmin
    ↪  = minp, vmax = maxp, origin='lower', extent=[0,172,0,79])
1533 plt.colorbar(orientation='horizontal')

```

```

1534 plt.ylabel('p', fontsize=18)
1535 plt.subplot(3, 3, 8)
1536 plt.imshow(np.transpose(out_y[s, 2, :, :]), cmap='jet', vmin =
    ↪ minp, vmax = maxp, origin='lower', extent=[0,172,0,79])
1537 plt.colorbar(orientation='horizontal')
1538 plt.subplot(3, 3, 9)
1539 plt.imshow(np.transpose(error[s, 2, :, :]), cmap='jet', vmin =
    ↪ minep, vmax = maxep, origin='lower', extent=[0,172,0,79])
1540 plt.colorbar(orientation='horizontal')
1541 plt.tight_layout()
1542 plt.show()
1543
1544
1545 def visualize3(sample_y, s, n_sample, geometry):
1546
1547     minu = np.min(sample_y[s, 0, :, :])
1548     maxu = np.max(sample_y[s, 0, :, :])
1549
1550     minv = np.min(sample_y[s, 1, :, :])
1551     maxv = np.max(sample_y[s, 1, :, :])
1552
1553     minp = np.min(sample_y[s, 2, :, :])
1554     maxp = np.max(sample_y[s, 2, :, :])
1555
1556     plt.figure()
1557     fig = plt.gcf()
1558     plt.suptitle(geometry + ". Sample n.º " + str(n_sample+s),
    ↪     fontsize=20)
1559     fig.set_size_inches(15, 10)
1560     plt.suptitle("Time instant " + str(s+1), fontsize=20)
1561     plt.subplot(3, 1, 1)
1562     plt.title('CFD', fontsize=18)
1563     plt.imshow((sample_y[s, 0, :, :]), cmap='jet', vmin = minu,
    ↪     vmax = maxu, origin='lower', extent=[0,172,0,79])
1564     plt.colorbar(orientation='horizontal')
1565     plt.ylabel('Ux', fontsize=18)
1566
1567     plt.subplot(3, 1, 2)
1568     plt.imshow((sample_y[s, 1, :, :]), cmap='jet', vmin = minv,
    ↪     vmax = maxv, origin='lower', extent=[0,172,0,79])
1569     plt.colorbar(orientation='horizontal')
1570     plt.ylabel('Uy', fontsize=18)

```



```

1571
1572
1573 plt.subplot(3, 1, 3)
1574 plt.imshow((sample_y[s, 2, :, :]), cmap='jet', vmin = minp,
↪   vmax = maxp, origin='lower', extent=[0,172,0,79])
1575 plt.colorbar(orientation='horizontal')
1576 plt.ylabel('p', fontsize=18)
1577 plt.tight_layout()
1578 plt.show()
1579
1580 def visualize_rel_error(sample_y, out_y, error, s, input_velocity
↪   ):
1581
1582     # Visualize function with relative error added
1583
1584     minu = np.min(sample_y[s, 0, :, :])
1585     maxu = np.max(sample_y[s, 0, :, :])
1586
1587     minv = np.min(sample_y[s, 1, :, :])
1588     maxv = np.max(sample_y[s, 1, :, :])
1589
1590     minp = np.min(sample_y[s, 2, :, :])
1591     maxp = np.max(sample_y[s, 2, :, :])
1592
1593     mineu = np.min(error[s, 0, :, :])
1594     maxeu = np.max(error[s, 0, :, :])
1595
1596     minev = np.min(error[s, 1, :, :])
1597     maxev = np.max(error[s, 1, :, :])
1598
1599     minep = np.min(error[s, 2, :, :])
1600     maxep = np.max(error[s, 2, :, :])
1601
1602 plt.figure()
1603 fig = plt.gcf()
1604 fig.set_size_inches(15, 10)
1605 plt.suptitle("Time instant " + str(s+1), fontsize=20)
1606 plt.subplot(3, 4, 1)
1607 plt.title('CFD', fontsize=18)
1608 plt.imshow(np.transpose(sample_y[s, 0, :, :]), cmap='jet', vmin
↪   = minu, vmax = maxu, origin='lower', extent=[0,172,0,79])
1609 plt.colorbar(orientation='horizontal')

```

```

1610 plt.ylabel('Ux', fontsize=18)
1611 plt.subplot(3, 4, 2)
1612 plt.title('CNN', fontsize=18)
1613 plt.imshow(np.transpose(out_y[s, 0, :, :]), cmap='jet', vmin =
    ↪ minu, vmax = maxu, origin='lower', extent=[0,172,0,79])
1614 plt.colorbar(orientation='horizontal')
1615 plt.subplot(3, 4, 3)
1616 plt.title('Error', fontsize=18)
1617 plt.imshow(np.transpose(error[s, 0, :, :]), cmap='jet', vmin =
    ↪ mineu, vmax = maxeu, origin='lower', extent=[0,172,0,79])
1618 plt.colorbar(orientation='horizontal')
1619 plt.subplot(3, 4, 4)
1620
1621
1622 plt.subplot(3, 4, 5)
1623 plt.imshow(np.transpose(sample_y[s, 1, :, :]), cmap='jet', vmin
    ↪ = minv, vmax = maxv, origin='lower', extent=[0,172,0,79])
1624 plt.colorbar(orientation='horizontal')
1625 plt.ylabel('Uy', fontsize=18)
1626 plt.subplot(3, 4, 6)
1627 plt.imshow(np.transpose(out_y[s, 1, :, :]), cmap='jet', vmin =
    ↪ minv, vmax = maxv, origin='lower', extent=[0,172,0,79])
1628 plt.colorbar(orientation='horizontal')
1629 plt.subplot(3, 4, 7)
1630 plt.imshow(np.transpose(error[s, 1, :, :]), cmap='jet', vmin =
    ↪ minev, vmax = maxev, origin='lower', extent=[0,172,0,79])
1631 plt.colorbar(orientation='horizontal')
1632 plt.subplot(3, 4, 8)
1633
1634
1635 plt.subplot(3, 4, 9)
1636 plt.imshow(np.transpose(sample_y[s, 2, :, :]), cmap='jet', vmin
    ↪ = minp, vmax = maxp, origin='lower', extent=[0,172,0,79])
1637 plt.colorbar(orientation='horizontal')
1638 plt.ylabel('p', fontsize=18)
1639 plt.subplot(3, 4, 10)
1640 plt.imshow(np.transpose(out_y[s, 2, :, :]), cmap='jet', vmin =
    ↪ minp, vmax = maxp, origin='lower', extent=[0,172,0,79])
1641 plt.colorbar(orientation='horizontal')
1642 plt.subplot(3, 4, 11)
1643 plt.imshow(np.transpose(error[s, 2, :, :]), cmap='jet', vmin =
    ↪ minep, vmax = maxep, origin='lower', extent=[0,172,0,79])

```

```

1644 plt.colorbar(orientation='horizontal')
1645 plt.subplot(3, 4, 12)
1646 plt.tight_layout()
1647 plt.show()
1648
1649 def test_mean_error(plots):
1650     error = np.zeros([len(plots), 50]) # Habría que poner esto pero
    ↪ me da fallo --> len(plots[id_test][2]))
1651     max_error = np.zeros([len(plots), 50])
1652     variance = np.zeros([len(plots), 50])
1653     col = 0
1654     for key in plots:
1655         for row in range(50):
1656             error[col, row] = np.mean(plots[key][2][row, 0],
    ↪ dtype=np.float64)
1657             max_error[col, row] = np.amax(plots[key][2][row, 0])
1658             variance[col, row] = np.var(plots[key][2][row, 0], ddof
    ↪ = 1)
1659             col = col + 1
1660     mean_error = np.mean(error, axis = 0, dtype=np.float64)
1661     max_error_all = np.amax(max_error, axis = 0)
1662     variance_all = np.mean(variance, axis = 0)
1663     me_error = np.mean(mean_error)
1664     v_all = np.mean(variance_all)
1665     ma_error = np.amax(max_error_all)
1666     return mean_error, max_error_all, variance_all, me_error, v_all,
    ↪ ma_error
1667
1668 def plot_feature(feature_type, upper_limit, legend, plot_title,
    ↪ y_label):
1669     for i in range(10):
1670         plt.plot(feature_type[i], '--o', markersize = 3)
1671
1672     plt.grid(axis='both')
1673     plt.ylabel(y_label)
1674     plt.ylim((0, upper_limit))
1675     plt.legend(legend)
1676     plt.title(plot_title)
1677     plt.show()
1678
1679 if __name__ == "__main__":
1680

```

```

1681 plots = []
1682 training_info = []
1683 path = "E:/NuevasGeometrias/Resultados_NuevasGeometrias/"
1684 # path = "C:/Users/alvar/Desktop/Master/ Segundo/TFM/2ª
↳ parte/Datos para entrenamiento/Resultados_vx/"
1685
1686 plots_directories = "Plots vx/"#, "Plots vy/", "Plots p/"
1687 statistics_directories = "Estadísticas vx"#, "Estadísticas vy",
↳ "Estadísticas p"]
1688 # filepaths = [f for f in listdir(str(path +
↳ plots_directories)) if f.endswith('.pkl')]
1689 # for file in filepaths:
1690 #     data = pickle.load(open(path + plots_directories + file,
↳ "rb"))
1691 #     mean_error, max_error, variance, me_error, var_, ma_error
↳ = test_mean_error(data)
1692 #     with open(path + statistics_directories +
↳ "/plots_geometries_statistics_" + file[-6:-4] + ".json",
↳ "wb") as save_file:
1693 #         pickle.dump([mean_error, max_error, variance,
↳ me_error, var_, ma_error], save_file)
1694
1695 filepaths_vx = [f for f in listdir(str(path +
↳ plots_directories)) if f.endswith('.pkl')]
1696 data_vx = pickle.load(open(path + plots_directories +
↳ filepaths_vx[10], "rb"))
1697 filepaths_vy = [f for f in listdir(str(path + "Plots vy/")) if
↳ f.endswith('.pkl')]
1698 data_vy = pickle.load(open(path + "Plots vy/" + filepaths_vy[7],
↳ "rb"))
1699 filepaths_p = [f for f in listdir(str(path + "Plots p/")) if
↳ f.endswith('.pkl')]
1700 data_p = pickle.load(open(path + "Plots p/" + filepaths_p[5],
↳ "rb"))
1701
1702 cfd = np.zeros([50, 3, 79, 172])
1703 cnn = np.zeros([50, 3, 79, 172])
1704 error = np.zeros([50, 3, 79, 172])
1705
1706 geometry = 'circle'
1707 samples = ['244', '349', '369']
1708 # samples = ['289', '374', '279']

```

```

1709 # samples = ['115', '369', '51']
1710 # samples = ['74', '190', '317']
1711 # samples = ['169', '62', '428']
1712 # samples = ['313', '233', '19']
1713
1714 cfd[:,0,:,:] = data_vx['vx_' + geometry + '_' +
    ↪ samples[0]][0][:,0,:,:]
1715 cfd[:,1,:,:] = data_vy['vy_' + geometry + '_' +
    ↪ samples[1]][0][:,0,:,:]
1716 cfd[:,2,:,:] = data_p['p_' + geometry + '_' +
    ↪ samples[2]][0][:,0,:,:]
1717
1718 cnn[:,0,:,:] = data_vx['vx_' + geometry + '_' +
    ↪ samples[0]][1][:,0,:,:]
1719 cnn[:,1,:,:] = data_vy['vy_' + geometry + '_' +
    ↪ samples[1]][1][:,0,:,:]
1720 cnn[:,2,:,:] = data_p['p_' + geometry + '_' +
    ↪ samples[2]][1][:,0,:,:]
1721
1722 error[:,0,:,:] = data_vx['vx_' + geometry + '_' +
    ↪ samples[0]][2][:,0,:,:]
1723 error[:,1,:,:] = data_vy['vy_' + geometry + '_' +
    ↪ samples[1]][2][:,0,:,:]
1724 error[:,2,:,:] = data_p['p_' + geometry + '_' +
    ↪ samples[2]][2][:,0,:,:]
1725
1726 s = [0, 4, 9, 14, 19, 29, 39, 49]
1727
1728 for a in range(len(s)):
1729     visualize(np.moveaxis(cfd, [2,3], [3,2]),
1730               np.moveaxis(cnn, [2,3], [3,2]),
1731               np.moveaxis(error, [2,3], [3,2]),
1732               s[a], 1, "Circle")
1733
1734 cfd_vx = np.zeros([len(data_vx)*50, 1, 79, 172])
1735 out_vx = np.zeros([len(data_vx)*50, 1, 79, 172])
1736
1737 cfd_vy = np.zeros([len(data_vy)*50, 1, 79, 172])
1738 out_vy = np.zeros([len(data_vy)*50, 1, 79, 172])
1739
1740 cfd_p = np.zeros([len(data_p)*50, 1, 79, 172])
1741 out_p = np.zeros([len(data_p)*50, 1, 79, 172])

```

```

1742
1743     c = 0
1744     for key in data_vx:
1745         cfd_vx[c:c+50,:,:,:] = data_vx[key][0]
1746         out_vx[c:c+50,:,:,:] = data_vx[key][1]
1747         c = c + 50
1748
1749     c = 0
1750     for key in data_vy:
1751         cfd_vy[c:c+50,:,:,:] = data_vy[key][0]
1752         out_vy[c:c+50,:,:,:] = data_vy[key][1]
1753         c = c + 50
1754
1755     c = 0
1756     for key in data_p:
1757         cfd_p[c:c+50,:,:,:] = data_p[key][0]
1758         out_p[c:c+50,:,:,:] = data_p[key][1]
1759         c = c + 50
1760
1761     cfd_vx_mean = np.mean(cfd_vx)
1762     cfd_vy_mean = np.mean(cfd_vy)
1763     cfd_p_mean = np.mean(cfd_p)
1764     cfd_vx_std = np.std(cfd_vx)
1765     cfd_vy_std = np.std(cfd_vy)
1766     cfd_p_std = np.std(cfd_p)
1767
1768     out_vx_mean = np.mean(out_vx)
1769     out_vy_mean = np.mean(out_vy)
1770     out_p_mean = np.mean(out_p)
1771     out_vx_std = np.std(out_vx)
1772     out_vy_std = np.std(out_vy)
1773     out_p_std = np.std(out_p)
1774
1774     import os
1775     import json
1776     import torch
1777     import pickle
1778     import time
1779     from train_functions import *
1780     import torch.optim as optim
1781     from torch.utils.data import TensorDataset
1782     from Models.UNetEx import UNetEx

```

```

1783 from Models.UNet import UNet
1784 import numpy as np
1785 from matplotlib import pyplot as plt
1786 from os import listdir
1787 os.environ['KMP_DUPLICATE_LIB_OK']='True'
1788
1789 def visualize(sample_y, out_y, error, s, variable, n_sample,
↪ velocity):
1790
1791     minu = np.min(sample_y[s, 0, :, :])
1792     maxu = np.max(sample_y[s, 0, :, :])
1793
1794     # minv = np.min(sample_y[s, 1, :, :])
1795     # maxv = np.max(sample_y[s, 1, :, :])
1796
1797     # minp = np.min(sample_y[s, 2, :, :])
1798     # maxp = np.max(sample_y[s, 2, :, :])
1799
1800     mineu = np.min(error[s, 0, :, :])
1801     maxeu = np.max(error[s, 0, :, :])
1802
1803     # minev = np.min(error[s, 1, :, :])
1804     # maxev = np.max(error[s, 1, :, :])
1805
1806     # minep = np.min(error[s, 2, :, :])
1807     # maxep = np.max(error[s, 2, :, :])
1808
1809     plt.figure()
1810     fig = plt.gcf()
1811     plt.suptitle("Input velocity: " + velocity + " ms. Sample n°: "
↪ + str(n_sample+s), fontsize=20)
1812     fig.set_size_inches(15, 10)
1813     plt.subplot(3, 3, 1)
1814     plt.title('CFD', fontsize=18)
1815     plt.imshow(np.transpose(sample_y[s, 0, :, :]), cmap='jet', vmin
↪ = minu, vmax = maxu, origin='lower', extent=[0,172,0,79])
1816     plt.colorbar(orientation='horizontal')
1817     plt.ylabel(variable, fontsize=18)
1818     plt.subplot(3, 3, 2)
1819     plt.title('CNN', fontsize=18)
1820     plt.imshow(np.transpose(out_y[s, 0, :, :]), cmap='jet', vmin =
↪ minu, vmax = maxu, origin='lower', extent=[0,172,0,79])

```

```

1821 plt.colorbar(orientation='horizontal')
1822 plt.subplot(3, 3, 3)
1823 plt.title('Error', fontsize=18)
1824 plt.imshow(np.transpose(error[s, 0, :, :]), cmap='jet', vmin =
    ↪ mineu, vmax = maxeu, origin='lower', extent=[0,172,0,79])
1825 plt.colorbar(orientation='horizontal')
1826
1827 # plt.subplot(3, 3, 4)
1828 # plt.imshow(np.transpose(sample_y[s, 1, :, :]), cmap='jet',
    ↪ vmin = minv, vmax = maxv, origin='lower',
    ↪ extent=[0,172,0,79])
1829 # plt.colorbar(orientation='horizontal')
1830 # plt.ylabel('Uy', fontsize=18)
1831 # plt.subplot(3, 3, 5)
1832 # plt.imshow(np.transpose(out_y[s, 1, :, :]), cmap='jet', vmin
    ↪ = minv, vmax = maxv, origin='lower', extent=[0,172,0,79])
1833 # plt.colorbar(orientation='horizontal')
1834 # plt.subplot(3, 3, 6)
1835 # plt.imshow(np.transpose(error[s, 1, :, :]), cmap='jet', vmin
    ↪ = minev, vmax = maxev, origin='lower', extent=[0,172,0,79])
1836 # plt.colorbar(orientation='horizontal')
1837
1838
1839 # plt.subplot(3, 3, 7)
1840 # plt.imshow(np.transpose(sample_y[s, 2, :, :]), cmap='jet',
    ↪ vmin = minp, vmax = maxp, origin='lower',
    ↪ extent=[0,172,0,79])
1841 # plt.colorbar(orientation='horizontal')
1842 # plt.ylabel('p', fontsize=18)
1843 # plt.subplot(3, 3, 8)
1844 # plt.imshow(np.transpose(out_y[s, 2, :, :]), cmap='jet', vmin
    ↪ = minp, vmax = maxp, origin='lower', extent=[0,172,0,79])
1845 # plt.colorbar(orientation='horizontal')
1846 # plt.subplot(3, 3, 9)
1847 # plt.imshow(np.transpose(error[s, 2, :, :]), cmap='jet', vmin
    ↪ = minep, vmax = maxep, origin='lower', extent=[0,172,0,79])
1848 # plt.colorbar(orientation='horizontal')
1849 plt.tight_layout()
1850 plt.show()
1851
1852 def visualize2(sample_y, s, file):
1853

```



```

1854 plt.figure()
1855 fig = plt.gcf()
1856 # fig.set_size_inches(15, 10)
1857
1858 minu = np.min(sample_y[s, 0, :, :])
1859 maxu = np.max(sample_y[s, 0, :, :])
1860
1861 plt.imshow(np.transpose(sample_y[s, 0, :, :]), cmap='jet', vmin
↪ = minu, vmax = maxu, origin='lower', extent=[0,172,0,79])
1862 plt.colorbar(orientation='horizontal')
1863 plt.title("Test " + file)
1864 plt.tight_layout()
1865 plt.show()
1866
1867 def test_CNN(n_instantes, x_ms, n_test):
1868
1869     ti = time.time()
1870
1871     out = torch.empty((n_instantes,3,172,79))
1872     x_ms = torch.FloatTensor(x_ms)
1873     out[:,0:2,:,:]=x_ms[0,:2,:,:]
1874
1875     out[0,2,:,:] = model_prueba(x_ms[n_test:n_test+1])
1876
1877     for i in range (1,n_instantes,1):
1878         print("Sample: " + str(i))
1879         out[i,2,:,:] = model_prueba(out[i-1:i])
1880     out2=out[:,2:3,:,:]
1881     out2=out2.reshape([n_instantes,1,172,79])
1882     tout = time.time()
1883
1884     duration = tout-ti
1885
1886     return out2, duration
1887
1888
1889 if __name__ == "__main__":
1890
1891     path = "E:/CNN Velocidades/Modelos/"
1892
1893
1894     torch.manual_seed(0)

```

```

1895 lr = 0.0001
1896 # lr = 0.0001
1897 # kernel_size = 3
1898 # kernel_size = 5
1899 kernel_size = 7
1900 filters = [8, 16, 32, 32]
1901 bn = False
1902 wn = False
1903 wd = 0.005
1904 beta1 = 0.5
1905 beta2 = 0.5
1906
1907 model_prueba = UNetEx(3, 1, filters=filters,
↪ kernel_size=kernel_size, batch_norm=bn, weight_norm=wn)
1908 # model_prueba.load_state_dict(torch.load(path +
↪ "Modelo_vy13.py", map_location=torch.device('cpu')))
1909 model_prueba.load_state_dict(torch.load(path + "Modelo_vy27.py",
↪ map_location=torch.device('cpu')))
1910 # model_prueba.load_state_dict(torch.load(path +
↪ "Modelo_p26.py", map_location=torch.device('cpu')))
1911 model_prueba.eval()
1912
1913
1914 path = "E:/NuevasGeometrias/Resultados_NuevasGeometrias
↪ /Resultados_first_sample/tests_first_sample/"
1915 geom_index = [1, 63, 121, 723, 1305, 1923]
1916 geometry = ["circle", "square", "triangle_eq", "rectangle",
↪ "ellipse", "triangle"]
1917 cfd_all = np.zeros([len(geometry)*50, 1, 172, 79])
1918 out_all = np.zeros([len(geometry)*50, 1, 172, 79])
1919 for g_i in range(len(geometry)):
1920     # cfd = pickle.load(open(path + "Test geometrias no
↪ vistas/dataY_1300_1001_1050.pkl", "rb"))
1921     cfd = pickle.load(open("E:/NuevasGeometrias/Y_geom" +
↪ str(geom_index[g_i]) + "_interpolated.pkl", "rb"))
1922     # filepaths = [f for f in listdir(str(path)) if
↪ f.endswith('.pkl')]
1923     # for file in filepaths:
1924     #     with open(path + file, 'rb') as f:
1925     #         input_data.append(pickle.load(f))
1926     input_data = []
1927     input_data.append(pickle.load(open(path +

```

```

1928         "input_data_geometry_" +
           ↪ geometry[g_i]
1929         +
           ↪ "_size_factor_1_rotation_angle_1_variable_vx."
           ↪ "rb"))
1930 x = np.zeros([1,3,172,79])
1931 x[:, -1, :, :] = input_data[0][0][[:, 1, :, :].detach().numpy()
1932 x[:, 0, :, :] = input_data[0][1]
1933 x[:, 1, :, :] = input_data[0][2]
1934
1935     # with open(simulation_directory + "plots_" + velocity
           ↪ + "ms_" + variable + "_Final_v2" + str(n_test) +
           ↪ ".pkl", "wb") as file:
1936         # pickle.dump([out, error, y], file)
1937
1938     variable = 'vy'
1939     n_instantes = 50
1940     out2, duration = test_CNN(n_instantes, x, 0)
1941     # cfd = cfd[:, [1,2,0], :, :]
1942     cfd = torch.tensor(np.moveaxis(cfd, [2,3], [3,2]))
1943     cfd = cfd[:, 2:3, :, :]
1944     error = abs(cfd[:n_instantes, :, :, :] - out2)
1945     s = [0, 4, 9, 14, 19, 29, 39, 49]
1946     for a in s:
1947         # visualize2(out2.detach().numpy(), s, filepaths[0])
1948         visualize(cfd.detach().numpy(), out2.detach().numpy(),
1949                 error.detach().numpy(), a, variable, 1, "5")
1950
1951     path2 = "E:/NuevasGeometrias
           ↪ /Resultados_NuevasGeometrias/test_nuevas_geometrias/"
1952     with open(path2 + "test_" + geometry[g_i] + '_' + variable
           ↪ + ".pkl", "wb") as file:
1953         pickle.dump([cfd.detach().numpy()[:n_instantes],
           ↪ out2.detach().numpy(),
1954                 error.detach().numpy()], file)
1955
1956     cfd_all[g_i*50:(g_i+1)*50] = cfd[:50].detach().numpy()
1957     out_all[g_i*50:(g_i+1)*50] = out2.detach().numpy()
1958
1959     mean_value_cfd = np.mean(cfd_all[:, 0, :, :])
1960     std_cfd = np.std(cfd_all[:, 0, :, :])
1961

```

```

1962 mean_value_cnn = np.mean(out_all[:,0,:,:])
1963 std_cnn = np.std(out_all[:,0,:,:])
1964
1965 sample10 = [x+10 for x in sample1]
1966 sample15 = [x+15 for x in sample1]
1967 sample20 = [x+20 for x in sample1]
1968 sample30 = [x+30 for x in sample1]
1969 sample40 = [x+40 for x in sample1]
1970 sample50 = [x+50 for x in sample1]
1971 sample = [sample1, sample5, sample10, sample15, sample20,
↪ sample30,
           sample40, sample50]
1972
1973 samples = [1, 5, 10, 15, 20, 30, 40, 50]
1974
1975 for s in range(len(sample)):
1976     cfd = cfd_all[sample[s]]
1977     out = out_all[sample[s]]
1978     gen_data_distribution(cfd, out, samples[s])

```

Test de los modelos neuronales y análisis de los resultados de la CNN que predice los instantes futuros para geometrías variables:

```

1979 import pickle
1980 import numpy as np
1981 import math
1982 import random
1983 from matplotlib import pyplot as plt
1984 import matplotlib.gridspec as gridspec
1985 import statistics as st
1986 from sklearn import preprocessing
1987 from os import listdir
1988 from tabulate import tabulate
1989 import json
1990 import pandas as pd
1991
1992 def visualize(sample_y, out_y, error, s, variable, n_sample,
↪ velocity):
1993
1994     minu = np.min(sample_y[s, :, :])
1995     maxu = np.max(sample_y[s, :, :])
1996
1997     # minv = np.min(sample_y[s, 1, :, :])

```

```

1998 # maxv = np.max(sample_y[s, 1, :, :])
1999
2000 # minp = np.min(sample_y[s, 2, :, :])
2001 # maxp = np.max(sample_y[s, 2, :, :])
2002
2003 mineu = np.min(error[s, :, :])
2004 maxeu = np.max(error[s, :, :])
2005
2006 # minev = np.min(error[s, 1, :, :])
2007 # maxev = np.max(error[s, 1, :, :])
2008
2009 # minep = np.min(error[s, 2, :, :])
2010 # maxep = np.max(error[s, 2, :, :])
2011
2012 plt.figure()
2013 fig = plt.gcf()
2014 plt.suptitle("Input velocity: " + velocity + " ms. Sample nº: "
2015   ↪ + str(n_sample+s), fontsize=20)
2016 fig.set_size_inches(15, 10)
2017 plt.subplot(3, 3, 1)
2018 plt.title('CFD', fontsize=18)
2019 plt.imshow(np.transpose(sample_y[s, :, :]), cmap='jet', vmin =
2020   ↪ minu, vmax = maxu, origin='lower', extent=[0,172,0,79])
2021 plt.colorbar(orientation='horizontal')
2022 plt.ylabel(variable, fontsize=18)
2023 plt.subplot(3, 3, 2)
2024 plt.title('CNN', fontsize=18)
2025 plt.imshow(np.transpose(out_y[s, :, :]), cmap='jet', vmin =
2026   ↪ minu, vmax = maxu, origin='lower', extent=[0,172,0,79])
2027 plt.colorbar(orientation='horizontal')
2028 plt.subplot(3, 3, 3)
2029 plt.title('Error', fontsize=18)
2030 plt.imshow(np.transpose(error[s, :, :]), cmap='jet', vmin =
2031   ↪ mineu, vmax = maxeu, origin='lower', extent=[0,172,0,79])
2032 plt.colorbar(orientation='horizontal')
2033 # plt.subplot(3, 3, 4)
2034 # plt.imshow(np.transpose(sample_y[s, 1, :, :]), cmap='jet',
2035   ↪ vmin = minv, vmax = maxv, origin='lower',
2036   ↪ extent=[0,172,0,79])
2037 # plt.colorbar(orientation='horizontal')
2038 # plt.ylabel('Uy', fontsize=18)

```

```

2034 # plt.subplot(3, 3, 5)
2035 # plt.imshow(np.transpose(out_y[s, 1, :, :]), cmap='jet', vmin
↪ = minv, vmax = maxv, origin='lower', extent=[0,172,0,79])
2036 # plt.colorbar(orientation='horizontal')
2037 # plt.subplot(3, 3, 6)
2038 # plt.imshow(np.transpose(error[s, 1, :, :]), cmap='jet', vmin
↪ = minev, vmax = maxev, origin='lower', extent=[0,172,0,79])
2039 # plt.colorbar(orientation='horizontal')
2040
2041
2042 # plt.subplot(3, 3, 7)
2043 # plt.imshow(np.transpose(sample_y[s, 2, :, :]), cmap='jet',
↪ vmin = minp, vmax = maxp, origin='lower',
↪ extent=[0,172,0,79])
2044 # plt.colorbar(orientation='horizontal')
2045 # plt.ylabel('p', fontsize=18)
2046 # plt.subplot(3, 3, 8)
2047 # plt.imshow(np.transpose(out_y[s, 2, :, :]), cmap='jet', vmin
↪ = minp, vmax = maxp, origin='lower', extent=[0,172,0,79])
2048 # plt.colorbar(orientation='horizontal')
2049 # plt.subplot(3, 3, 9)
2050 # plt.imshow(np.transpose(error[s, 2, :, :]), cmap='jet', vmin
↪ = minep, vmax = maxep, origin='lower', extent=[0,172,0,79])
2051 # plt.colorbar(orientation='horizontal')
2052 plt.tight_layout()
2053 plt.show()
2054
2055
2056 def visualize3(sample_y, s):
2057
2058     minu = np.min(sample_y[s, 0, :, :])
2059     maxu = np.max(sample_y[s, 0, :, :])
2060
2061     minv = np.min(sample_y[s, 1, :, :])
2062     maxv = np.max(sample_y[s, 1, :, :])
2063
2064     minp = np.min(sample_y[s, 2, :, :])
2065     maxp = np.max(sample_y[s, 2, :, :])
2066
2067     plt.figure()
2068     fig = plt.gcf()
2069     fig.set_size_inches(15, 10)

```

```

2070 plt.suptitle("Time instant " + str(s+1), fontsize=20)
2071 plt.subplot(3, 1, 1)
2072 plt.title('CFD', fontsize=18)
2073 plt.imshow((sample_y[s, 0, :, :]), cmap='jet', vmin = minu,
↪   vmax = maxu, origin='lower', extent=[0,172,0,79])
2074 plt.colorbar(orientation='horizontal')
2075 plt.ylabel('Ux', fontsize=18)
2076
2077 plt.subplot(3, 1, 2)
2078 plt.imshow((sample_y[s, 1, :, :]), cmap='jet', vmin = minv,
↪   vmax = maxv, origin='lower', extent=[0,172,0,79])
2079 plt.colorbar(orientation='horizontal')
2080 plt.ylabel('Uy', fontsize=18)
2081
2082
2083 plt.subplot(3, 1, 3)
2084 plt.imshow((sample_y[s, 2, :, :]), cmap='jet', vmin = minp,
↪   vmax = maxp, origin='lower', extent=[0,172,0,79])
2085 plt.colorbar(orientation='horizontal')
2086 plt.ylabel('p', fontsize=18)
2087 plt.tight_layout()
2088 plt.show()
2089
2090 def visualize_rel_error(sample_y, out_y, error, s, input_velocity
↪ ):
2091
2092     # Visualize function with relative error added
2093
2094     minu = np.min(sample_y[s, 0, :, :])
2095     maxu = np.max(sample_y[s, 0, :, :])
2096
2097     minv = np.min(sample_y[s, 1, :, :])
2098     maxv = np.max(sample_y[s, 1, :, :])
2099
2100     minp = np.min(sample_y[s, 2, :, :])
2101     maxp = np.max(sample_y[s, 2, :, :])
2102
2103     mineu = np.min(error[s, 0, :, :])
2104     maxeu = np.max(error[s, 0, :, :])
2105
2106     minev = np.min(error[s, 1, :, :])
2107     maxev = np.max(error[s, 1, :, :])

```

```

2108
2109 minep = np.min(error[s, 2, :, :])
2110 maxep = np.max(error[s, 2, :, :])
2111
2112 plt.figure()
2113 fig = plt.gcf()
2114 fig.set_size_inches(15, 10)
2115 plt.suptitle("Time instant " + str(s+1), fontsize=20)
2116 plt.subplot(3, 4, 1)
2117 plt.title('CFD', fontsize=18)
2118 plt.imshow(np.transpose(sample_y[s, 0, :, :]), cmap='jet', vmin
↵ = minu, vmax = maxu, origin='lower', extent=[0,172,0,79])
2119 plt.colorbar(orientation='horizontal')
2120 plt.ylabel('Ux', fontsize=18)
2121 plt.subplot(3, 4, 2)
2122 plt.title('CNN', fontsize=18)
2123 plt.imshow(np.transpose(out_y[s, 0, :, :]), cmap='jet', vmin =
↵ minu, vmax = maxu, origin='lower', extent=[0,172,0,79])
2124 plt.colorbar(orientation='horizontal')
2125 plt.subplot(3, 4, 3)
2126 plt.title('Error', fontsize=18)
2127 plt.imshow(np.transpose(error[s, 0, :, :]), cmap='jet', vmin =
↵ mineu, vmax = maxeu, origin='lower', extent=[0,172,0,79])
2128 plt.colorbar(orientation='horizontal')
2129 plt.subplot(3, 4, 4)
2130
2131
2132 plt.subplot(3, 4, 5)
2133 plt.imshow(np.transpose(sample_y[s, 1, :, :]), cmap='jet', vmin
↵ = minv, vmax = maxv, origin='lower', extent=[0,172,0,79])
2134 plt.colorbar(orientation='horizontal')
2135 plt.ylabel('Uy', fontsize=18)
2136 plt.subplot(3, 4, 6)
2137 plt.imshow(np.transpose(out_y[s, 1, :, :]), cmap='jet', vmin =
↵ minv, vmax = maxv, origin='lower', extent=[0,172,0,79])
2138 plt.colorbar(orientation='horizontal')
2139 plt.subplot(3, 4, 7)
2140 plt.imshow(np.transpose(error[s, 1, :, :]), cmap='jet', vmin =
↵ minev, vmax = maxev, origin='lower', extent=[0,172,0,79])
2141 plt.colorbar(orientation='horizontal')
2142 plt.subplot(3, 4, 8)
2143

```



```

2144
2145 plt.subplot(3, 4, 9)
2146 plt.imshow(np.transpose(sample_y[s, 2, :, :]), cmap='jet', vmin
↳ = minp, vmax = maxp, origin='lower', extent=[0,172,0,79])
2147 plt.colorbar(orientation='horizontal')
2148 plt.ylabel('p', fontsize=18)
2149 plt.subplot(3, 4, 10)
2150 plt.imshow(np.transpose(out_y[s, 2, :, :]), cmap='jet', vmin =
↳ minp, vmax = maxp, origin='lower', extent=[0,172,0,79])
2151 plt.colorbar(orientation='horizontal')
2152 plt.subplot(3, 4, 11)
2153 plt.imshow(np.transpose(error[s, 2, :, :]), cmap='jet', vmin =
↳ minep, vmax = maxep, origin='lower', extent=[0,172,0,79])
2154 plt.colorbar(orientation='horizontal')
2155 plt.subplot(3, 4, 12)
2156 plt.tight_layout()
2157 plt.show()
2158
2159 def test_mean_error(plots):
2160     error = np.zeros([len(plots), 50]) # Habría que poner esto pero
↳ me da fallo --> len(plots[id_test][2]))
2161     max_error = error
2162     variance = error
2163     col = 0
2164     for key in plots:
2165         for row in range(50): #
2166             error[col, row] = np.mean(plots[key][2][row],
↳ dtype=np.float64)
2167             max_error[col, row] = np.max(plots[key][2][row])
2168             variance[col, row] = np.var(plots[key][2][row], ddof =
↳ 1)
2169             col = col + 1
2170     mean_error = np.mean(error, axis = 0, dtype=np.float64)
2171     max_error_all = np.max(max_error, axis = 0)
2172     variance_all = np.mean(variance, axis = 0)
2173     me_error = np.mean(mean_error)
2174     v_all = np.mean(variance_all)
2175     ma_error = np.max(max_error_all)
2176     return mean_error, max_error_all, variance_all, me_error, v_all,
↳ ma_error
2177

```

```

2178 def plot_feature(feature_type, upper_limit, legend, plot_title,
↳ y_label):
2179     for i in range(10):
2180         plt.plot(feature_type[i], '--o', markersize = 3)
2181
2182     plt.grid(axis='both')
2183     plt.ylabel(y_label)
2184     plt.ylim((0, upper_limit))
2185     plt.legend(legend)
2186     plt.title(plot_title)
2187     plt.show()
2188
2189 def get_sub(x):
2190     normal =
↳ "ABCDEFGHIJKLMNOPQRSTUVWXYZabcdefghijklmnopqrstuvwxyz0123456789+==()"
2191     sub_s = "CDGQwZw"
2192     res = x.maketrans(''.join(normal), ''.join(sub_s))
2193     return x.translate(res)
2194
2195 def gen_data_distribution(CFD, out, sample):
2196     ## Distribucion de los datos:
2197     CFD_array = np.array(CFD)
2198     out_array = np.array(out)
2199
2200     fig, ax = plt.subplots()
2201     fig.set_size_inches(7, 4)
2202     # plt.title('Histogram u{}'.format(get_sub('y')) + '. Sample
↳ n.º ' + str(sample+1), fontsize = 20)
2203     plt.title('Histogram p' + '. Sample n.º ' + str(sample+1),
↳ fontsize = 20)
2204     fig.tight_layout()
2205     n, bins, patches =
↳ plt.hist(CFD_array[:,0, :, :].reshape(len(CFD)*79*172),
2206                                     200, density=False, facecolor='r',
2207                                     alpha=0.5)
2208     n, bins, patches =
↳ plt.hist(out_array[:,0, :, :].reshape(len(out)*79*172),
2209                                     200, density=False, facecolor='b',
2210                                     alpha=0.5)
2211     # plt.xlabel('u{}'.format(get_sub('y')) + ' [m/s]', fontsize =
↳ 18)
2212     plt.xlabel('p [Pa]', fontsize = 18)

```

```

2213 plt.rc('xtick', labelsizesize = 14)
2214 plt.rc('ytick', labelsizesize = 14)
2215 if sample == 0:
2216     plt.legend(['CFD', 'CNN'], fontsize = 16)
2217 plt.grid(True)
2218 ax.set_yscale('log')
2219 path = 'C:/Users/alvar/Desktop/Master/Segundo/TFM/2ª
    ↪ parte/Imagenes para TFM/Instantes futuros
    ↪ geometrias/Histogramas'
2220 plt.savefig(path + '/Histogram p muestra: ' + str(sample+1) +
    ↪ '.png', format="png")
2221 plt.show()
2222
2223 if __name__ == "__main__":
2224
2225     mean_error_list = []
2226     max_error_list = []
2227     variance_list = []
2228     me_error_list = []
2229     var_list = []
2230     ma_error_list = []
2231
2232     plots = []
2233     training_info = []
2234     path = "E:/NuevasGeometrias/Resultados_NuevasGeometrias/"
2235     # path = "C:/Users/alvar/Desktop/Master/Segundo/TFM/2ª
    ↪ parte/Datos para entrenamiento/Resultados_vy_p/"
2236
2237     statistics_directory = "Estadisticas p/"
2238     plots_directory = "Plots p/"
2239
2240     filepaths = [f for f in listdir(str(path +
    ↪ statistics_directory)) if f.endswith('.json')]
2241     for file in filepaths:
2242         mean_error, max_error, variance, me_error, var_, ma_error =
    ↪ pickle.load(open(path + statistics_directory + file,
    ↪ "rb"))
2243         mean_error_list.append(mean_error)
2244         max_error_list.append(max_error)
2245         variance_list.append(variance)
2246         me_error_list.append(me_error)
2247         var_list.append(var_)

```

```

2248     ma_error_list.append(ma_error)
2249 filepaths = [f for f in listdir(str(path + plots_directory)) if
↪ f.endswith('.json')]
2250 for file in filepaths:
2251     data = json.load(open(path + plots_directory + file, "rb"))
2252     training_info.append(data)
2253
2254 xlabel = []
2255 training_duration = []
2256 for i in range(len(training_info)):
2257     xlabel.insert(-1, 'Test n°' + str(i+3))
2258
↪     training_duration.append(training_info[i]['training_duration']/3600)
2259 plt.plot(training_duration, '--bo', markersize = 3)
2260 plt.grid(axis='both')
2261 # plt.xlabel(xlabel)
2262 plt.ylabel('Time (min)')
2263 plt.title('Training duration of each model')
2264 plt.show()
2265
2266 table_data = []
2267 col_names = ["Id", "Train time (h)", "Num_epochs", "Lr",
↪ "Kernel_size", "Batch_size",
2268             "MeErr " + statistics_directory[-3:-1], "MaxErr "
↪ + statistics_directory[-3:-1]]
2269 for i in range(len(me_error_list)):
2270     table_data.append([filepaths[i] [-7:-5],
2271
↪         training_info[i] ["training_duration"]/3600,
2272
↪         training_info[i] ["net_param"] ['num_epochs'],
2273
↪         training_info[i] ["net_param"] ['learning_ratio'],
2274
↪         training_info[i] ["net_param"] ['kernel_size'],
2275
↪         training_info[i] ["net_param"] ['batch_size'],
2276         me_error_list[i], ma_error_list[i]])
2277 table = pd.DataFrame(table_data, columns = col_names)
2278 # table = tabulate(table_data, headers = col_names)
2279 print(table)
2280

```

```

2281 table.to_csv(path + statistics_directory +
    ↪ 'training_information.csv')
2282
2283 # plot_feature(mean_error_list, 70, legend, 'Mean error for
    ↪ each prediction',
2284 #             'Mean error (m/s)')
2285 # plot_feature(max_error_list, 40, legend, 'Maximum error for
    ↪ each prediction',
2286 #             'Max error (m/s)')
2287 # plot_feature(variance_list, 10, legend, 'Variance for each
    ↪ prediction',
2288 #             'Variance (m2/s2)')
2289
2290 filepaths = [f for f in listdir(str(path + plots_directory)) if
    ↪ f.endswith('.pkl')]
2291 # data = pickle.load(open(path + plots_directory +
    ↪ filepaths[10], "rb"))
2292 # data = pickle.load(open(path + plots_directory + filepaths[7],
    ↪ "rb"))
2293 data = pickle.load(open(path + plots_directory + filepaths[5],
    ↪ "rb"))
2294
2295
2296 s = [0, 4, 9, 14, 19, 29, 39, 49]
2297
2298 for a in s:
2299     c = 0
2300     CFD = np.zeros([len(data), 1, 79, 172])
2301     out = np.zeros([len(data), 1, 79, 172])
2302     for key in data:
2303         CFD[c,0,:,:] = data[key][0][a,0,:,:]
2304         out[c,0,:,:] = data[key][1][a,0,:,:]
2305         c = c+1
2306     gen_data_distribution(CFD, out, a)
2307
2307 import os
2308 import json
2309 import torch
2310 import pickle
2311 import time
2312 from train_functions import *
2313 import torch.optim as optim

```

```

2314 from torch.utils.data import TensorDataset
2315 from Models.UNetEx import UNetEx
2316 from Models.UNet import UNet
2317 import numpy as np
2318 from matplotlib import pyplot as plt
2319 from os import listdir
2320 os.environ['KMP_DUPLICATE_LIB_OK']='True'
2321
2322 def visualize(sample_y, out_y, error, s, variable, n_sample,
↳ velocity):
2323
2324     minu = np.min(sample_y[s, 0, :, :])
2325     maxu = np.max(sample_y[s, 0, :, :])
2326
2327     # minv = np.min(sample_y[s, 1, :, :])
2328     # maxv = np.max(sample_y[s, 1, :, :])
2329
2330     # minp = np.min(sample_y[s, 2, :, :])
2331     # maxp = np.max(sample_y[s, 2, :, :])
2332
2333     mineu = np.min(error[s, 0, :, :])
2334     maxeu = np.max(error[s, 0, :, :])
2335
2336     # minev = np.min(error[s, 1, :, :])
2337     # maxev = np.max(error[s, 1, :, :])
2338
2339     # minep = np.min(error[s, 2, :, :])
2340     # maxep = np.max(error[s, 2, :, :])
2341
2342     plt.figure()
2343     fig = plt.gcf()
2344     plt.suptitle("Input velocity: " + velocity + " ms. Sample n°: "
↳ + str(n_sample+s), fontsize=20)
2345     fig.set_size_inches(15, 10)
2346     plt.subplot(3, 3, 1)
2347     plt.title('CFD', fontsize=18)
2348     plt.imshow(np.transpose(sample_y[s, 0, :, :]), cmap='jet', vmin
↳ = minu, vmax = maxu, origin='lower', extent=[0,172,0,79])
2349     plt.colorbar(orientation='horizontal')
2350     plt.ylabel(variable, fontsize=18)
2351     plt.subplot(3, 3, 2)
2352     plt.title('CNN', fontsize=18)

```

```

2353 plt.imshow(np.transpose(out_y[s, 0, :, :]), cmap='jet', vmin =
    ↪  min_u, vmax = max_u, origin='lower', extent=[0,172,0,79])
2354 plt.colorbar(orientation='horizontal')
2355 plt.subplot(3, 3, 3)
2356 plt.title('Error', fontsize=18)
2357 plt.imshow(np.transpose(error[s, 0, :, :]), cmap='jet', vmin =
    ↪  min_eu, vmax = max_eu, origin='lower', extent=[0,172,0,79])
2358 plt.colorbar(orientation='horizontal')
2359
2360 # plt.subplot(3, 3, 4)
2361 # plt.imshow(np.transpose(sample_y[s, 1, :, :]), cmap='jet',
    ↪  vmin = min_v, vmax = max_v, origin='lower',
    ↪  extent=[0,172,0,79])
2362 # plt.colorbar(orientation='horizontal')
2363 # plt.ylabel('Uy', fontsize=18)
2364 # plt.subplot(3, 3, 5)
2365 # plt.imshow(np.transpose(out_y[s, 1, :, :]), cmap='jet', vmin
    ↪  = min_v, vmax = max_v, origin='lower', extent=[0,172,0,79])
2366 # plt.colorbar(orientation='horizontal')
2367 # plt.subplot(3, 3, 6)
2368 # plt.imshow(np.transpose(error[s, 1, :, :]), cmap='jet', vmin
    ↪  = min_ev, vmax = max_ev, origin='lower', extent=[0,172,0,79])
2369 # plt.colorbar(orientation='horizontal')
2370
2371
2372 # plt.subplot(3, 3, 7)
2373 # plt.imshow(np.transpose(sample_y[s, 2, :, :]), cmap='jet',
    ↪  vmin = min_p, vmax = max_p, origin='lower',
    ↪  extent=[0,172,0,79])
2374 # plt.colorbar(orientation='horizontal')
2375 # plt.ylabel('p', fontsize=18)
2376 # plt.subplot(3, 3, 8)
2377 # plt.imshow(np.transpose(out_y[s, 2, :, :]), cmap='jet', vmin
    ↪  = min_p, vmax = max_p, origin='lower', extent=[0,172,0,79])
2378 # plt.colorbar(orientation='horizontal')
2379 # plt.subplot(3, 3, 9)
2380 # plt.imshow(np.transpose(error[s, 2, :, :]), cmap='jet', vmin
    ↪  = min_ep, vmax = max_ep, origin='lower', extent=[0,172,0,79])
2381 # plt.colorbar(orientation='horizontal')
2382 plt.tight_layout()
2383 plt.show()
2384

```

```

2385 def visualize2(sample_y, s, file):
2386
2387     plt.figure()
2388     fig = plt.gcf()
2389     # fig.set_size_inches(15, 10)
2390
2391     minu = np.min(sample_y[s, 0, :, :])
2392     maxu = np.max(sample_y[s, 0, :, :])
2393
2394     plt.imshow(np.transpose(sample_y[s, 0, :, :]), cmap='jet', vmin
    ↪ = minu, vmax = maxu, origin='lower', extent=[0,172,0,79])
2395     plt.colorbar(orientation='horizontal')
2396     plt.title("Test " + file)
2397     plt.tight_layout()
2398     plt.show()
2399
2400 def test_CNN(n_instantes, x_ms, n_test):
2401
2402     ti = time.time()
2403
2404     out = torch.empty((n_instantes,3,172,79))
2405     x_ms = torch.FloatTensor(x_ms)
2406     out[:,0:2,:,:]=x_ms[0,:2,:,:]
2407
2408     out[0,2,:,:] = model_prueba(x_ms[n_test:n_test+1])
2409
2410     for i in range (1,n_instantes,1):
2411         print("Sample: " + str(i))
2412         out[i,2,:,:] = model_prueba(out[i-1:i])
2413     out2=out[:,2:3,:,:]
2414     out2=out2.reshape([n_instantes,1,172,79])
2415     tout = time.time()
2416
2417     duration = tout-ti
2418
2419     return out2, duration
2420
2421 def gen_data_distribution(CFD, out, sample):
2422     ## Distribucion de los datos:
2423     CFD_array = np.array(CFD)
2424     out_array = np.array(out)
2425

```



```

2426 fig, ax = plt.subplots()
2427 fig.set_size_inches(7, 4)
2428 # plt.title('Histogram u{}'.format(get_sub('y'))) + '. Sample
    ↪ n.º ' + str(sample+1), fontsize = 20)
2429 plt.title('Histogram p' + '. Sample n.º ' + str(sample),
    ↪ fontsize = 20)
2430 fig.tight_layout()
2431 n, bins, patches =
    ↪ plt.hist(CFD_array[:,0,:,:].reshape(len(CFD)*79*172),
2432             200, density=False, facecolor='r',
2433             alpha=0.5)
2434 n, bins, patches =
    ↪ plt.hist(out_array[:,0,:,:].reshape(len(out)*79*172),
2435             200, density=False, facecolor='b',
2436             alpha=0.5)
2437 # plt.xlabel('u{}'.format(get_sub('y'))) + ' [m/s]', fontsize =
    ↪ 18)
2438 plt.xlabel('p [Pa]', fontsize = 18)
2439 plt.rc('xtick', labelsiz = 14)
2440 plt.rc('ytick', labelsiz = 14)
2441 if sample == 1:
2442     plt.legend(['CFD', 'CNN'], fontsize = 16)
2443 plt.grid(True)
2444 ax.set_yscale('log')
2445 # path = 'C:/Users/alvar/Desktop/Master/Segundo/TFM/2ª
    ↪ parte/Imagenes para TFM/Instantes futuros
    ↪ geometrias/Histogramas'
2446 # plt.savefig(path + '/Histogram p muestra: ' + str(sample+1) +
    ↪ '.png', format="png")
2447 plt.show()
2448
2449 if __name__ == "__main__":
2450
2451     path = "E:/NuevasGeometrias/Resultados_NuevasGeometrias
    ↪ /Modelos/"
2452
2453     torch.manual_seed(0)
2454     # lr = 0.001
2455     lr = 0.0001
2456     # kernel_size = 3
2457     kernel_size = 5
2458     # kernel_size = 7

```

```

2459 filters = [8, 16, 32, 32]
2460 bn = False
2461 wn = False
2462 wd = 0.005
2463 beta1 = 0.5
2464 beta2 = 0.5
2465
2466 model_prueba = UNetEx(3, 1, filters=filters,
↪ kernel_size=kernel_size, batch_norm=bn, weight_norm=wn)
2467 # model_prueba.load_state_dict(torch.load(path +
↪ "Modelo_geometries_vx15.py",
↪ map_location=torch.device('cpu')))
2468 model_prueba.load_state_dict(torch.load(path +
↪ "Modelo_geometries_vy207.py",
↪ map_location=torch.device('cpu')))
2469 # model_prueba.load_state_dict(torch.load(path +
↪ "Modelo_geometries_p205.py",
↪ map_location=torch.device('cpu')))
2470 model_prueba.eval()
2471
2472
2473 path = "E:/NuevasGeometrias/Resultados_NuevasGeometrias/
↪ Resultados_first_sample/tests_first_sample/"
2474 geom_index = [1, 63, 121, 723, 1305, 1923]
2475 geometry = ["circle", "square", "triangle_eq", "rectangle",
↪ "ellipse", "triangle"]
2476 cfd_all = np.zeros([len(geometry)*50, 1, 172, 79])
2477 out_all = np.zeros([len(geometry)*50, 1, 172, 79])
2478 for g_i in range(len(geometry)):
2479     # cfd = pickle.load(open(path + "Test geometrias no
↪ vistas/dataY_1300_1001_1050.pkl", "rb"))
2480     cfd = pickle.load(open("E:/NuevasGeometrias/Y_geom" +
↪ str(geom_index[g_i]) + "_interpolated.pkl", "rb"))
2481     # filepaths = [f for f in listdir(str(path)) if
↪ f.endswith('.pkl')]
2482     # for file in filepaths:
2483     #     with open(path + file, 'rb') as f:
2484     #         input_data.append(pickle.load(f))
2485     input_data = []

```

```

2486     input_data.append(pickle.load(open(path +
↪     "input_data_geometry_" + geometry[g_i] +
↪     "_size_factor_1_rotation_angle_1_variable_vx.pkl",
↪     "rb")))
2487
2488     x = np.zeros([1,3,172,79])
2489     x[:, -1, :, :] = input_data[0][0][[:, 1, :, :].detach().numpy()
2490     x[:, 0, :, :] = input_data[0][1]
2491     x[:, 1, :, :] = input_data[0][2]
2492
2493     # with open(simulation_directory + "plots_" + velocity
↪     + "ms_" + variable + "_Final_v2" + str(n_test) +
↪     ".pkl", "wb") as file:
2494         # pickle.dump([out, error, y], file)
2495
2496     variable = 'vy'
2497     n_instantes = 50
2498     out2, duration = test_CNN(n_instantes, x, 0)
2499     # cfd = cfd[:, [1,2,0], :, :]
2500     cfd = torch.tensor(np.moveaxis(cfd, [2,3], [3,2]))
2501     cfd = cfd[:, 2:3, :, :]
2502     error = abs(cfd[:n_instantes, :, :, :] - out2)
2503     s = [0, 4, 9, 14, 19, 29, 39, 49]
2504     for a in s:
2505         # visualize2(out2.detach().numpy(), s, filepaths[0])
2506         visualize(cfd.detach().numpy(), out2.detach().numpy(),
↪         error.detach().numpy(), a, variable, 1, "5")
2507
2508     path2 = "E:/NuevasGeometrias/
↪     Resultados_NuevasGeometrias/test_nuevas_geometrias/"
2509     with open(path2 + "test_" + geometry[g_i] + '_' + variable
↪     + ".pkl", "wb") as file:
2510         pickle.dump([cfd.detach().numpy()[:n_instantes],
↪         out2.detach().numpy(),
2511         error.detach().numpy()], file)
2512
2513     cfd_all[g_i*50:(g_i+1)*50] = cfd[:50].detach().numpy()
2514     out_all[g_i*50:(g_i+1)*50] = out2.detach().numpy()
2515
2516     # cfd_all = np.array(cfd_all[:].detach().numpy())
2517     # out_all = np.array(out_all.detach().numpy())
2518

```

```

2519 # mean_error_vx =
    ↪ np.mean(error[:,0,:,:].cpu().detach().numpy())
2520 # mean_error_vy =
    ↪ np.mean(error[:,1,:,:].cpu().detach().numpy())
2521 # mean_error_p = np.mean(error[:,2,:,:].cpu().detach().numpy())
2522
2523 mean_value_cfd = np.mean(cfd_all[:,0,:,:])
2524 std_cfd = np.std(cfd_all[:,0,:,:])
2525
2526 mean_value_cnn = np.mean(out_all[:,0,:,:])
2527 std_cnn = np.std(out_all[:,0,:,:])
2528
2529 sample10 = [x+10 for x in sample1]
2530 sample15 = [x+15 for x in sample1]
2531 sample20 = [x+20 for x in sample1]
2532 sample30 = [x+30 for x in sample1]
2533 sample40 = [x+40 for x in sample1]
2534 sample50 = [x+50 for x in sample1]
2535 sample = [sample1, sample5, sample10, sample15, sample20,
    ↪ sample30,
2536             sample40, sample50]
2537 samples = [1, 5, 10, 15, 20, 30, 40, 50]
2538
2539 for s in range(len(sample)):
2540     cfd = cfd_all[sample[s]]
2541     out = out_all[sample[s]]
2542     gen_data_distribution(cfd, out, samples[s])

```

Test del modelo neuronal y análisis de los resultados de la CNN que predice el primer instante para las geometrías variables:

```

2543 import pickle
2544 import numpy as np
2545 import math
2546 import random
2547 from matplotlib import pyplot as plt
2548 import matplotlib.gridspec as gridspec
2549 import statistics as st
2550 from sklearn import preprocessing
2551 from os import listdir
2552 from tabulate import tabulate
2553 import json

```

```

2554 import pandas as pd
2555
2556
2557 def visualize(sample_y, out_y, error, s, variable, n_sample,
↪ velocity):
2558
2559     minu = np.min(sample_y[s, :, :])
2560     maxu = np.max(sample_y[s, :, :])
2561
2562     # minv = np.min(sample_y[s, 1, :, :])
2563     # maxv = np.max(sample_y[s, 1, :, :])
2564
2565     # minp = np.min(sample_y[s, 2, :, :])
2566     # maxp = np.max(sample_y[s, 2, :, :])
2567
2568     mineu = np.min(error[s, :, :])
2569     maxeu = np.max(error[s, :, :])
2570
2571     # minev = np.min(error[s, 1, :, :])
2572     # maxev = np.max(error[s, 1, :, :])
2573
2574     # minep = np.min(error[s, 2, :, :])
2575     # maxep = np.max(error[s, 2, :, :])
2576
2577     plt.figure()
2578     fig = plt.gcf()
2579     plt.suptitle("Input velocity: " + velocity + " ms. Sample nº: "
↪ + str(n_sample+s), fontsize=20)
2580     fig.set_size_inches(15, 10)
2581     plt.subplot(3, 3, 1)
2582     plt.title('CFD', fontsize=18)
2583     plt.imshow(np.transpose(sample_y[s, :, :]), cmap='jet', vmin =
↪ minu, vmax = maxu, origin='lower', extent=[0,172,0,79])
2584     plt.colorbar(orientation='horizontal')
2585     plt.ylabel(variable, fontsize=18)
2586     plt.subplot(3, 3, 2)
2587     plt.title('CNN', fontsize=18)
2588     plt.imshow(np.transpose(out_y[s, :, :]), cmap='jet', vmin =
↪ minu, vmax = maxu, origin='lower', extent=[0,172,0,79])
2589     plt.colorbar(orientation='horizontal')
2590     plt.subplot(3, 3, 3)
2591     plt.title('Error', fontsize=18)

```

```

2592 plt.imshow(np.transpose(error[s, :, :]), cmap='jet', vmin =
    ↪ mineu, vmax = maxeu, origin='lower', extent=[0,172,0,79])
2593 plt.colorbar(orientation='horizontal')
2594
2595 # plt.subplot(3, 3, 4)
2596 # plt.imshow(np.transpose(sample_y[s, 1, :, :]), cmap='jet',
    ↪ vmin = minv, vmax = maxv, origin='lower',
    ↪ extent=[0,172,0,79])
2597 # plt.colorbar(orientation='horizontal')
2598 # plt.ylabel('Uy', fontsize=18)
2599 # plt.subplot(3, 3, 5)
2600 # plt.imshow(np.transpose(out_y[s, 1, :, :]), cmap='jet', vmin
    ↪ = minv, vmax = maxv, origin='lower', extent=[0,172,0,79])
2601 # plt.colorbar(orientation='horizontal')
2602 # plt.subplot(3, 3, 6)
2603 # plt.imshow(np.transpose(error[s, 1, :, :]), cmap='jet', vmin
    ↪ = minev, vmax = maxev, origin='lower', extent=[0,172,0,79])
2604 # plt.colorbar(orientation='horizontal')
2605
2606
2607 # plt.subplot(3, 3, 7)
2608 # plt.imshow(np.transpose(sample_y[s, 2, :, :]), cmap='jet',
    ↪ vmin = minp, vmax = maxp, origin='lower',
    ↪ extent=[0,172,0,79])
2609 # plt.colorbar(orientation='horizontal')
2610 # plt.ylabel('p', fontsize=18)
2611 # plt.subplot(3, 3, 8)
2612 # plt.imshow(np.transpose(out_y[s, 2, :, :]), cmap='jet', vmin
    ↪ = minp, vmax = maxp, origin='lower', extent=[0,172,0,79])
2613 # plt.colorbar(orientation='horizontal')
2614 # plt.subplot(3, 3, 9)
2615 # plt.imshow(np.transpose(error[s, 2, :, :]), cmap='jet', vmin
    ↪ = minep, vmax = maxep, origin='lower', extent=[0,172,0,79])
2616 # plt.colorbar(orientation='horizontal')
2617 plt.tight_layout()
2618 plt.show()
2619
2620 def visualize3(sample_y, s):
2621
2622     minu = np.min(sample_y[s, 0, :, :])
2623     maxu = np.max(sample_y[s, 0, :, :])
2624

```

```

2625 minv = np.min(sample_y[s, 1, :, :])
2626 maxv = np.max(sample_y[s, 1, :, :])
2627
2628 minp = np.min(sample_y[s, 2, :, :])
2629 maxp = np.max(sample_y[s, 2, :, :])
2630
2631 plt.figure()
2632 fig = plt.gcf()
2633 fig.set_size_inches(15, 10)
2634 plt.suptitle("Time instant " + str(s+1), fontsize=20)
2635 plt.subplot(3, 1, 1)
2636 plt.title('CFD', fontsize=18)
2637 plt.imshow((sample_y[s, 0, :, :]), cmap='jet', vmin = minu,
    ↪ vmap = maxu, origin='lower', extent=[0,172,0,79])
2638 plt.colorbar(orientation='horizontal')
2639 plt.ylabel('Ux', fontsize=18)
2640
2641 plt.subplot(3, 1, 2)
2642 plt.imshow((sample_y[s, 1, :, :]), cmap='jet', vmin = minv,
    ↪ vmap = maxv, origin='lower', extent=[0,172,0,79])
2643 plt.colorbar(orientation='horizontal')
2644 plt.ylabel('Uy', fontsize=18)
2645
2646
2647 plt.subplot(3, 1, 3)
2648 plt.imshow((sample_y[s, 2, :, :]), cmap='jet', vmin = minp,
    ↪ vmap = maxp, origin='lower', extent=[0,172,0,79])
2649 plt.colorbar(orientation='horizontal')
2650 plt.ylabel('p', fontsize=18)
2651 plt.tight_layout()
2652 plt.show()
2653
2654 def visualize_rel_error(sample_y, out_y, error, s, input_velocity
    ↪ ):
2655
2656     # Visualize function with relative error added
2657
2658     minu = np.min(sample_y[s, 0, :, :])
2659     maxu = np.max(sample_y[s, 0, :, :])
2660
2661     minv = np.min(sample_y[s, 1, :, :])
2662     maxv = np.max(sample_y[s, 1, :, :])

```

```

2663
2664 minp = np.min(sample_y[s, 2, :, :])
2665 maxp = np.max(sample_y[s, 2, :, :])
2666
2667 mineu = np.min(error[s, 0, :, :])
2668 maxeu = np.max(error[s, 0, :, :])
2669
2670 minev = np.min(error[s, 1, :, :])
2671 maxev = np.max(error[s, 1, :, :])
2672
2673 minep = np.min(error[s, 2, :, :])
2674 maxep = np.max(error[s, 2, :, :])
2675
2676 plt.figure()
2677 fig = plt.gcf()
2678 fig.set_size_inches(15, 10)
2679 plt.suptitle("Time instant " + str(s+1), fontsize=20)
2680 plt.subplot(3, 4, 1)
2681 plt.title('CFD', fontsize=18)
2682 plt.imshow(np.transpose(sample_y[s, 0, :, :]), cmap='jet', vmin
↪ = minu, vmax = maxu, origin='lower', extent=[0,172,0,79])
2683 plt.colorbar(orientation='horizontal')
2684 plt.ylabel('Ux', fontsize=18)
2685 plt.subplot(3, 4, 2)
2686 plt.title('CNN', fontsize=18)
2687 plt.imshow(np.transpose(out_y[s, 0, :, :]), cmap='jet', vmin =
↪ minu, vmax = maxu, origin='lower', extent=[0,172,0,79])
2688 plt.colorbar(orientation='horizontal')
2689 plt.subplot(3, 4, 3)
2690 plt.title('Error', fontsize=18)
2691 plt.imshow(np.transpose(error[s, 0, :, :]), cmap='jet', vmin =
↪ mineu, vmax = maxeu, origin='lower', extent=[0,172,0,79])
2692 plt.colorbar(orientation='horizontal')
2693 plt.subplot(3, 4, 4)
2694
2695
2696 plt.subplot(3, 4, 5)
2697 plt.imshow(np.transpose(sample_y[s, 1, :, :]), cmap='jet', vmin
↪ = minv, vmax = maxv, origin='lower', extent=[0,172,0,79])
2698 plt.colorbar(orientation='horizontal')
2699 plt.ylabel('Uy', fontsize=18)
2700 plt.subplot(3, 4, 6)

```



```

2701 plt.imshow(np.transpose(out_y[s, 1, :, :]), cmap='jet', vmin =
    ↪ minv, vmax = maxv, origin='lower', extent=[0,172,0,79])
2702 plt.colorbar(orientation='horizontal')
2703 plt.subplot(3, 4, 7)
2704 plt.imshow(np.transpose(error[s, 1, :, :]), cmap='jet', vmin =
    ↪ minev, vmax = maxev, origin='lower', extent=[0,172,0,79])
2705 plt.colorbar(orientation='horizontal')
2706 plt.subplot(3, 4, 8)
2707
2708
2709 plt.subplot(3, 4, 9)
2710 plt.imshow(np.transpose(sample_y[s, 2, :, :]), cmap='jet', vmin
    ↪ = minp, vmax = maxp, origin='lower', extent=[0,172,0,79])
2711 plt.colorbar(orientation='horizontal')
2712 plt.ylabel('p', fontsize=18)
2713 plt.subplot(3, 4, 10)
2714 plt.imshow(np.transpose(out_y[s, 2, :, :]), cmap='jet', vmin =
    ↪ minp, vmax = maxp, origin='lower', extent=[0,172,0,79])
2715 plt.colorbar(orientation='horizontal')
2716 plt.subplot(3, 4, 11)
2717 plt.imshow(np.transpose(error[s, 2, :, :]), cmap='jet', vmin =
    ↪ minep, vmax = maxep, origin='lower', extent=[0,172,0,79])
2718 plt.colorbar(orientation='horizontal')
2719 plt.subplot(3, 4, 12)
2720 plt.tight_layout()
2721 plt.show()
2722
2723 def test_mean_error(plots):
2724     error = np.zeros([len(plots), 50]) # Habría que poner esto pero
    ↪ me da fallo --> len(plots[id_test][2]))
2725     max_error = error
2726     variance = error
2727     col = 0
2728     for key in plots:
2729         for row in range(50): #
2730             error[col, row] = np.mean(plots[key][2][row],
    ↪ dtype=np.float64)
2731             max_error[col, row] = np.max(plots[key][2][row])
2732             variance[col, row] = np.var(plots[key][2][row], ddof =
    ↪ 1)
2733             col = col + 1
2734     mean_error = np.mean(error, axis = 0, dtype=np.float64)

```

```

2735     max_error_all = np.max(max_error, axis = 0)
2736     variance_all = np.mean(variance, axis = 0)
2737     me_error = np.mean(mean_error)
2738     v_all = np.mean(variance_all)
2739     ma_error = np.max(max_error_all)
2740     return mean_error, max_error_all, variance_all, me_error, v_all,
        ↪     ma_error
2741
2742 def plot_feature(feature_type, upper_limit, legend, plot_title,
        ↪     y_label):
2743     for i in range(10):
2744         plt.plot(feature_type[i], '--o', markersize = 3)
2745
2746     plt.grid(axis='both')
2747     plt.ylabel(y_label)
2748     plt.ylim((0, upper_limit))
2749     plt.legend(legend)
2750     plt.title(plot_title)
2751     plt.show()
2752
2753 def get_sub(x):
2754     normal =
        ↪     "ABCDEFGHIJKLMNOPQRSTUVWXYZabcdefghijklmnopqrstuvwxyz0123456789+==()"
2755     sub_s = "CDGQwZw"
2756     res = x.maketrans(''.join(normal), ''.join(sub_s))
2757     return x.translate(res)
2758
2759 def gen_data_distribution(CFD, out):
2760     ## Distribucion de los datos:
2761     CFD_array = np.array(CFD)
2762     out_array = np.array(out)
2763
2764     fig, ax = plt.subplots()
2765     fig.set_size_inches(7, 4)
2766     plt.title('Histogram u{}'.format(get_sub('x')), fontsize = 20)
2767     fig.tight_layout()
2768     fig.subplots_adjust(top=0.95)
2769     n, bins, patches =
        ↪     plt.hist(CFD_array[:,0,:,:].reshape(10*79*172),
2770                 200, density=False, facecolor='r',
2771                 alpha=0.5)

```

```

2772 n, bins, patches =
    → plt.hist(out_array[:,0,:,:].reshape(10*79*172),
2773                200, density=False, facecolor='b',
2774                alpha=0.5)
2775 plt.xlabel('u{}'.format(get_sub('x')) + ' [m/s]', fontsize =
    → 18)
2776 plt.ylabel('Nº of points', fontsize = 18)
2777 plt.rc('xtick', labelsiz = 14)
2778 plt.rc('ytick', labelsiz = 14)
2779 plt.legend(['CFD', 'CNN'], fontsize = 18)
2780 ax.set_yscale('log')
2781 # ax.set_xscale('log')
2782 plt.grid(True)
2783 # fig.savefig('./ResultadosFinales/data_distribucion_vx_' +
    → vel_title + '.svg', bbox_inches='tight')
2784 plt.show()
2785
2786 fig, ax = plt.subplots()
2787 fig.set_size_inches(7, 4)
2788 plt.title('Histogram u{}'.format(get_sub('y')), fontsize = 20)
2789 fig.tight_layout()
2790 n, bins, patches =
    → plt.hist(CFD_array[:,1,:,:].reshape(10*79*172),
2791                200, density=False, facecolor='r',
2792                alpha=0.5)
2793 n, bins, patches =
    → plt.hist(out_array[:,1,:,:].reshape(10*79*172),
2794                200, density=False, facecolor='b',
2795                alpha=0.5)
2796 plt.xlabel('u{}'.format(get_sub('y')) + ' [m/s]', fontsize =
    → 18)
2797 # plt.legend(['CFD', 'CNN'])
2798 plt.rc('xtick', labelsiz = 14)
2799 plt.rc('ytick', labelsiz = 14)
2800 ax.set_yscale('log')
2801 plt.grid(True)
2802 # fig.savefig('./ResultadosFinales/data_distribucion_vy_' +
    → vel_title + '.svg', bbox_inches='tight')
2803 plt.show()
2804
2805
2806 fig, ax = plt.subplots()

```

```

2807 fig.set_size_inches(7, 4)
2808 plt.title('Histogram p', fontsize = 20)
2809 fig.tight_layout()
2810 n, bins, patches =
    ↪ plt.hist(CFD_array[:,2,:,:].reshape(10*79*172),
2811             200, density=False, facecolor='r',
2812             alpha=0.5)
2813 n, bins, patches =
    ↪ plt.hist(out_array[:,2,:,:].reshape(10*79*172),
2814             200, density=False, facecolor='b',
2815             alpha=0.5)
2816
2817 plt.xlabel('p [Pa]', fontsize = 18)
2818 plt.rc('xtick', labelsiz = 14)
2819 plt.rc('ytick', labelsiz = 14)
2820 # plt.legend(['CFD', 'CNN'])
2821 plt.grid(True)
2822 ax.set_yscale('log')
2823 # fig.savefig('./ResultadosFinales/data_distribucion_p_' +
    ↪ vel_title + '.svg', bbox_inches='tight')
2824 plt.show()
2825
2826 if __name__ == "__main__":
2827
2828     # mean_error_list = []
2829     # max_error_list = []
2830     # variance_list = []
2831     # me_error_list = []
2832     # var_list = []
2833     # ma_error_list = []
2834
2835     # plots = []
2836     training_info = []
2837     path = "E:/NuevasGeometrias/Resultados_NuevasGeometrias
    ↪ /Resultados_first_sample/"
2838
2839     filepaths = [f for f in listdir(str(path) + "Estadisticas/") if
    ↪ f.endswith('.json')]
2840     for file in filepaths:
2841         mean_error, max_error, variance, me_error, var_, ma_error =
    ↪ pickle.load(open(path + "Estadisticas/" + file, "rb"))
2842         # mean_error_list.append(mean_error)

```

```

2843     # max_error_list.append(max_error)
2844     # variance_list.append(variance)
2845     # me_error_list.append(me_error)
2846     # var_list.append(var_)
2847     # ma_error_list.append(ma_error)
2848     filepaths = [f for f in listdir(str(path)) if
↪ f.endswith('.json')]
2849     for file in filepaths:
2850         data = json.load(open(path + file, "rb"))
2851         training_info.append(data)
2852
2853     xlabel = []
2854     training_duration = []
2855     for i in range(len(training_info)):
2856         xlabel.insert(-1, 'Test nº' + str(i+3))
2857         training_duration.append(training_info[i][1]/3600)
2858     plt.plot(training_duration, '--bo', markersize = 3)
2859     plt.grid(axis='both')
2860     # plt.xlabel(xlabel)
2861     plt.ylabel('Time (min)')
2862     plt.title('Training duration of each model')
2863     plt.show()
2864
2865
2866
2867     table_data = []
2868     col_names = ["Id", "Train time (h)", "Num_epochs", "Lr",
↪ "Kernel_size", "Batch_size", "Architecture",
2869                 "MeErr_vx", "MeErr_vy", "MeErr_p", "MaxErr_vx",
↪ "MaxErr_vy", "MaxErr_p"]
2870     for i in range(len(mean_error)):
2871         table_data.append([filepaths[i][19:22],
2872                           training_info[i][1]/3600,
2873
↪ training_info[i][0]["net_param"]['num_epochs'],
2874
↪ training_info[i][0]["net_param"]['learning_ratio'],
2875
↪ training_info[i][0]["net_param"]['kernel_size'],
2876
↪ training_info[i][0]["net_param"]['batch_size'],

```

```

2877         ↪ training_info[i][0]["net_param"]["architecture"],
2878         mean_error[i][0], mean_error[i][1],
2879         ↪ mean_error[i][2],
2880         max_error[i][0], max_error[i][1],
2881         ↪ max_error[i][2]])
2882 table = pd.DataFrame(table_data, columns = col_names)
2883 # table = tabulate(table_data, headers = col_names)
2884 print(table)
2885
2886 table.to_csv(path + 'training_information.csv')
2887
2888 table_less_mean_error =
2889     ↪ table.sort_values(by=["MeErr_vx"])[[:10]
2890 table_less_max_error =
2891     ↪ table.sort_values(by=["MaxErr_vx"])[[:10]
2892 print(table_less_mean_error)
2893 print(table_less_max_error)
2894
2895 # plot_feature(mean_error_list, 70, legend, 'Mean error for
2896     ↪ each prediction',
2897 #             'Mean error (m/s)')
2898 # plot_feature(max_error_list, 40, legend, 'Maximum error for
2899     ↪ each prediction',
2900 #             'Max error (m/s)')
2901 # plot_feature(variance_list, 10, legend, 'Variance for each
2902     ↪ prediction',
2903 #             'Variance (m^2/s^2)')
2904
2905 ### Histograms
2906
2907 filepaths = [f for f in listdir(str(path)) if
2908     ↪ f.endswith('.pkl')]
2909 best_model_plots = pickle.load(open(path + filepaths[9], "rb"))
2910
2911 cfd = best_model_plots[2]
2912 out = best_model_plots[0]
2913
2914 gen_data_distribution(cfd, out)
2915
2916 import os
2917 import json

```

```

2909 import torch
2910 import pickle
2911 import time
2912 from train_functions import *
2913 import torch.optim as optim
2914 from torch.utils.data import TensorDataset
2915 from Models.UNetEx import UNetEx
2916 from Models.UNet import UNet
2917 import numpy as np
2918 from matplotlib import pyplot as plt
2919 from scipy.io import loadmat
2920 os.environ['KMP_DUPLICATE_LIB_OK']='True'
2921
2922
2923 def visualize(sample_y, out_y, error, s, variable, n_sample,
↪ velocity):
2924
2925     minu = np.min(sample_y[s, 0, :, :])
2926     maxu = np.max(sample_y[s, 0, :, :])
2927
2928     minv = np.min(sample_y[s, 1, :, :])
2929     maxv = np.max(sample_y[s, 1, :, :])
2930
2931     minp = np.min(sample_y[s, 2, :, :])
2932     maxp = np.max(sample_y[s, 2, :, :])
2933
2934     mineu = np.min(error[s, 0, :, :])
2935     maxeu = np.max(error[s, 0, :, :])
2936
2937     minev = np.min(error[s, 1, :, :])
2938     maxev = np.max(error[s, 1, :, :])
2939
2940     minep = np.min(error[s, 2, :, :])
2941     maxep = np.max(error[s, 2, :, :])
2942
2943     plt.figure()
2944     fig = plt.gcf()
2945     plt.suptitle("Input velocity: " + velocity + " ms. Sample n°: "
↪ + str(n_sample+s), fontsize=20)
2946     fig.set_size_inches(15, 10)
2947     plt.subplot(3, 3, 1)
2948     plt.title('CFD', fontsize=18)

```

```

2949 plt.imshow(np.transpose(sample_y[s, 0, :, :]), cmap='jet', vmin
    ↪ = minu, vmax = maxu, origin='lower', extent=[0,172,0,79])
2950 plt.colorbar(orientation='horizontal')
2951 plt.ylabel(variable, fontsize=18)
2952 plt.subplot(3, 3, 2)
2953 plt.title('CNN', fontsize=18)
2954 plt.imshow(np.transpose(out_y[s, 0, :, :]), cmap='jet', vmin =
    ↪ minu, vmax = maxu, origin='lower', extent=[0,172,0,79])
2955 plt.colorbar(orientation='horizontal')
2956 plt.subplot(3, 3, 3)
2957 plt.title('Error', fontsize=18)
2958 plt.imshow(np.transpose(error[s, 0, :, :]), cmap='jet', vmin =
    ↪ mineu, vmax = maxeu, origin='lower', extent=[0,172,0,79])
2959 plt.colorbar(orientation='horizontal')
2960
2961 plt.subplot(3, 3, 4)
2962 plt.imshow(np.transpose(sample_y[s, 1, :, :]), cmap='jet', vmin
    ↪ = minv, vmax = maxv, origin='lower', extent=[0,172,0,79])
2963 plt.colorbar(orientation='horizontal')
2964 plt.ylabel('Uy', fontsize=18)
2965 plt.subplot(3, 3, 5)
2966 plt.imshow(np.transpose(out_y[s, 1, :, :]), cmap='jet', vmin =
    ↪ minv, vmax = maxv, origin='lower', extent=[0,172,0,79])
2967 plt.colorbar(orientation='horizontal')
2968 plt.subplot(3, 3, 6)
2969 plt.imshow(np.transpose(error[s, 1, :, :]), cmap='jet', vmin =
    ↪ minev, vmax = maxev, origin='lower', extent=[0,172,0,79])
2970 plt.colorbar(orientation='horizontal')
2971
2972
2973 plt.subplot(3, 3, 7)
2974 plt.imshow(np.transpose(sample_y[s, 2, :, :]), cmap='jet', vmin
    ↪ = minp, vmax = maxp, origin='lower', extent=[0,172,0,79])
2975 plt.colorbar(orientation='horizontal')
2976 plt.ylabel('p', fontsize=18)
2977 plt.subplot(3, 3, 8)
2978 plt.imshow(np.transpose(out_y[s, 2, :, :]), cmap='jet', vmin =
    ↪ minp, vmax = maxp, origin='lower', extent=[0,172,0,79])
2979 plt.colorbar(orientation='horizontal')
2980 plt.subplot(3, 3, 9)
2981 plt.imshow(np.transpose(error[s, 2, :, :]), cmap='jet', vmin =
    ↪ minep, vmax = maxep, origin='lower', extent=[0,172,0,79])

```



```

2982 plt.colorbar(orientation='horizontal')
2983 plt.tight_layout()
2984 plt.show()
2985
2986
2987 def visualize2(sample_y, s, geometry, rotation_angle, size_factor,
↳ variable, path):
2988
2989 plt.figure()
2990 fig = plt.gcf()
2991 # fig.set_size_inches(15, 10)
2992
2993 minu = np.min(sample_y[s, variable, :, :])
2994 maxu = np.max(sample_y[s, variable, :, :])
2995
2996 plt.imshow(np.transpose(sample_y[s, variable, :, :]),
↳ cmap='jet',
2997             vmin = minu, vmax = maxu, origin='lower',
↳ extent=[0,172,0,79])
2998 plt.colorbar(orientation='horizontal')
2999 plt.ylabel('vx', fontsize = 14)
3000 plt.title("Test " + geometry + ", size factor: " +
↳ str(size_factor)
3001           + ", rot. angle: " + str(rotation_angle), fontsize =
↳ 14)
3002 plt.tight_layout()
3003 plt.savefig(path + "geometry_" + geometry + "_size_factor_" +
↳ str(size_factor) + "_rotation_angle_"
3004           + str(rotation_angle) + "_variable_vx" + ".png" ,
↳ bbox_inches = 'tight')
3005 plt.show()
3006
3007 def get_sub(x):
3008     normal =
↳ "ABCDEFGHIJKLMNOPQRSTUVWXYZabcdefghijklmnopqrstuvwxyz0123456789+==()"
3009     sub_s = "CDGQwZw"
3010     res = x.maketrans(''.join(normal), ''.join(sub_s))
3011     return x.translate(res)
3012
3013 def gen_data_distribution(CFD, out):
3014     ## Distribucion de los datos:
3015     CFD_array = np.array(CFD)

```

```

3016 out_array = np.array(out)
3017
3018 fig, ax = plt.subplots()
3019 fig.set_size_inches(7, 4)
3020 plt.title('Histogram u{}'.format(get_sub('x')), fontsize = 20)
3021 fig.tight_layout()
3022 fig.subplots_adjust(top=0.95)
3023 n, bins, patches = plt.hist(CFD_array[:,0,:,:].reshape(79*172),
3024                             200, density=False, facecolor='r',
3025                             alpha=0.5)
3026 n, bins, patches = plt.hist(out_array[:,0,:,:].reshape(79*172),
3027                             200, density=False, facecolor='b',
3028                             alpha=0.5)
3029 plt.xlabel('u{}'.format(get_sub('x')) + ' [m/s]', fontsize =
3030 ↪ 18)
3031 plt.ylabel('Nº of points', fontsize = 18)
3032 plt.rc('xtick', labelsiz = 14)
3033 plt.rc('ytick', labelsiz = 14)
3034 plt.legend(['CFD', 'CNN'], fontsize = 18)
3035 ax.set_yscale('log')
3036 # ax.set_xscale('log')
3037 plt.grid(True)
3038 # fig.savefig('./ResultadosFinales/data_distribucion_vx_' +
3039 ↪ vel_title + '.svg', bbox_inches='tight')
3040 plt.show()
3041
3042 fig, ax = plt.subplots()
3043 fig.set_size_inches(7, 4)
3044 plt.title('Histogram u{}'.format(get_sub('y')), fontsize = 20)
3045 fig.tight_layout()
3046 n, bins, patches = plt.hist(CFD_array[:,1,:,:].reshape(79*172),
3047                             200, density=False, facecolor='r',
3048                             alpha=0.5)
3049 n, bins, patches = plt.hist(out_array[:,1,:,:].reshape(79*172),
3050                             200, density=False, facecolor='b',
3051                             alpha=0.5)
3052 plt.xlabel('u{}'.format(get_sub('y')) + ' [m/s]', fontsize =
3053 ↪ 18)
3054 # plt.legend(['CFD', 'CNN'])
3055 plt.rc('xtick', labelsiz = 14)
3056 plt.rc('ytick', labelsiz = 14)
3057 ax.set_yscale('log')

```

```

3055 plt.grid(True)
3056 # fig.savefig('./ResultadosFinales/data_distribucion_vy_' +
    ↪ vel_title + '.svg', bbox_inches='tight')
3057 plt.show()
3058
3059
3060 fig, ax = plt.subplots()
3061 fig.set_size_inches(7, 4)
3062 plt.title('Histogram p', fontsize = 20)
3063 fig.tight_layout()
3064 n, bins, patches = plt.hist(CFD_array[:,2,:,:].reshape(79*172),
    ↪ 200, density=False, facecolor='r',
3065                               alpha=0.5)
3066 n, bins, patches = plt.hist(out_array[:,2,:,:].reshape(79*172),
    ↪ 200, density=False, facecolor='b',
3067                               alpha=0.5)
3068
3069
3070
3071 plt.xlabel('p [Pa]', fontsize = 18)
3072 plt.rc('xtick', labelsiz = 14)
3073 plt.rc('ytick', labelsiz = 14)
3074 # plt.legend(['CFD', 'CNN'])
3075 plt.grid(True)
3076 ax.set_yscale('log')
3077 # fig.savefig('./ResultadosFinales/data_distribucion_p_' +
    ↪ vel_title + '.svg', bbox_inches='tight')
3078 plt.show()
3079
3080 if __name__ == "__main__":
3081
3082     path1 = "E:/NuevasGeometrias/Resultados_NuevasGeometrias/
    ↪ Resultados_first_sample/Modelos/"
3083
3084     torch.manual_seed(0)
3085     lr = 0.001
3086     kernel_size = 3
3087     filters = [8, 16, 16, 32, 32]
3088     bn = False
3089     wn = False
3090     wd = 0.005
3091     beta1 = 0.5
3092     beta2 = 0.5
3093

```

```

3094 model_prueba = UNetEx(2, 3, filters=filters,
↪ kernel_size=kernel_size, batch_norm=bn, weight_norm=wn)
3095 model_prueba.load_state_dict(torch.load(path1 +
↪ "Modelo_geometries_109_data_augmentation.py",
↪ map_location=torch.device('cpu')))
3096 model_prueba.eval()
3097
3098 path2 = "C:/Users/alvar/Desktop/Master/Segundo/TFM/2ª
↪ parte/Datos para entrenamiento/"
3099
3100 geometry = ["circle", "ellipse", "square", "rectangle",
↪ "triangle", "triangle_eq"]
3101 # geometry = ["test_ellipse"]
3102 # geometry = ["test_square"]
3103 # size_factor = [0.2, 0.4, 0.6, 0.8, 1.2, 1.4, 1.6, 1.8]
3104 size_factor = [1]
3105 # rotation_angle = [-30, -25, -20, -15, -10, -5, 5, 10, 15, 20,
↪ 25, 30]
3106 rotation_angle = [1]
3107 position = [1, 1]
3108
3109 # sdf = loadmat("SDF_geometrias_data_augmentation/Test/" +
↪ geometry + "_1size_factor" + str(size_factor) +
↪ ".mat")['Z_matrix']
3110 # frc = loadmat("FRC_geometrias_data_augmentation/Test/" +
↪ geometry + "_1size_factor" + str(size_factor) +
↪ ".mat")['frc']
3111
3112 for geom in geometry:
3113     for size in size_factor:
3114         for rot in rotation_angle:
3115             sdf =
↪ loadmat("SDF_geometrias_data_augmentation/Test/"
↪ + geom + "_1size_factor" +
3116                 str(size) + "rot_angle" + str(rot) +
↪ "pos_x" + str(position[0]) +
3117                 "pos_y" + str(position[1]) +
↪ ".mat")['Z_matrix']
3118             frc =
↪ loadmat("FRC_geometrias_data_augmentation/Test/"
↪ + geom + "_1size_factor" +

```

```

3119         str(size) + "rot_angle" + str(rot) +
          ↪ "pos_x" + str(position[0]) +
3120         "pos_y" + str(position[1]) +
          ↪ ".mat")['frc']

3121
3122     # plt.figure()
3123     # plt.imshow(sdf.T)
3124     # plt.figure()
3125     # plt.imshow(frc.T)
3126
3127     x = np.zeros([1,2,172,79])
3128     x[0,0,:,:] = sdf
3129     x[0,1,:,:] = frc
3130
3131     ti = time.time()
3132     out = model_prueba(torch.FloatTensor(x))
3133     tout = time.time()
3134     duration = tout - ti
3135     # path3 =
          ↪ "E:/NuevasGeometrias/Resultados_NuevasGeometrias/
          ↪ Resultados_first_sample/test_first_sample/"
3136     # s = 0
3137     # visualize2(out.cpu().detach().numpy(), s, geom,
          ↪ rot, size, 0, path3)
3138
3139     # directory = path1 + "tests_first_sample/"
3140     # if not os.path.exists(directory):
3141     #     os.makedirs(directory)
3142
3143     path3 =
          ↪ "E:/NuevasGeometrias/Resultados_NuevasGeometrias/
          ↪ Resultados_first_sample/tests_first_sample/"
3144
3145     s = 0
3146     visualize2(out.cpu().detach().numpy(), s, geom, rot,
          ↪ size, 1, path3)
3147     variable = 'vy'
3148     with open(path3 + "input_data_geometry_" +
          ↪ str(geom)

```

```

3149         + "_size_factor_" + str(size) +
           ↪ "_rotation_angle_" + str(rot) +
           ↪ "_variable_" + variable + ".pkl",
           ↪ "wb") as f:
3150     pickle.dump([out, sdf, frc], f)
3151
3152
3153     cfd = pickle.load(open(path3 + "Test geometrias no
           ↪ vistas/dataY_367_1001.pkl", "rb"))
3154     cfd=cfd[:, [1,2,0], :, :]
3155     cfd = torch.tensor(np.moveaxis(cfd, [2,3], [3,2]))
3156     error = abs(cfd-out)
3157     visualize(cfd.cpu().detach().numpy(),
           ↪ out.cpu().detach().numpy(),
3158               error.cpu().detach().numpy(), s, "vx", 0,
           ↪ "5")
3159
3160     mean_error_vx =
           ↪ np.mean(error[:,0, :, :].cpu().detach().numpy())
3161     mean_error_vy =
           ↪ np.mean(error[:,1, :, :].cpu().detach().numpy())
3162     mean_error_p =
           ↪ np.mean(error[:,2, :, :].cpu().detach().numpy())
3163
3164     mean_value_cfd_vx =
           ↪ np.mean(cfd[:,0, :, :].cpu().detach().numpy())
3165     mean_value_cfd_vy =
           ↪ np.mean(cfd[:,1, :, :].cpu().detach().numpy())
3166     mean_value_cfd_p =
           ↪ np.mean(cfd[:,2, :, :].cpu().detach().numpy())
3167
3168     mean_value_cnn_vx =
           ↪ np.mean(out[:,0, :, :].cpu().detach().numpy())
3169     mean_value_cnn_vy =
           ↪ np.mean(out[:,1, :, :].cpu().detach().numpy())
3170     mean_value_cnn_p =
           ↪ np.mean(out[:,2, :, :].cpu().detach().numpy())
3171
3172     gen_data_distribution(cfd.detach().numpy(),
           ↪ out.detach().numpy())

```